

INSTITUTUL POLITEHNIC "TRAIAN VUIA" TIMIȘOARA
FACULTATEA DE ELECTROTEHNICA

Ing. Miron Laurențiu Goia

CERCETARI
TEORETICE SI EXPERIMENTALE
ASUPRA PRIZELOR DE PAMINT CU REFERIRE SPECIALA LA
PRIZELE DE PAMINT NATURALE

TEZĂ DE DOCTORAT

BIBLIOTECA CENTRALĂ
UNIVERSITATEA "POLITEHNICA"
TIMIȘOARA

CONDUCATOR STIINȚIFIC

Prof. dr. ing. CONSTANTIN SORA

- 1974 -

278.055
264 ff

C U P R I N S

1. INTRODUCERE
 - 1.1. Generalități.Scopul lucrării
 - 1.2. Terminologie. Definiții
 - 1.2.1. Instalații de legare la pămînt
 - 1.2.2. Tensiuni accidentale
 - 1.2.3. Rețele și instalații
2. PROBLEMELE GENERALE ALE CALCULULUI PRIZELOR
 - 2.1. Elemente de bază
 - 2.1.1. Considerații tehnico-economice
 - 2.1.2. Studiul cîmpului din sol
 - 2.1.3. Solutiile ecuației lui Laplace în solul cu stratificare
 - 2.2. Sondarea geoelectrică a solului.Parametrii stratului de sol
 - 2.2.1. Metoda geoelectrică (cei patru electrozi)
 - 2.2.2. Metoda electroodului auxiliar
 - 2.2.3. Verificări experimentale
 - 2.2.4. Erorile și limitele metodelor de sondaj
 - 2.3. Stabilitatea termică a prizelor de pămînt
 - 2.3.1. Procesul tranzitoriu (adiabatic)
 - 2.3.2. Regimul termic staționar
 - 2.4. Parametrii prizelor la frecvențe finale
 - 2.4.1. Procese fizice la trecerea curentului în sol
 - 2.4.2. Parametrii liniari ai electrozilor de priză
 - 2.4.3. Variația impedanței prizei în regim de impuls
3. PRIZELE DE PAMINT NATURALE IN RETELE
 - 3.1. Calculul prizelor naturale
 - 3.1.1. Date generale
 - 3.1.2. Prize singulare
 - 3.1.3. Prize complexe
 - 3.2. Coeficientii de impuls și curentii de protecție ai prizelor naturale
 - 3.2.1. Descărcarea electrică în sol
 - 3.2.2. Coeficientii de impuls și curentii de protecție ai LEA
 - 3.3. Utilizarea practică a prizelor de pămînt naturale la LEA peste 1 kV.
 - 3.3.1. Stilpii de înalță tensiune
 - 3.3.2. Stilpii de medie tensiune
 - 3.4. Utilizarea prizelor naturale în rețelele de joasă tensiune
 - 3.4.1. Generalități
 - 3.4.2. Tensiunea pe nul în caz de defect
 - 3.4.3. Probe pe model și "in situ"
 - 3.5. Utilizarea prizelor naturale în stații și posturi
 - 3.5.1. Generalități
 - 3.5.2. Analiza diferitelor cazuri practice
 - 3.5.3. Probe în sistem
4. STUDIUL PE MODEL AL PRIZELElor DE PAMINT
 - 4.1. Generalități. Baia electrolytică
 - 4.2. Rezultate experimentale
 - 4.3. Modelarea în sol neomogen
 - 4.4. Rezistențele de dispersie și distribuția potențialului la prizele naturale
5. METODE SI APARATE UTILIZATE LA MASURAREA INSTALAȚIILOR DE LEGARE LA PAMINT
 - 5.1. Măsurarea parametrilor prizeelor
 - 5.1.1. Generalități
 - 5.1.2. Practica măsurărilor
 - 5.1.3. Deficiențele metodelor actuale de măsurare
 - 5.2. Metode și aparat propriu pentru măsurarea prizeelor
 - 5.2.1. Metode de măsură
 - 5.2.2. Aparatul APR
 - 5.2.3. Rezultate experimentale
 - 5.3. Termometru cu termistor
6. CONCLUSII. CUMULANCI

CUVINT ÎNAINTE

Doreșc ca lucrarea de față să fie un modest omagiu adresat de subsemnatul dascălilor și profesorilor mei T.GROZESCU (L.B.Arad), P.ANDRONESCU, T.SĂLĂGEAN, E.POP (I.P.Timișoara) și în special prof. C.ȘORA ale cărui indicații mi-au fost de un deosebit ajutor.

Tin de asemenea, să aduc pe această cale mulțumiri colegilor de serviciu de la IRME care mi-au urmărit cu interes lucrările și au participat la realizarea practică a propunerilor mele cft și la experimentările făcute în Sistemul energetic național, uneori în condiții dificile.

Miron Laurențiu GOIA

1. INTRODUCERE

1.1. GENERALITĂȚI. SCOPUL LUCRĂRII

Dezvoltarea impetuoasă a consumului de energie electrică este legată de creșterea în ritm accelerat a instalațiilor electrice de producere, transport și distribuție a energiei. O parte importantă a acestora o constituie instalațiile de legare la pămînt.

Acestea pot avea rol de protecție împotriva accidentelor de natură electrică (prin atingere indirectă) dar pot fi utilizate și în scopuri tehnologice - constituind elemente ale circuitelor de lucru. În primul caz se vorbește despre instalații de legare la pămînt de protecție iar în al doilea caz de instalații de legare la pămînt de exploatare. De cele mai multe ori însă, instalațiile de legare la pămînt sunt folosite în comun, pentru ambele scopuri.

Creșterea masivă a puterilor instalate în centralele și stațiile electrice de transformare cît și sporirea gradului de interconexiune a acestora în cadrul sistemului energetic național, impun condiții mai severe de funcționare instalațiilor de legare la pămînt. În concret evoluțiile menționate conduc la majorarea secțiunilor transversale a electrozilor instalațiilor de legare la pămînt, a suprafeței de teren ocupate de acestea, a numărului de instalații necesare etc., într-un cuvânt la sporirea deosebită a consumului de material feros utilizat la construcția instalațiilor de legare la pămînt și deci la refugrarea fierului în pămînt din interiorul cărui s-a scos cu atâtă dificultate.

Aceste elemente au condus la intensificarea cercetărilor pe plan mondial în domeniile legate de trecerea curentilor prin sol, de efectele periculoase ale cărora asupra omului, de perfecționarea și dezvoltarea mijloacelor celor mai economice de protecție împotriva accidentelor.

În contextul acestei situații generale se încadrează și preocupările cunoștinții care, pe parcursul ultimilor ani în care a funcționat ca cercetător în cadrul IRME-MEE s-a preocupat de rezolvarea problemelor ridicate de dezvoltarea instalațiilor de legare la pămînt în sistemul energetic din R.S.R., cu referire specială la instalațiile de curent alternativ și frecvență industrială.

Partea esențială a instalațiilor de legare la pămînt o constituie, după cum se va vedea, prizele de pămînt. Acestea pot fi: prize artificiale în cazul cînd elementele lor componente sunt construite special pentru trecerea curentilor de lucru sau de defect în sol (sc interzice folosirea lor în alte scopuri) sau prize naturale cînd sunt elemente conductive în contact permanent cu pămîntul ale unor construcții sau instalații, destinate diferitelor scopuri, dar care pot fi folosite în același timp pentru trecerea curentilor de defect.

Diminuarea consumului de metal și cheltuielilor de construire a prizelor de pămînt, deziderat de mare actualitate pentru economia noastră națională, obiectiv principal al studiilor întreprinse a fost urmărit printre-o serie de metode și mijloace diverse dintre care se pot aminti:

- perfecționarea normativelor de protecție împotriva electrocutărilor și a altor accidente de natură electrică;
- perfecționarea metodelor de calcul, a aparatelor, metodelor și utilajelor de investigație a instalațiilor de legare la pămînt;
- utilizarea, extinderea și perfecționarea prizelor naturale din instalații de legare la pămînt.

În prezentă lucrare sunt prezentate unele din rezultatele mai importante obținute de autor în studierea prizelor de pămînt din stațiile și liniile sistemului energetic național.

S-au inițiat cercetări aprofundate privind comportarea solului la diferite solicitări de exploatare, pentru stabilirea condițiilor în care prizele de pămînt pot funcționa sigur și stabil în timp (stabilitatea termică a prizelor de pămînt) și a criteriilor generale de calcul și proiectare a prizelor.

Un alt scop al cercetărilor întreprinse a fost acela de a preciza condiții de utilizare a prizelor de pămînt naturale în rețelele de înaltă tensiune (IT) medie tensiune (MT) și joasă tensiune (JT), efectul economic al aplicării acestora în sistemul energetic precum și alte probleme conexe extinderii prizelor naturale în stații și posturi de transformare.

În cadrul studiilor întreprinse s-au utilizat calculul analitic (calculătoare cifrice) și măsurările pe modele similare (cuva electrolitică) iar verificarea rezultatelor obținute s-a realizat în cadrul unor probe complete în sistem (in situ).

Măsurările în sistem s-au executat pe baza unor metodologii în general proprii, confirmate de date din literatură, cu ajutorul unor aparațe și utilaje standard dar în special cu ajutorul unor instrumente și dispozitive construite în acest scop de autor.

Lucrarea nu abordează problemele efectului fiziolitic al curentului electric asupra omului, considerind acceptabile aprecierile și riscurile de electrocutare stabilite de Dalghei /1.1/ și admise în normativele de protecție împotriva electrocutărilor din țările industriale. De asemenea, nu este evidențiată contribuția autorului la elaborarea și revizuirea normativelor de protecție din țara noastră, STAS 7334-70; STAS 8275-68; STAS 6516-59; STAS 6119-53; STAS 2612-72, /1.2/ /1.3/ puse în general de acord cu cele mai raționale și moderne prescripții străine.

Nu sunt studiate în lucrare soluțiile de ameliorare a rezistenței prizelor prin diverse metode (sandich-geluri, bentonită), sau cea a oscilațiilor rezistențe ale rezistențității solului /1.4/. Nu sunt abordate de asemenea, nici problema calculului cimpului electrocinetic în zona instalațiilor de legare la pămînt de mai mare complexitate și nici problemele corozionișii prizelor, dacă în toate aceste domenii autorul are contribuții numeroase.

Zonderea principală în preocupările autorului au avut-o prizele naturale ale stratelor liniilor electrice aeriene. Dacă înainte, prin termenul de priză naturală se înțelegeau electrozii metalici cu alte funcții tehnologice, ca peccaț fi folosiți și contru legături la pămînt, astăzi, această noțiune a primit un conținut nou, constituit în special de capacitatea obiectului în contact cu solul de a prelua și funcția tehnologică de dispersie a curentului în sol. În principal prizele naturale se utilizează ca prize de protecție. În instalațiile electroenergetice se utilizează cel mai adesea dropt priză asturale, următoarele elemente metalice montate în sol:

- fundații armate și stâlpi refulici sau din beton armat;
- conductă metalică pentru transportul fluidelor;
- cablu de energie electrică cu mantă conductoare (cu sau fără armătură, metalică de protecție);
- ramele căilor ferate neelectrificate;
- cablurile de telecomunicații (t.c.), fir pilot, terminalizare, etc. neintroduse în tuburi de protecție.

În afara beneficiilor economice substanțiale ce le aduc în construcția instalațiilor de legare la pămînt, prin economisirea prizelor artificiale și a volumului de muncă necesar execuției acestora, prizele naturale mai oferă următoarele avantaje:

- durată de viață practic nelimitată și în orice caz egală cu cea a instalațiilor ce trebuie protejate;
- valori nici să rezistenței de dispersie;
- capacitate termică importantă la trecerea curentilor în sol
- rezistență sporită la corozione;
- rezistență mecanică deosebit de bună și siguranță ridicată în exploatare.

Față de prizele artificiale construite în instalații, cele naturale au o fiabilitate mult superioară și extinderea lor asigură dezideratul reducerii consumului de fier în energetică.

Înțrebuintarea practică a prizelor naturale în instalațiile de legare la pămînt este legată de verificarea condițiilor impuse în general în norme prizelor de pămînt, implicând în mod obligatoriu rezolvarea următoarelor probleme principale:

- calculul prizelor de pămînt naturale
- aplicarea lor în diferite retele și situații
- controlul și verificarea lor în exploatare.

Realizarea dezideratelor menționate a implicat, evident perfectionări ale metodelor de calcul cunoscute, utilizarea pe scară largă a calculatoarelor electrice cifrice și a celor analogice (modelarea) precum și numeroase cercetări experimentale.

În concluzie și în esență, scopul urmărit în prezenta lucrare este acela de a contribui la realizarea în sistemul nostru energetic a unor prize de pămînt sigure, stabile termic, de mare eficacitate și durată, realizabile în condiții economice și mai avantajoase și cu un consum de metal și mai redus.

1.2. TERMINOLOGIE. DEFINIȚII.

1.2.1. Instalații de legare la pămînt.

Legăturile la pămînt cu scopuri tehnologice (de exploatare) sau de protecție (pentru diminuarea tensiunilor accidentale) se realizează prin intermediu instalațiilor de legare la pămînt. Acestea sunt constituite de ansamblul de conductoare și electrozi prin care realizează legătura cu pămîntul /STAS 8275-68/. O instalație de legare la pămînt (fig.1.1.) se compune din /STAS 8275-68/:

3

- Priza de pămînt (1 fig.1.1.) este ansamblul de elemente conductive în contact cu pămîntul, caracterizat prin capacitatea de dispersie în sol. Ea se compune din unul sau mai multe electrozi în contact cu solul și din conductori de legătură dintre acestea.

- Conductorii principali de legare la jumătate "S" în fig.1.1. sunt conductorii la care se răsorbă conductorii de cumpărare și cel de legătură (6 în fig.1.1.) făcând legătura între cumpărătoare și apărătoare și cu solul la pămînt și priza de pămînt.

- Piezile de legătură demontabile - permit separarea prizei de instalată pentru măsurări.

Toate elementele menționate asigură la pămînt și zona de protecție și terenul exterior (răspândirea) potențialul nul.

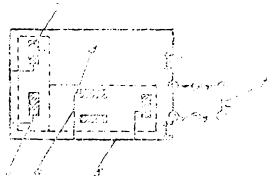


Fig.1.1. Instalație de legătură la pămînt:
1- Priză de pămînt din
electrozi verificăți (2) și
orientație; 2- Seilag sau
piesă ce se leagă la pămînt;
3- Conductor de măsură
țic; 4- Pieză de legătură
demontabilă; 5- Conductor
principal; 6- Conductor
legătură.

Zona de potențial nul ar trebui să fie extinsă în prima
zona de pămînt în care orice punct al acestui arce un potențial electric nul când prin priza respectivă trece un
corpuscular electric și în zonă, unde există un potențial
de disipare este electric nul și potențialul
potențialul interno de la pămînt este zero.
Dacă este astfel, atunci:

In același loc prin legătură:

Priză cu rezistență zero;

Scurt circuitata rezistență;

Solul să fie sărac în electrod;

Circul primelor amperi (adică 3-4)

nici nu crește până la 15-20 m;

Prin urmare, la distanță de

centrul prizei.

Rezistența unei instalații se calculează după formula:

$$R_p = R_{cr} + R_{ce} + R_e + R$$

unde:

R_{cr} este rezistența electrică a corpului

pol și a conductorilor săi;

R_{ce} este rezistența electrică a solului

(inclusiv piezele de legătură);

R_e este rezistența conductorului de măsură și a corpului polului său;

R_e este rezistența electrică a piezelor de legătură;

R este rezistența de dispersie a pămîntului.

Tinând cont de faptul că rezistivitatea medie a solului ($\rho_s = 100 \Omega \cdot m$) este de circa 10^3 ori mai mare ca rezistivitatea cotelui din care se cumpărează electrozi ($\rho_{ce} = 0,1 \Omega \cdot mm^2/m$) și că în cazul regimurilor normale de funcționare, la suprafața de contact electrod-sol nu există discontinuități ale potențialului, rezistența R_e este mult mai mică decât R_s . În acest caz $R_p = R_e$, și rezistența totală a unei instalații de legătură la pămînt este egală cu rezistența de dispersie a prizelor propriu-zise.

In general, rezistența unei prize de pămînt este un parametru variabil.

1.2.2. Tensiuni accidentale.

In cazul apariției unui defect între-o instalație de legătură la pămînt de protecție sau comună (de protecție și exploatare) și un obiect accidentale sau de defect în instalația respectivă (fig.1.2.),

Tensiunea instalației față de pămînt (tensiunea prizei). U_p (fig.1.2.) reprezintă diferența de potențial între utilajul cu defect și un punct din zona de potențial nul.

Tensiunea de atingere U_{AT} (fig.1.2.) este parte din tensiunea unei instalații de legătură la pămînt la care este supus omul aflat la o distanță s_{AT} , m de obiectul cu defect pe care îl atinge.

Coefficientul de atingere K_{AT} este numărul subunitar adimensional egal cu raportul între tensiunea de atingere U_{AT} și tensiunea prizei U_p .

$$K_{AT} = \frac{U_{AT}}{U_p}$$

Tensiunea de pas U_{PAS} este parte din tensiunea unei instalații de legătare la pămînt U_p , la care este supus ormul cind atinge două punze de pe sol (pardonoscală) aflate la o distanță $S_{BC} = S_B - S_C = 0,3$ m între ele. În apropierea punzelor (la măsurări se adoptă $S_A = S_B = 0,3$ m).

Coefficientul de pas K_{PAS} este numărul subunitar, adimensional, echivalent raportul între tensiunea de pas U_{PAS} și tensiunea prizelor U_p .

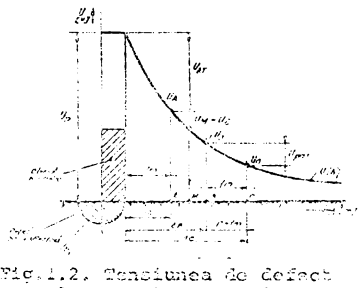


Fig.1.2. Tensiunea de defect
la punctele de pămînt.

$$K_{PAS} = \frac{U_{PAS}}{U_p}$$

Tensiunea raportată corespunzătoare unui punct S : definită de autor este raportul subunitar, adimensional, dintre tensiunea corespunzătoare unui punct de pe sol la distanța s de colțurărea în priză U_s sau U_p și tensiunea prizelor U_p .

$$K_p = \frac{U_s}{U_p}; K_X = \frac{U_X}{U_p}$$

In normativele românești actuale de protecție împotriva electrosuferărilor sunt prevăzute condițiile ce trebuie să le îndeplinească prizele de pămînt de protecție.

Tendință desprinsă clar din reglementările respective, la cărora elaborează a colaborat și autorul /STAS-urile 7334-70; 6116-68; 6118-68/ ca de altfel și din reglementările anumite din țările industriale avansate este procesul de la tradiționala normă a "existenței de disperție", la înțemarea unei criterii de obținere și de pas admis, înălțându-se stabilirea certitudinii și priză și condiții de defect. Această schimbare de opinie reflectă mai real caracterul obiectiv și pericolului de accidentare prin atingere indirectă în instalație.

Tensiunile de atingere și de pas admise în normele menționate sunt:

- Pentru stălpii fără apărăj ai linilor electrice seriene (LEA) din zone cu circulație frecventă (notiune ce se va definii în 1.2.3.):
 - la joasă tensiune (J.T) 65 V, defectul trebuie eliminat în maximum 3 sec.
 - la rețeaua izolată față de pămînt de medie tensiune (M.T) 125 V, cu condiția semnalizării simplei puneri la pămînt, a declanșării dublei puneri la pămînt și a utilizării izolatorilor nestrăpungibili.
 - la rețele cu neutrul legat la pămînt (MT sau înaltă tensiune IT) 250 V, (125 V în incinte industriale) cu condiția utilizării izolatorilor nestrăpungibili.
- La stălpii din zone cu circulație redusă (definită în 1.2.3.) $U_{AT} \leq U_{PAS}$ nu se normează. În aceste zone condițiile ce se impun prizele sunt cele tehnologice și în plus, cele legate de asigurarea unei căi calvarnice sicure și stabile în timp pentru curentul de defect.

Curenții și criterii de calcul pentru calculul prizeelor:

- la J.T - curențul de scurtcircuit monofazat; timpul sub 3 s.
- la MT încolțit față de pămînt - curențul de punere simplă la pămînt (la rețea compensată și AT); circuitul infinit. Pentru verificarea stabilității termice (adică a capacitații prizeelor să suportă regimul termic din cazul defectului) se mai ia în considerare și dubla punere în părțile deconectate de protecție de baza.
- la IT și MT cu neutrul legat la pămînt - curențul de scurtcircuit monofazat; timpul protecției de bază pentru tensiuni și coloanele de rezervă pentru stabilitatea termică.

Trebue deci reținut că în normativele PSR de protecție împotriva accidentelor prin atingere indirectă se acceptă, în concordanță cu modelele din normativele țărilor avansate, anumite riscuri de accidentare, evident reduse.

Să acceptă de asemenea, riscul deteriorării eventuale a prizeelor prin pierdere stabilității termice în cazul punerilor la pămînt subtile, ned-conectate de protecție (cazuri extrem de rare în rețelele din PSR).

1.2.3. Rețele și instalații./STAS 7334-70; 8273-68/

Rețeaua electrică este ansamblul de conductori legați conductiv între ei. Rețeaua legată la pămînt este cea care în regimul normal de funcționare are cel puțin un punct ce face parte din circuitele curentilor de lucru, legat direct sau printr-o rezistență neglijabilă la pămînt. Rețeaua izolată față de pămînt este aceea care în regim normal de funcționare, are toate punctele ce fac parte din circuitele curentilor de lucru, izolate față de pămînt. În această categorie intră și rețelele legate la pămînt prin una sau mai multe bobine de compensare.

Echipamentele din zona cu circulație redusă sunt instalările din zonele din incinte îngrădite, în care are acces personalului la uzervire special instruit, posturile de transformare și stălpii LEA aflate la o distanță mai mare 15 m de marginea drumurilor, șoselelor sau îngrădirilor locuințelor.

Echipamentele din zona cu circulație frecvență sănătoasă care nu se ușoară în incinte îngrădite și care se aflată la o distanță pînă la 15 m inclusiv de la marginea drumurilor, șoselelor sau îngrădirilor locuințelor și instalările nefrădite din incinte industriale sau agricole. Punerea la pămînt (la masă) este contactul accidental (direct sau prin arc) a unui aparat din circuitul de lucru cu pămîntul (masa) sau cu corpuși conductivi încontact cu pămîntul.

Legarea la pămînt este răcirea unui element conductiv la o instalare de legare la pămînt.

Restul instalărilor ce se vor utiliza vom fi definiti în scurt.

În afara considerațiilor de siguranță și menținere în instalări, prizele de pămînt trebuie să asigure și realizarea unor deziderate de ordin tehnologic, legate de funcționarea sigură a rețelelor. Se poate face în acest sens referire la cerințele de protecție împotriva a conturărării inverse a izolației la lovitură direcție de trăsnet: în supărișii liniilor seriene de 1,7. Dacă astăzi tensiunii de ținere la împulzi reduse a izolației de rețea tensiunea (max 125 kV max, la $I_{\text{g}} = 20 \text{ kV}$) acceptă condiții nu poate fi realizată de prizele de medie tensiune decât cu cheltuieli excesive, ceea ce face ca ea să nu fie obligatorie în aceste raporte.

Bibliografie CAP. I

- /1.1./ DALZIEL,C. Reevaluation of lethal electric currents.I.E.E.E.Trans.I.C.A.-7, nr.5, sept-oct 1968
- /1.2./ SUFRIM,N. Instrucțiuni pentru proiectarea și execuția instalațiilor de legare la pămînt. București. CDM. 1972 PE-121.
- /1.3./ GOIA,L. Instrucțiuni pentru exploatarea și întreținerea instalațiilor de legare la pămînt. IRME. SCR - 1978. CRE-I-23.
- /1.4./ GOIA,L. Îmbunătățirea rezistenței prizeelor de pămînt cu ajutorul bentonitelor. În: Producerea, transportul și distribuția energei electrice și termice. V.2, nr.4, tr.IV.1969, p.86-90.

~

2. PROBLEME GENERALE ALE CALCULULUI PRIZELOR DE PÂMINT

2.1. ELEMENTE DE BAZA

2.1.1. Consideratii tehnico-economice

Calculul prizelor de pâmînt se referă obînșuit la următoarele elemente și aspecte:

- determinarea rezistenței de dispersie a prizei la solicitările ei de exploatare (50 Hz și impuls de curenț)
- tensiunile de stingeri și de pas în zona prizei
- condițiile admise privind solicitările termice ale prizei de pâmînt.

In primele etape, în studiul curentilor din sol s-au adoptat cîteva ipoteze simplificatoare, dovedite ulterior în multe situații departe de realitate. Dintre simplificările acceptate se pot menționa cele referitoare la omogenitatea și izotropia solului, la independența caracteristicilor electrice și termice ale solului de curenț și timp, la constanța valorii efective a densității curențului electric într-un anumit punct din sol.

Simplificările menționate tin de domeniul unui anumit nivel și dezvoltării metodelor de investigație și de calcul, cîteva dintre care fiind încă din perioada lui Ollendorf și Koch.

Actualmente, în urma cercetărilor lui Burgdorf, Eber, Jacobs, Endresy, Lászlo, Brandolini, Battke, Pešec, Reabsova și Veronina, Arshelian, Thaper etc. /2.1/... /2.19/, se pot considera rezolvate - principal - problemele generale principale ale calculului prizeelor de pâmînt în sol omogen și neomogen, de structuri diferențiate și naturi diverse.

După opinia autorului, fondul chestiuni s-a transferat din domeniul tehnic în cel economic.

Afirmatia acestuia este motivată în cîte ce urmăred că ea este justificată și de propunerea recentă a lui Jacobs /2.20/ că a se utilizează calculul statistic în dimensiunea și proiecția optima de legătură în pâmînt în sol neomogen.

In principiu, în etapa acuală problemele calculului prizeelor de pâmînt se pot rezolva dacă se cunoște aprioric următoarele elemente:

- structura solului
- precizia dorită (tehnică) de calcul
- parametrii geometrii și electrii ai diverselor structuri din sol

Există posibilități de simplificare acceptabile și verificate ale fenomenelor. În concordanță cu experiența practică, chiar problemele relativ complexe se pot rezolva pe calculator.

Timpul de lucru al calculatorului este influențat în special de precizia impusă calculului și de structura solului în locul considerat. În această situație, ridicarea preciziei calculului în special în cazul structurilor complicate de sol, este legată de cheituieli considerabile de timp și fonduri materiale consumate pe calculator.

Rezolvarea optimă a problemelor nu se poate face eludând acest aspect. În general execuția practică a prizeelor de pâmînt obînșuită nu consumă fonduri materiale deosebită și prețul a 10 minute de rulaj la calculator de capacitate medie (circa 500) leia este de același ordin de mărime cu costul de realizare a unei prize de pâmînt a unui stilp de față tensiune în zonă locuită, în sol cu proprietăți medii (rezistivitate medie 100Ωm). Evident că economia ce s-ar putea obține la un calcul exact devin comparabile cu costul efectiv al calculului (1-2 minute).

Calculul prizeelor de pâmînt trebuie considerat, după opinia autorului că problema de analiză operațională (domeniul cu o dezvoltare deosebită dinamică în ultimul timp), aleginău-se din multitudinea de soluții aceea la care costul total al proiectării și execuției este minim.

In această situație, eficiența practică a perfectionării calculului prizeelor nu este în toate cazurile semnificativă și evident importanța unui calcul foarte exact scade.

Un argument suplimentar în favoarea acestei afirmații provine din considerarea dificultăților obiective a măsurărilor practice în condiții de teren a prizeelor de pâmînt. Erorile relative de măsurare depind de cîteva factori aleatori, rezistivitatea solului variază în timp și chiar măsurările efectuate cu deosebită grijă, dau erori destul de importante ce depășesc clasele de precizie a aparatelor de măsură. În acest context, utilitatea morării perfectionării în domeniul calculului prizeelor nu trebuie desprinsă din contextul economicitatea generală.

Din acest punct de vedere, în toate cazurile, în lucrarea de față precizia calculului s-a extins numai atât cît s-a justificat prin natura problemelor puse.

7 2.1.2. Studiul cîmpului din sol

Studiul cîmpului din sol se poate uîsura mult dacă se utilizează analogia simplă ce există între cîmpul electrostatic și electrocinetic.

Mărurile analoge din cele două cîmpuri sunt după cum se știe:

$$V \rightleftharpoons v; \quad \bar{D} \rightleftharpoons \bar{J}; \quad Q \rightleftharpoons i; \quad E \rightleftharpoons \sigma; \quad C \rightleftharpoons \frac{1}{R} \quad (C \rightleftharpoons G)$$

Cîmpul electric al curentilor din solul omogen este un cîmp laplacian.

Intr-un punct din sol, forma locală a legii conservării sarcinii electrice este (cu notațiile cunoscute)

$$\operatorname{div} \bar{J} + \frac{\partial \bar{Q}_v}{\partial t} = 0 \quad (2.1)$$

Care se poate scrie și sub forma $\operatorname{div} \left\{ j + \frac{\partial \bar{D}}{\partial t} \right\} = 0$. În regim staționar sau cvasistaționar ($\frac{\partial \bar{D}}{\partial t} = 0$) se obține

$$\operatorname{div} j = \nabla \cdot (\bar{\sigma} \bar{E}) = \bar{\sigma} \nabla \cdot \bar{E} + \bar{E} \nabla \cdot \bar{\sigma} = 0 \quad (2.2)$$

Dacă mediul este omogen ($\nabla \bar{\sigma} = 0$) și ținind seama de faptul că $E = -\nabla V$ (cîmp potențial) rezultă $\operatorname{div} \bar{j} = -\bar{\sigma} \nabla^2 V = 0$, respectiv

$$\nabla^2 V = \frac{\partial^2 V}{\partial x^2} + \frac{\partial^2 V}{\partial y^2} + \frac{\partial^2 V}{\partial z^2} = 0 \quad (2.2.a)$$

reprezentînd ecuația lui Laplace în coordonate carteziene.

În coordonate cilindricice (r, φ, z, σ) se obține (2.2.b)

$$\nabla^2 V = \frac{\partial^2 V}{\partial r^2} + \frac{1}{r} \frac{\partial V}{\partial r} + \frac{1}{r^2} \frac{\partial^2 V}{\partial \varphi^2} + \frac{\partial^2 V}{\partial z^2} = 0 \quad (2.2.b)$$

Rezolvarea ecuației lui Laplace în cazurile practice necesită precizarea condițiilor de limită la suprafețele de separație între mediile diferite din domeniu și a condițiilor pe frontieră domeniului considerat. În mod general acestea sunt:

- la infinit j și V sunt nule; pe suprafața electrozilor metalici de priză $V = ct$
- potențialele pe fețele suprafeței de separație între mediile 1 și 2 sunt egale $V_1 = V_2$;
- componentele tangențiale ale cîmpului electric E sunt aceleasi în ambele medii;
- componenta normală a densității curentului de conductie se conservă: .

$$j_{n_1} = j_{n_2}, \text{ respectiv } G_1 \frac{\partial V_1}{\partial n_1} = G_2 \frac{\partial V_2}{\partial n_2} \text{ sau } \frac{1}{G_1} \frac{\partial V}{\partial n_1} = \frac{1}{G_2} \frac{\partial V}{\partial n_2}$$

Ecuația Laplace se poate rezolva pentru cîteva cazuri și configurații practice de instalării de legare la pămînt din mediul omogen și izotrop, semispătiul omogen, limitat de suprafața solului și de asemenea și pentru:

- mediu și semispătu formate din straturi omogene orizontale și verticale
- mediu general anizotrop, semispătu anizotrop
- semispătu conductor compus din medii cu frontiere inclinate.

2.1.3. Solutiile ecuației lui Laplace în cazul solului cu stratificări.

În cazul straturilor orizontale, departajate prin suprafețe plane în cazul unei surse punctiforme (fig. 2.1) ecuația lui Laplace devine (2.2.c) după Burgsdorf /2.1/, ținînd cont de simetria azimutală ($\frac{\partial V}{\partial \varphi} = 0$) în cazul cîmpului plan meridian ce apare:

$$\frac{\partial^2 V}{\partial r^2} + \frac{1}{r} \frac{\partial V}{\partial r} + \frac{\partial^2 V}{\partial z^2} = 0 \quad (2.2.c)$$

Soluția ecuației (2.2.c) este de forma:

$$A J_0(\lambda, r) \left\{ \alpha \cdot e^{\lambda z} + e^{-\lambda z} \right\}$$

Bunătate:

λ, α, β sunt constante independente de coordonate, ce se determină din condițiile la limită menționate anterior
 $J_0(\lambda, z)$ - funcția Bessel de ordinul I-^a

O soluție particulară a ecuației (2.2.c) are forma $\frac{\lambda}{r}$, corespunzătoare solului omogen. În acest caz, soluția generală a lui (2.2.c.) este

$$V = \lambda \left(\int J_0(\lambda, r) [A Z + B e^{-\lambda r} + C e^{\lambda r}] \right) \quad (2.3)$$

Ecuația (2.3) va fi valabilă pentru toate straturile de sol, specificând α și β anumite valori particolare pentru fiecare strat din sol, în sfârșit de cel cu surse. Pentru cazul a două straturi cu rezistențe ρ_1 și ρ_2 , notăm:

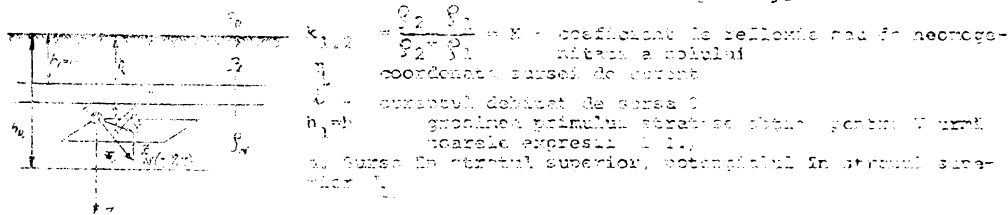


Fig. 2.1. Cifrourile în sol:
 1) stratificat
 2) strat
 3) surse punctiforme
 4) dimensiuni neglijabile față de spății
 5) strat uniform

$$V = \frac{Q_1}{4\pi} \left[\frac{1}{r^2 + (z-z_1)^2} + \frac{1}{r^2 + (z-h_1-z_1)^2} + \sum_{n=0}^{\infty} \left\{ \frac{k^n}{r^2 + (2nh_1+z)^2} + \frac{k^n}{r^2 + (z-(2nh_1+z))^2} \right\} \right] + \frac{Q_2}{4\pi} \left[\frac{1}{r^2 + (z-z_2)^2} + \frac{1}{r^2 + (z-h_2-z_2)^2} + \sum_{n=0}^{\infty} \left\{ \frac{k^n}{r^2 + (2nh_2+z)^2} + \frac{k^n}{r^2 + (z-(2nh_2+z))^2} \right\} \right] \quad (2.3.a)$$

b. Surse în stratul inferior potențialul în stratul superior.

$$V_{12} = \frac{i Q_1}{4\pi} \frac{1}{(1+k)} \sum_{n=0}^{\infty} \left\{ \frac{k^n}{r^2 + (z-2nh_1+z_1)^2} + \frac{k^n}{r^2 + (z-(2nh_1+z_1))^2} \right\} \quad (2.3.b)$$

c. Surse în stratul superior, potențialul în stratul inferior.

$$V_{21} = \frac{i Q_1}{4\pi} \frac{1}{(1+k)} \sum_{n=0}^{\infty} \left\{ \frac{k^n}{r^2 + (z-2nh_2+z_2)^2} + \frac{k^n}{r^2 + (z-(2nh_2+z_2))^2} \right\} \quad (2.3.c)$$

d. Surse în stratul inferior, potențialul în stratul inferior

$$V_{22} = \frac{i Q_1}{4\pi} \left[\frac{1+k}{1-k} \right] \frac{1}{(1+k)} \sum_{n=0}^{\infty} \left\{ \frac{k^n}{r^2 + (2^n)^2} + \frac{k^n}{r^2 + (2^n)^2} + \frac{k^n}{r^2 + (2^n)^2} + \frac{k^n}{r^2 + (2^n)^2} \right\} \quad (2.3.d)$$

În ajutorul relațiilor (2.3) se pot determina tensiunile de acingeare și de presă în zona instalațiilor de legătură la pămînt și rezistența de dispersie a acestora.

O rezolvare mai simplă și intuitivă a problemei, în cazul a două redi infinite cu suprafață de separație plană este dată de reacția imanșabile, sau a reflexiilor multiple (Thompson).

Conform acesteia, ecuația lui Laplace (2.2.a) se rezolvă în acest caz considerind V compus din două componente și anume:

In stratul 1, cu sursă (A) (fig.2.2.) cimpul este dat de sursa I și imaginea sa față de suprafață de separație I', situate într-un mediu cu aceeași rezistivitate ρ_1 (I' este simetria lui I față de planul de separație între straturi)

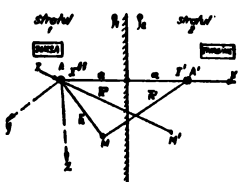


Fig.2.2. Metoda imaginilor electrice

In stratul 2, fără sursă, cimpul este dat de sursa fictivă I'' situată tot în A, dar debitând în mediul cu rezistivitate constantă ρ_2 .

$$V_1 = \frac{I \rho_1}{4\pi r} + \frac{I' \rho_1}{4\pi r'}$$

$$V_2 = \frac{I'' \rho_2}{4\pi r''}$$

Curenții I' și I'' trebuie determinați încit ei să înlocuiască influența suprafeței de separație între cele două medii. De asemenea, V trebuie să verifice condițiile pe frontieră cunoscute și anume continuitatea potențialului - lui și constanța componentei normale a densității curentului.

Curenții surselor fictive devin în acest caz:

$$I' = K_{12} I \quad I'' = (1-K_{12}) I$$

După efectuarea calculelor se obține pentru V

$$\text{In stratul ce conține sursa } V_1 = \frac{I \rho_1}{4\pi r} \left(\frac{1}{r} + \frac{K_{12}}{r'} \right) \quad (2.4)$$

$$\text{In stratul fără sursă } V_2 = \frac{I \rho_2}{4\pi r''} \cdot \frac{1-K_{12}}{r''} \quad (2.4.a)$$

In acest mod, problema calculului cimpului într-un mediu infinit cu stratificare plană se reduce la rezolvarea unor relații corespunzătoare unui sol omogen (două soluri unul cu rezistivitatea ρ_1 și altul cu ρ_2).

Pe baza acestor relații se poate determina valoarea cimpului pentru diferite cazuri practice. Pentru cazurile $\rho_1 = \rho_2$ și $\rho_1 = 5\rho_2$ sunt prezentate calitativ în fig.2.3. liniile de cimp și liniile echipotențiale.

Pe baza relațiilor clasice (2.4) și (2.4.a), /2.33/ autorul a dedus expresiile pentru $V_{11}, V_{12}, V_{21}, V_{22}$, analoage cu relațiile date de Burgsdorf /2.3/. Pentru exemplificare, se dă în cele ce urmează calculul potențialului V_{11} produs în stratul 1 de sursă situată în acest strat.

Notățile utilizate se pot urmări în fig.2.4 a și b.

Pentru început, sursa A se reflectă în suprafața de separație sol-aer. Frontiera sol-aer se echivalează cu apariția sursei fictive I'_0 situată în punctul A_0 și a sursei I din punctul A (liniile intrerupte notate cu 1).

$$\text{Tinind cont că } K_{10} = \frac{\rho_0 - \rho_1}{\rho_0 + \rho_1} = 1 \quad I'_0 = I$$

Reflectând acum sursa A în frontieră dintre straturile 1 și 2 se obține sursa fictivă I'_1 în punctul A_1 . Deoarece $K_{12} = \frac{\rho_2 - \rho_1}{\rho_2 + \rho_1}$, $I'_1 = K_{12} I$

In acest caz în prima etapă V_{11} este

$$V_{11}^1 = \frac{I \rho_1}{4\pi} \frac{1}{MA} + \frac{I'_0 \rho_1}{MA_0} + \frac{I'_1 \rho_1}{MA_1} = \frac{I \rho_1}{4\pi} \left\{ \frac{1}{r^2 + (\eta-z)^2} + \frac{1}{r^2 + (\eta+z)^2} + \frac{K_{12}}{\sqrt{r^2 + (2h-\eta-z)^2}} \right\}$$

Trecind la etapa următoare, trebuie considerată influența suprafeței strat 1 - strat 2 (suprafață II) asupra sursei I'_0 din A_0 și a suprafeței sol-aer (I) asupra sursei I'_1 din A_1 (liniile intrerupte 2) și așa mai departe.

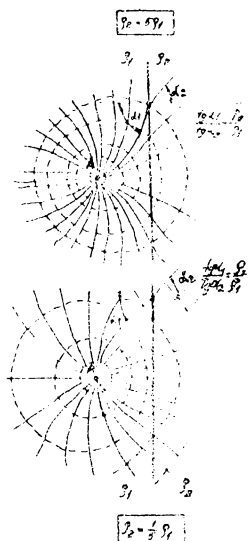


Fig. 2.3. Cimpul în sol nehomogen

Continuând calculele din aproape în aproape și grupând termenii în mod convenabil, metoda imaginilor successive dă următoarea expresie pentru V_{11} :

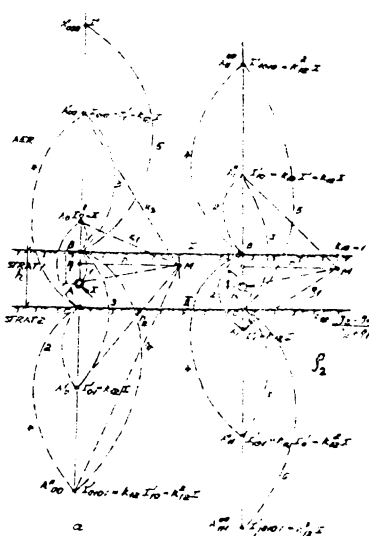


Fig. 2.4 Metoda reflexiilor multiple

a) Reflexii în suprafața sol-aer
b) Reflexii în suprafața stratului 1-strat 2.

$$V_{11} = \lim_{N \rightarrow \infty} V_{11}^N = \frac{I_0}{4\pi} \left[\frac{1}{\sqrt{r^2 + (z - \eta_1)^2}} + \frac{1}{\sqrt{r^2 + (z + \eta_1)^2}} + \sum_{n=1}^{\infty} \left(\frac{k_{12}^n}{\sqrt{r^2 + (z - 2nh - \eta_1)^2}} + \frac{k_{12}^n}{\sqrt{r^2 + (z - 2nh + \eta_1)^2}} + \frac{k_{12}^n}{\sqrt{r^2 + (z + 2nh - \eta_1)^2}} + \frac{k_{12}^n}{\sqrt{r^2 + (z + 2nh + \eta_1)^2}} \right) \right] \quad (2.5)$$

Relațiile (2.3.a) și (2.5) sunt după cum se vede identice

Termenii scriși înainte de sub semnul $\sum_{n=1}^{\infty}$ nu sunt în general rapid descrescători. Din acest motiv determinarea valorilor V_{11}, V_{22}, V_{12} se poate face numai cu ajutorul calculatoarei electronice și rezultatele trebuie să fie mai întunecate decât cea bazată pe introducerea funcțiilor Bessel.

2.2. SONDAREA GEOELECTRICĂ A SOLULUI. PARAMETRII STRATURILOR DE SOL

Calculul prizelor de pămînt implica evident cunoașterea parametrilor geometrii și electrici ai straturilor de sol în care sunt plantăti electrozi metalici (h, f_1, f_2).

Determinarea lor se poate face prin sondare geoelectrică /2.21/, /2.26/, /2.33/ după metoda celor patru puncte sau prin aceea a electroodului auxiliar sau de control /2.24/, /2.25/, /2.27/, /2.29/.

Conform experienței autorului, pînă la adîncimea de 4...5 m în care se construiesc în mod curent instalațiile de legătură la pămînt, apar cel mai adesea două straturi orizontale (vezi 2.2.3). În această situație pare interesantă aplica-

"rea sondajului pentru astfel de configurație a solului.

2.2.1. Metoda geoelectrică (cei patru electrozi)

Dacă sursa A₁ emisferică și punctul M(x,z) sunt la suprafața solului, din (2.5) se obține (z=0 · η =0) /2.25/

$$V_{11} = V_M = \frac{\rho_i}{2\pi} \left\{ \frac{1}{x} + 2 \sum_{n=1}^{\infty} K_{12}^n \frac{1}{\sqrt{x^2 + (2nh)^2}} \right\} \quad (2.5.a.)$$

unde $r=AM$ - este distanța dintre punctele A și M pe suprafața solului (fig.2.5)

Pentru cazul solului omogen cu rezistivitatea ρ_H

$$V_M = \frac{\rho_H I}{2\pi r} \quad (2.5.b.)$$

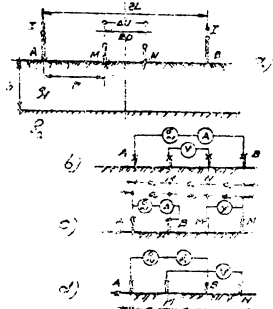


Fig.2.5. Metoda celor patru electrozi

Așezând electrozii AMNB în linie și trecind curentul I prin electrozii A,B, între M și N se va culege o diferență de potențial MN. După principiul suprapunerii efectelor:

$$V_M = V_M^A + V_M^B; \quad V_N = V_N^A + V_N^B$$

$$U_{MN} = V_M - V_N = \frac{\rho I}{2\pi} \left[\frac{1}{AM} - \frac{1}{AN} + \frac{1}{BN} - \frac{1}{BM} \right] \quad (2.6.)$$

Notând paranteza dreaptă din (2.6) cu $\frac{2K}{X}$ se obține

$$\rho_H = K \frac{U_{MN}}{I} \quad (2.7)$$

K este o constantă de configurație a electrozilor având valoarea

- Pentru amplasarea după Schlumberger (S): AB=2L; MN=2D (fig.2.5.a.)

$$K = \frac{\pi}{2D} (L^2 - D^2) \quad (2.7.a.)$$

- Pentru amplasarea după Wenner (W): (AM=MN=NB=a) (fig.2.5.b.)

$$K = 2\pi a \quad (2.7.b.)$$

- Pentru amplasarea după fig.2.5.c.

$$K = 6\pi a \quad (2.7.c.)$$

- Pentru amplasarea după fig.2.5.d.

$$K = 3\pi a \quad (2.7.d.)$$

Cu relația (2.7) se determină o rezistivitate medie a solului omogen sau neomogen. În cazul unei structuri omogene a solului, valoarea lui se obține din (2.7.a....d) pentru a variabilă sătăcire să fie egale între ele. În cazul cînd acest lucru nu se verifică, la locul măsurărilă, solul nu e omogen. În această situație, cu metoda celor patru electrozi se va determina o rezistivitate medie ρ_m care este funcție de ρ_1 și ρ_2 după cum indică (2.8) și (2.9) /2.26/. Raportul $\frac{\rho_m}{\rho_1}$ se determină prin metoda voltamperometrică sau mai simplu cu ajutorul oricărui aparat de măsurat prize de pămînt MS-07, MS-08, NORMA, APP-IRME, ATAP-IRME (Modul cum se poate determina rezistivitatea solului cu ajutorul aparatului ATAP construit de autor este prezentat în cap.8.2). Valoarea raportului $\frac{\rho_m}{\rho_1}$ este dată de relația (2.8) și (2.9)

$$\frac{\rho_m}{\rho_1} = 1 + \frac{L^2 - D^2}{L \cdot D} \sum_{n=1}^{\infty} K_{12}^n \left\{ \frac{1}{\sqrt{(1 - \frac{D}{L})^2 + (\frac{2nh}{L})^2}} - \frac{1}{\sqrt{(1 + \frac{D}{L})^2 + (\frac{2nh}{L})^2}} \right\} \quad (2.8)$$

(amplasarea electrozilor după Schlumberger S):

$$\frac{\rho_m}{\rho_1} = 1 + 4 \sum_{n=1}^{\infty} K_{12}^n \left\{ \frac{1}{\sqrt{1 + (\frac{3nh}{L})^2}} - \frac{1}{\sqrt{4 + (\frac{3nh}{L})^2}} \right\} \quad (2.9)$$

12

(La amplasarea electrozilor după Sonner W. În realitate metoda W este un caz particular al metodei S cînd $B = \frac{L}{2}$)

Din raportele $\lambda_1 = \frac{L}{h}$, $\mu = \frac{B}{h}$ diferențe valori se pot obține curbele **etalon** (model) ce servesc la sondarea solului în cazul metodelor W sau S. Valoările pentru rapoartele $\frac{\rho_m}{\rho_1}$ obținute prin calculul calculatorul IRIS-50 și ISPE-București pentru relația (2.3) sîn prezentate în tabelul 2.1.

In fig. 2.6 și 2.7 sîn prezentate curbele model $\frac{\rho_m}{\rho_1} = f(\frac{L}{h}, \frac{B}{h})$ pentru metoda W și S. Se observă că cele două metode prezintă curbe sensibil diferențe în special în domeniul valorilor $u < 1$.

Din acest motiv se impune ca la aplicarea practică a metodelor radioelectrice să se utilizeze curbele precalculate corespunzătoare metodelor de măsură utilizate (W sau S).

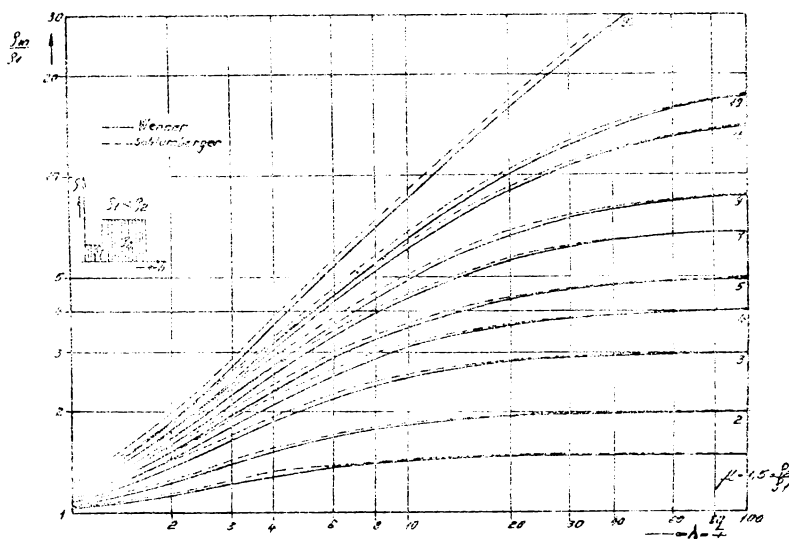


Fig.2.6. Curbele model pentru două straturi $\rho_2 > \rho_1$

Se menționează că în literatură /2.20...2.24/ se utilizează curbe precalculat conform unei relații simplificate (2.8.a) care se deduce din (2.5.a) și (2.5.b.) cînd $r = L$.

$$\frac{\rho_m}{\rho_1} = 1 + 2 \sum_{n=1}^{\infty} K_{12}^n \frac{i}{\sqrt{1 + \left(\frac{2nh}{i}\right)^2}} \quad (2.8.a.)$$

Acstea corespund destul de bine cu curbele calculate după (2.8) dacă $\frac{D}{L} < 0,33$ (erori neglijabile practic mai ales pentru $\frac{L}{h} > 1$). Diferențele între valoările $\frac{\rho_m}{\rho_1}$ după (2.8), (2.9) calculate la calculatorul IRIS-50 și după (2.8.a) calculate la calculatorul Elliott 4120 DSB /2.24/ se pot urmări în tabelul 2.1.

Din curbele etalon precalculat și diagrama $\rho_m(L)$ pentru L variabil obținută măsurind pe $\rho_m(\rho_1)$ conform relației (2.7) se pot determina cu exactitate suficientă parametrii geometrici și electrici ai stratelor de sol. În acest sens, curbele model și diagrama $\rho_m(L)$ denumită paletă /2.24/ se desenează în coordinate bilogaritmice cu aceeași scără (unitatea pentru L , de lungime egală cu unitatea centru L). Aplicarea practică a metodei se prezintă detaliat în /2.21...2.27/ și

Tabelul 2.1.

Abateri față de valoările $\frac{\rho_m}{\rho_1}$ calculate cu (2.8), (2.9) și (2.8.a)

$\frac{\rho_m}{\rho_1}$	D/L	1	2	3	4	6	8	10	20
1,5	0,1	1,0366	1,1475	1,2471	1,3155	1,3925	1,4306	1,4522	1,4864
	0,33	1,0323	1,1303	1,2248	1,2934	1,3751	1,4178	1,4423	1,4839
	E	1,0369	1,1430	1,2491	1,3175	1,3939	1,4317	1,4527	1,4865
2	0,1	1,0624	1,2554	1,4360	1,5670	1,7269	1,8143	1,8666	1,9585
	0,33	1,0581	1,2266	1,3960	1,5253	1,6910	1,7858	1,8430	1,9401
	E	1,0633	1,2532	1,4397	1,5709	1,7298	1,8168	1,8685	1,9588
3	0,1	1,0958	1,4040	1,7074	1,9430	2,2632	2,4605	2,5900	2,8521
	0,33	1,0856	1,3584	1,6410	1,8709	2,1921	2,3965	2,5337	2,8233
	E	1,0977	1,4080	1,7132	1,9504	2,2605	2,4655	2,5947	2,8547
4	0,1	1,1188	1,5021	1,8941	2,2135	2,6734	2,9795	3,1120	3,3584
	0,33	1,1053	1,4454	1,8091	2,1166	2,5718	2,862	3,1025	3,6195
	E	1,1195	1,5072	1,9016	2,2222	2,6824	2,9888	3,2024	3,6810
5	0,1	1,1342	1,572	2,0309	2,4167	2,9958	3,4034	3,6086	4,1222
	0,33	1,1186	1,5674	1,9321	2,3012	2,8694	3,2772	3,5300	4,1423
	E	1,1333	1,5773	2,03998	2,4274	3,000	3,4173	3,7149	4,4577
9	0,1	1,1667	1,7254	2,3424	2,8961	3,8081	4,5260	5,1184	6,8454
	0,33	1,1474	1,6434	2,2116	2,7349	3,6198	4,3242	4,8993	6,6405
	E	1,1675	1,7327	2,3554	2,9134	3,8374	4,5560	5,1525	6,8821
15	0,1	1,1864	1,8214	2,5456	3,2213	4,4160	5,4331	6,3094	9,2416
	0,33	1,1649	1,7287	2,3937	3,034	4,1736	5,1507	5,9950	8,9258
	E	1,1876	1,8300	2,5625	3,2487	4,4569	5,4807	6,6294	9,3573
19	0,1	1,1933	1,8553	2,6189	3,3409	4,6541	5,7969	6,8054	10,4504
	0,33	1,1710	1,7588	2,4613	3,1458	4,3915	5,4853	6,4527	9,0917
	E	1,1943	1,8641	2,6386	3,3742	4,6983	5,8528	6,8490	10,5286
99	0,1	1,2152	1,9714	2,8757	3,7905	5,5867	7,3272	9,0959	16,084
	0,33	1,1113	1,8618	2,6999	3,56	5,248	6,8821	8,4669	13,718
	E	1,2164	1,9841	2,9108	3,8422	5,6619	7,4189	9,1220	16,8832

Notă: D/L = 0,1 - Metoda Schlierberger

D/L = 0,33 - Metoda Wenner

E = Metoda simplificată - relația (2.8.a.)

In lucrarea autorului /2.24/ in care se utilizeaza curbele precalculate după (2.8.a.).

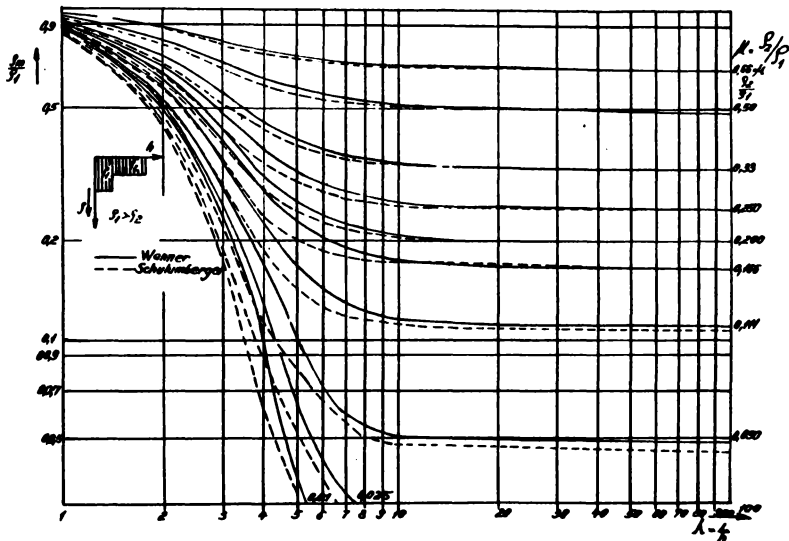


Fig.2.7. Curbele model pentru două straturi $\rho_2 < \rho_1$

La măsurări se poate considera preferabilă metoda W deoarece ea oferă cu - noasterea unui volum de sol mai complet ca metoda S (fig.2.8).

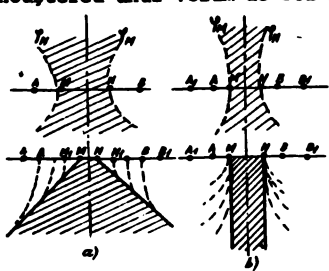


Fig.2.8. Comparatie intre metoda Wenner (a) si Schlumberger (b) solul cercetat este hașurat

Aplicarea practică a sondajului geoelectric pe unele teritorii ocupate de stații de înaltă tensiune în R.S.R. (în construcție sau în exploatare) au condus la rezultatele prezentate în fig.2.11 în care se prezintă paletale $\rho_m(L)$ determinate cu aparatul ATAP- IRME.

2.2.2. Metoda electrodului auxiliar

Se bazează pe măsurarea rezistenței unui electrod cilindric vertical de dimensiuni cunoscute. Ea se pretează și la studierea solului cu stratificări /2.27...2.29/. Se consideră rezistența de dispersie a electrodului auxiliar de lungime L și diametru d (fig.2.9).

$$\text{După Koch /2.28/: } R = \frac{\rho_m}{2\pi r} \cdot \ln \frac{4L}{d} \quad (2.10)$$

$$\text{După Brandolini /2.27/: } R = \frac{\rho_m}{2\pi L} \cdot \ln \left(\frac{4L}{a} - 1 \right) \quad (2.11)$$

$$R = \frac{\rho_m}{2\pi L} \cdot \ln \frac{L+a}{a} \quad (2.12)$$

In relațiile (2.10...2.12) ρ_m este rezistivitatea medie a solului pînă la adîncimea L. Relația (2.11) e considerată de Brandolini /2.27/ ca fiind cea mai bună aproximare de calcul pentru R; fără de aceasta (2.10) are erori positive de același ordin ca cele date de (2.12) care sunt însă negative. Relația (2.11) se obține considerind suprafețele echipotențiale ale prizei (fig.2.10) cilindri coaxiali terminati cu semisfere în partea inferioară iar (2.10) le consideră elipsoizi de rotație confocali. Pentru a ușura calculele de determinare a lui ρ_m în

Fig.2.10 se dă o diagramă originală a autorului ce exprimă funcția $\frac{\rho}{R} = f(L)$ pentru diferite diametre de electrod.

Cunoscând la adâncimea L valoarea R și diametrul d al electrodului se poate calcula ușor raportul $\frac{\rho}{R}$ și deci ρ_m -ul respectiv.

Considerind că electrodul se infundă suplimentar cu lungimea ΔL , într-un strat de sol cu rezistivitatea ρ_1 se cere determinarea acestuia din variabilele ΔR și ΔL (unde cu Δ s-a notat variația mărimii).

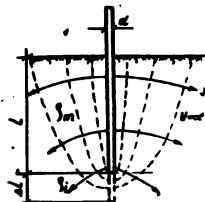


Fig.2.9. Metoda electrodului auxiliar
L-lungimea; d-Diametru
($d=2a$) ($d=2r$)

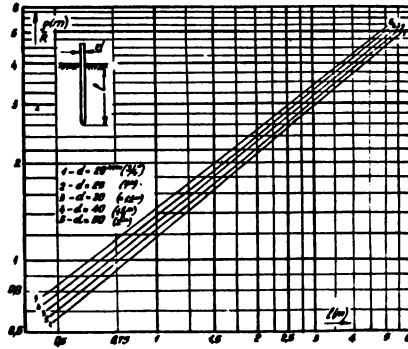


Fig.2.10. Nomogramă pentru calculul rezistivității

Conductanța electrodului cilindric este după (2.10)

$$G = \frac{1}{R} = \frac{2\pi L}{\rho_m \cdot \ln \frac{4L}{d}}$$

Înropind suplimentar electrodul, conductanța electrodului va crește ca efect a următoarelor cauze (ce pot avea efecte contrare):

- creșterea lungimii plantate
- variația rezistivității straturilor

Considerind, prin simplificare, că $\ln \frac{4L + \Delta L}{d} = \ln \frac{4L}{d}$ deoarece $\Delta L \ll L$ și trecind la limită se obține

$$\begin{aligned} dG &= \frac{\partial G}{\partial \rho} \cdot \frac{\partial \rho}{\partial L} \cdot dL + \frac{\partial G}{\partial L} \cdot dL \\ dG &= \left[-\frac{2\pi L}{\rho^2} \cdot \frac{1}{\ln \frac{4L}{d}} \cdot \frac{d\rho}{dL} + \frac{2\pi}{\rho} \cdot \frac{1}{\ln \frac{4L}{d}} \right] dL \\ \frac{dR}{R^2} &= \left\{ \frac{2\pi dL}{\rho} - \frac{2\pi L}{\rho^2} \cdot \frac{d\rho}{dL} \right\} \ln \frac{d}{4L} \end{aligned} \quad (2.14)$$

Ecuția (2.14) se poate rezolva grafoanalitic, simplificând datele problemei. Pentru o rezolvare analitică se presupune o variație discretă a rezistivității care la suprafață de la adâncime L trece de la valoarea ρ_m la ρ_1 și se păstrează apoi constantă (pe lungimea ΔL). În acest caz $\frac{d\rho}{dL} = 0$ și

$$\frac{dR}{R^2} = \frac{2\pi}{\rho_1} dL \ln \frac{d}{4L} \quad \text{sau}$$

$$\rho_1 = \frac{2\pi R^2}{dL \ln \frac{4L}{d}} \quad (2.15)$$

Relația (2.15) a autorului este de aceeași formă cu cea indicată de Chvatal /2.29/ cu deosebirea că acesta obține pe ρ_1 prin două simplificări successive, ce conduc la erori de sensuri contrare.

După unele transformări se obține

$$\rho_1 = \rho_m \cdot \frac{R \cdot \Delta L}{L \cdot \Delta R} \quad (2.16)$$

Borch /2.28/ propune o altă rezolvare a relației /2.14/.

Înropind electrodul suplimentar cu lungimea ΔL , dacă rezistivitatea ar fi constantă între L și $L + \Delta L$ s-ar obține:

$$\Delta R_f^* = R_m - R_{if}^*$$

unde ΔR_f^* și R_{if}^* sunt mărimi fictive (de calcul).

Deoarece rezistivitatea se modifică în realitate de la ρ_m la ρ_i pentru stratul de grosime ΔL , apare un alt ΔR și la adâncimea totală $L + \Delta L$ rezistența R_i . Dacă $\rho_i < \rho_m$, ΔR va crește în proporția $\frac{\rho_i}{\rho_m}$. Dacă $\rho_i > \rho_m$, solul conduce mai prost și ΔR va fi mai mic.

In acest caz:

$$\Delta R = R_m - R_i = \Delta R_{if}^* \cdot \frac{\rho_m}{\rho_i}$$

$$\rho_i = \rho_m \cdot \frac{R_m - R_{if}^*}{R_m - R_i} \quad (2.17)$$

In (2.27) Brandolini prezintă o altă metodă de determinare a rezistivității straturilor succesive de sol. Metoda este aplicabilă numai dacă se pot realiza experimentale două operații de derivare. Metoda este mult mai complicată decât cele prezentate anterior și unele lucrări mai recente chiar ale autorului menționat o consideră necompetitivă pentru moment.

Metodele de sondare cu ajutorul electrodului auxiliar sunt foarte laborioase, necesitând multe calcule. Din acest punct de vedere și pentru complicațiile privind plantarea și scoaterea electrozului de măsură pentru adâncimi de peste 2 m trebuie preferată metoda celor patru electrozi.

2.2.3. Verificări experimentale

Metodele de sondaj menționate au fost verificate practic în diferite zone de pe teritoriul țării. Rezultatele obținute la sondajul cu metoda W sunt prezentate în fig.2.11. Confruntând curbele obținute cu cele etalon indicate în fig.2.6 și 2.7, se trage concluzia că în marea majoritate a cazurilor (90% din cazuri – curbele 2...10 din fig.2.7) solul pe teritoriul stațiilor respective prezintă două straturi. De asemenea, în cele mai multe situații (70% curbele 2,3,4,6,7,9,10) rezistivitatea scade cu adâncimea. Acest element este un argument serios în avantajul utilizării prizelor naturale care ating deobicei straturile inferioare de sol care pe lângă o rezistivitate deobicei mai redusă oferă și oscilații sezoniere mult diminuate prin variația mai mică a umidității și temperaturii în straturile profunde.

Alura curbelor din fig.2.11. justifică pe deplin, interesul pentru studiul solului "dublu strat" și deci pentru simplificarea menționată în rezolvarea ecuației Laplace (relația 2.4).

Metoda sondării solului cu ajutorul electrodului auxiliar a fost comparată prin măsurări efective în teren – cu metoda Wenner. Dacă în cazul solului omogen rezultatele obținute cu cele două metode se suprapun bine (în limita erorilor de clasă a aparatelor de măsură), în cazul solurilor cu stratificări și anizotropie pe orizontală cele două metode dă rezultate sensibil diferite (fig.2.12.). În cazul prezentat în figura, abaterile între rezultatele obținute cu cele două metode pentru ρ_m ajung pînă la 20%, metoda Wenner oferind însă rezultate acoperitoare (ρ mai mare)

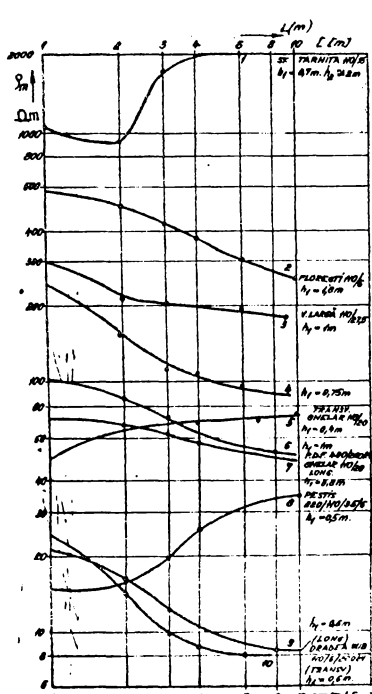


Fig.2.11. Măsurarea rezistivității pe teritoriul diferitelor stații din R.S.R.
 ρ_m - rezistivitatea măsurată cu metoda Wenner. L - semidistanța între electrozii extremi.

$\frac{3a}{2}$ - adâncimea la care apare stratificația

Diferențele între cele două metode derivă din faptul că metoda Wenner dă rezultate

Valabile pentru solul din planul vertical al electrozilor pe cind electrodul auxiliar oferă un sondaj în toate direcțiile în jurul electrodului îngropat. De asemenea, profunzimea de pătrundere a celor două metode nu este absolut identică în cazul solului stratificat.

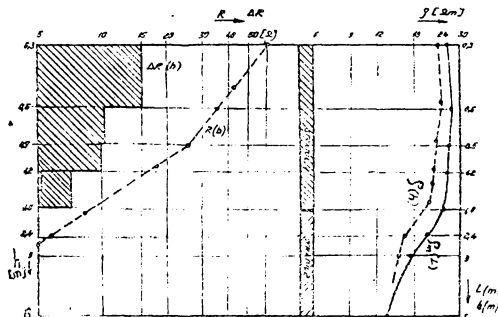


Fig. 2.12. Compararea metodelor de sondaj într-un caz practic

Este deci neinteresant din punct de vedere practic să se impună o precizie deosebită calculului prizelor de pămînt în sol deoarece consumul de "ore-calculator" pentru această operație este nejustificat de eficiența practică a acestei exactități.

2.2.4. Erorile și limitele metodelor de sondaj

Interesul pentru cunoașterea parametrilor straturilor de sol este justificat de faptul că toate calculele de dimensionare a prizelor de pămînt se bazează pe cunoașterea acestora (ρ_1, ρ_2, h). De asemenea atât comportarea la solicitările termice cât și la frecvențele finale sunt în mod deosebit influențate de rezistivitatea solului.

Evident, precizia de măsurare a parametrilor geometrici și electrici ai straturilor de sol, depinde de clasa aparatelor și utilajelor utilizate dar și de calitatea curbelor precalculat. În plus, trebuie avută în atenție și erorile de paralaxă sau observator ce pot apărea la trasarea și interpretarea curbelor sondajului geoelectric (a paletelor) și curbelor model, precalculat.

Se menționează în acest sens că metodele de sondaj respective au anumite limite de precizie, determinate în special de ipotezele făcute la calcularea curbelor model. Dupa cum s-a arătat, curbele model au fost construite în ipoteza unei suprafețe nete, plane, de separație între straturile adiacente și a utilizării la sondaj a unor electrozi semisferici, situati la suprafața solului. În realitate există aproape întotdeauna între două straturi o zonă intermedie mai mult sau mai puțin groasă, deci o trecere treptată spre stratul inferior și electrozii utilizati sunt conici. Această realitate are o influență negativă asupra preciziei sondajului, în special în cazul unui număr mare de straturi de grosimi mici. Din evaluarea curbelor $\rho_m(L)$ cu ajutorul curbelor precalculat pentru dublu strat se pot obține rezultate corespunzătoare și pentru mai multe straturi (prin interpretări succesive) dar deobicei numai atunci cind grosimea straturilor crește cu adâncimea de sondare.

Din aceste motive și tinând cont de dificultățile majore ale utilizării unor apărate etalon în condițiile măsurărilor în teren, nu se impune o precizie de măsurare mult mai mare decât cea a evaluării cu ajutorul curbelor model precalculat. Aceasta depinde evident de grijă și specializarea persoanei ce execută interpretarea rezultatelor sondajului dar nu se poate aștepta ca în condițiile obișnuite precizia de determinare din curbelor precalculat a lui h , ρ_1 și ρ_2 ale straturilor să poată fi coborite sub 5..6 %. În concluzie este deci lipsit de interes să se execute măsurători cu apărate foarte precise și calcule deosebit de exacte pe baza unor sondaje care au limitele lor.

Erorile de măsurare a parametrilor straturilor se exprimă prin relațiile:

$$\frac{\Delta \rho}{\rho} = \frac{\Delta L}{L} + \frac{\Delta D}{D} + \frac{\Delta R}{R} + \Delta_{\text{relativ Paralaxă}}$$

$$\frac{\Delta h}{h} = \frac{\Delta L}{L} + \frac{\Delta D}{D} + \Delta_{\text{relativ Paralaxă}}$$

¹⁸ notățiile L,D,R, fiind definite anterior iar Δrelativ Paralaxă este eroarea de interpretare la înțelegere a curbilor sondajului geoelectric.

Utilizând apărute de clasă corespunzătoare (2.5...3 % puncte de curent alternativ pentru măsurarea lui R), măsurind cu atenție distanțele, și interpretând cu grijă și minuțios rezultatele obținute erorile în cazul utilizării acestei metode sondaj pot fi sub 8..10% ceea ce se poate considera întrutotul acceptabil pentru scopurile practică și proiectării.

In orice caz însă, posibilitățile de sondare a solului utilizând puncte de curent alternativ la măsurarea rezistenței de dispersie se limitează la adâncimi pînă la 18...20 m, peste care se consideră necesare apărute de curent continuu deosebit de sensibile.

2.3. STABILITATEA TERMICĂ A PRIZELOR DE PÂMINT

Prin stabilitate termică se înțelege în general capacitatea prizei de a suporta solicitările termice la care este supusă în exploatare ca efect al trece-rii curentului și de a-și păstra nealterate proprietățile de conducere a curentului în sol. În acest sens studiul stabilității constituie un domeniu conex electrotehnicii și termotehnicii.

In ultimul timp rezultate deosebite ale cercetărilor științifice s-au obținut în domeniile de conexiune ale diferitelor discipline științifice. Se pot menționa în acest sens aplicațiile teoriei grafurilor în energetică și electronică în medicină, a matematicii în arheologie, etc. Un domeniu de mare actualitate și de real interes este și cel al calculului termic al prizelor de pămînt.

Pentru a cunoaște complet fenomenele ce se produc la funcționarea prizeelor de pămînt naturale sau artificiale se impun studierea dispersiei curentului dar și aspectul termic al problemei - distribuția temperaturilor în vecinătatea și pe suprafața electrozilor.

Ecuatia transferului de căldură în elementele de volum din sol se poate scrie pe baza principiului conservării energiei care exprimă faptul că suma cantităților de căldură produsă evacuată și înmagazinată este în mod necesar nulă.

- Căldura produsă prin efect Joule - Lenz în elementul de volum dv de sol, în timpul dt

$$dQ_p = \rho j^2 dv \cdot dt \quad (2.19)$$

- Căldura înmagazinată în elementul dv care face să crească temperatura cu de:

$$d\theta_e = - cdv \cdot d\theta$$

- Căldura evacuată spre elementele vecine, în acelaș timp dt:

$$dQ_e = \lambda \cdot \Delta \theta dv \cdot dt$$

- Considerind: $\sum dQ = dQ_p + dQ_i + dQ_e = 0$,

Se obține după anumite transformări o ecuație diferențială de tip Fourier (2.21)

$$\rho j^2 = c \frac{d\theta}{dt} - \lambda \Delta \theta \quad (2.21)$$

unde în afara notăților cunoscute:

j - densitatea curentului (A/m^2)

c - căldura specifică medie a solului. Se consideră

$$c(\theta) = ct = C_{med} = 1,75 \cdot 10^6 W/m^3 \cdot ^\circ C / 2.28 /$$

λ - conductivitatea termică medie a solului. Se consideră

$$\lambda(\theta) = ct = \lambda_{med} = 1,2 W/m \cdot ^\circ C / 2.28 /$$

Fenomenele termice sunt în general procese cu inertie. Din acest motiv pentru simplificarea problemei se obisnuiește ca (2.21) să se rezolve în două etape - procesul tranzitoriu și procesul staționar. În cadrul procesului tranzitoriu se neglijăază transmisia de căldură în exterior, considerindu-se că toată energia disipată prin efect Joule se înmagazinează în elementul de volum, fapt ce conduce la creșterea temperaturii.

Pentru regimul permanent, se consideră temperatura constantă, căldura produsă în elementul de volum se transferă în exterior.

Cu aceste departajări, ecuația (2.21) se rezolvă mai simplu.

2.3.1. Procesul tranzitoriu (adiabatic)

Considerind neglijabilă transmisia căldurii spre exterior, $\Delta \theta = 0$

$$\rho j^2 = c \cdot \frac{d\theta}{dt} \quad \text{sau} \quad \frac{\theta^2}{\rho} = C \cdot \frac{d\theta}{dt} \quad (2.22)$$

Ecuatia (2.22) se integrează simplu, considerind $\theta = \theta_0 = \text{constant}$ -

⁷⁴ nedepinzând de temperatură. În acest caz

$$t_L = \frac{C d\theta}{j^2 \cdot \rho_0} \quad (2.23)$$

unde $d\theta$ - creșterea de temperatură corespunzătoare duratei t_L a defectului și t_L - timpul calculat în literatură corespunzător cresterii $d\theta$ a temperaturii în straturile vecine electrozilor metalici.

Amitind o creștere $d\theta$ a temperaturii, rezultă timpul t_L cît poate trece un curent de densitate j prin sol fără să se depășească creșterea de temperatură respectivă. În realitate, timpul t_L va fi cu ceva mai lung decât cel calculat cu (2.23) deoarece chiar în timpul procesului tranzitoriu se cedează căldură în spre straturile vecine de sol, fapt ce face ca temperatura să crească mai mult.

După Dolgov, care împreună cu Jacobs au studiat proprietățile fizice ale solului /2.32/ rezistivitatea ρ depinde de temperatură având un coeficient de temperatură negativ - caracteristic tuturor soluțiilor electrolitice. Expresia analitică a acestei variații

$$\rho = e^{a+b\theta} \cdot w \quad (2.24)$$

unde a, b, w - sunt coeficienți ce depind de natura solului și adâncimea iar w (%) umiditatea procentuală conținută în sol.

În cazul procesului tranzitoriu, considerat ca având durate de ordinul secundelor, umiditatea solului nu se modifică practic și în acest caz se poate considera

$$\rho = A e^{b\theta} \quad (2.24.a)$$

Caracterul descrescător al rezistivității (cu temperatura) s-a evidențiat și în cadrul probelor repetate executate de autor în diferite categorii de sol.

Pentru solurile cele mai răspândite - cele argiloase și nisipo-argiloase sau podzolice la umidități obișnuite de sol ($w=10\ldots30\%$) și la adâncimi de îngropare mai mari ca $60\ldots80$ cm coeficientul A și b au valorile $A = 29\ldots44$ ($\Omega \cdot m$) $b = -0,0249\ldots-0,0296$ ($1/\theta^\circ C$)

Ca valori medii de calcul se pot lua $A = 35 \Omega \cdot m$, $b = -0,027$.

În acest mod ecuația (2.22) devine, după calculele autorului

$$\frac{Cd\theta}{dt} = \frac{E^2}{A e^{b\theta}} ; \text{ sau } \frac{Cd\theta}{dt} = Ae^{b\theta} \cdot j^2$$

Integrind, se obține timpul în care temperatura în straturile de sol vecine electrozilor crește cu $d\theta = \theta - \theta_0$; (θ_0 - temperatura inițială a solului;

ρ_0 - rezistivitatea inițială: $\rho_0 = Ae^{b\theta_0}$)

$$t = \frac{C(e^{b\theta_0} - e^{-b\theta})}{j^2 \cdot b \cdot A} = \frac{C}{j^2 \cdot b \cdot \rho_0} (1 - e^{-b\theta}) \quad (2.25)$$

Relația (2.25) obținută de autor este mai exactă decât cea din literatură (2.24), fiind confirmată de rezultatele practice obținute la probe. Trebuie subliniat că t din (2.24) și (2.25) este calculat în ipoteza că densitatea de curent j nu depinde de rezistivitatea solului ceea ce este perfect adevărat în cazul proceselor tranzitorii (scurtcircuite) al căror curent este determinat de parametrii circuitului parcurs de curentii de defect (generatorare, transformatoare, conductori, arc, traseu de întoarcere prin pămînt) și este foarte puțin influențat de rezistența straturilor subțiri a căror rezistivitate se modifică cu θ .

Raportul $\frac{t}{t_L}$ - între timpul calculat de autor - (necesar ca temperatură să crească cu $d\theta$) și cel din literatură actuală este indicat în fig. 2.13. Se observă că timpul real este în domeniul supra temperaturilor obișnuite $d\theta = 40\ldots80^\circ C$ de 2...3 ori mai lung decât cel din literatură

$$\frac{t}{t_L} = \frac{1 - e^{-b\theta}}{1 - b\theta}$$

Din (2.25) se deduce densitatea maxim admisibilă pe suprafața electrodului

20

de priză, pentru un timp t_f dat al scurtcircuitului (pe suprafața de contact între electrod și sol).

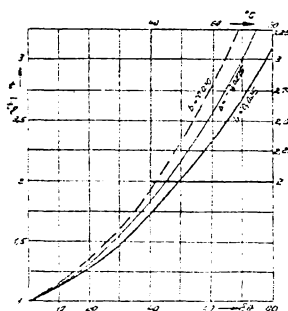


Fig. 2.13. Raportul între real și cel indicat în literatură

$$J_{\max} \leq \sqrt{\frac{C(1 - e^{-b\delta\theta})}{t_f \cdot b \cdot \rho_0}} \quad (2.26)$$

Față de relația indicată în literatură (2.27), /2.30/, /2.31/ densitatea din (2.26)

$$J_{\max}^L \leq \sqrt{\frac{C\delta\theta}{t_f \cdot \rho_0}} \quad (2.27)$$

este în raportul:

$$\frac{J_{\max}}{J_{\text{lit}}} = \sqrt{\frac{t}{t_L}} = 1,58 \dots 1,75$$

pentru $\delta\theta = 65^\circ\text{C}$ majorarea reprezintă deci 58-75% ceea ce reprezintă o valoare semnificativă ce permite o economie importantă de metal la dimensionarea instalațiilor de legare la pămînt.

Explicația fenomenologică a datelor obținute se bazează pe interpretarea fizică a ecuației (2.24). Cu creșterea temperaturii rezistivitatea solului scade și deci la un curent constant efectul termic al curentului se diminuează față de cazul $\rho = \text{ct}$. În acest mod creșterea temperaturii se va produce mai lent și temperatura admisibilă ($\theta = 100^\circ\text{C}$, $\delta\theta = 65^\circ\text{C}$) se va atinge la o densitate de curent superioară celei valabile pentru cazul cfnd se consideră rezistivitatea solului constantă.

Se subliniază că în realitate chiar timpul calculat de autor este cu ceva mai mic decât cel real deoarece chiar în procesul tranzistoriu se transmite căldura spre exterior, aceasta face calcule efectuate acoperitoare.

2.3.2. Regimul termic staționar (permanent)

Se consideră că temperatura s-a stabilizat și toată căldura produsă în elementul de volum se transferă în exterior. Atunci (2.21) devine (2.28)

$$\Delta\theta = -\frac{\Omega j^2}{\lambda} = -\frac{E^2}{\rho\lambda} \quad (2.28)$$

sau: $\Delta\theta = -\frac{1}{\rho\lambda} \left[\frac{\Delta V^2}{2} - V \Delta V \right]$ sau $\Delta(\theta + \frac{1}{2\rho\lambda} V^2) = \frac{V \Delta V}{\lambda\varsigma}$

Deoarece $\Delta U = 0$:

$$\Delta(\theta + \frac{1}{2} V^2) = 0$$

Condițiile la limită pentru rezolvarea acestei ecuații sunt:

- Pentru punctul de la infinit $V = 0$; $\theta = \theta_o$

- Pentru suprafața electroduului $V = V_o = U_o$; $\nabla\theta = 0$; ($\theta = \theta_{\max}$)

U_o -tensiunea pe priză față de punctul de la infinit

(electrodul metalic are conductibilitate termică mult mai bună ca solul și gradientul de temperatură la suprafață să e nul).

Soluția ecuației (2.28) cu condițiile la limită menționate, este după /2.31/ în care se consideră $\rho = \text{constant}$ cu θ și potențialul unui punct egal cu tensiunea lui față de punctul de la infinit $U = V$

$$\theta + \frac{U^2}{2\rho\lambda} = \theta_o + U_o \frac{U}{\lambda\varsigma} \quad (2.29)$$

Se observă că după (2.29) suprafețele echipotențiale din zona învecinată prizei sunt și suprafețe izoterme (Pentru $U = \text{ct}$; $\theta = \text{ct}$).

În funcționarea normală a prizei din cauză umidității solului, difuziunea curentului se realizează prin deplasarea ionilor în electrolitul sol-apă. Prin creșterea temperaturăi, difuziunea ionilor poate fi accelerată prin apărutul diferenței de temperatură între punctele din apropierea prizei și cele mai departăte care sunt mai reci.

24

Dacă temperatura crește prea mult (peste 95-100°C) iziditarea solului poate fi pierdută prin evaporare, pământul uscat devenind izolant. Uneori se poate petrece străpungerea straturilor de sol vecine prizei (cu gradienți maxiimi de potențial) cu urmările respective - topirea electrocodului metalic, verificarea pământului etc. În consecință pentru ca priza să funcționeze stabil, trebuie limitată încălzirea solului la 90-95°C.

În imediata vecinătate a suprafeței electrocodului se obține pentru $U = U_0 = \text{vlimită}$ valoarea maximă a tensiunii admise pe priză fără aceasta să-și piardă stabilitatea

$$U_0 = \sqrt{2\lambda \varphi (\theta_{\max} - \theta_0)} = \text{vlim}_p \quad (2.30)$$

Această ecuație are importanță în studiul stabilității termice a prizelor de pământ în regim staționar. Prin stabilitatea termică se înțelege menținerea valorii rezistenței de dispersie a prizei în limitele admisibile, necesare în exploatare, pentru atunci solicitări de curenț sau de tensiune aplicată prizei.

Aceasta se poate obține cu condiția ca tensiunea aplicată prizei în regim de durată $U_p < \text{vlim}_p$ deci să nu depășească valoarea din (2.30). Pentru valoările cunoscute ale lui $\theta_{\max} - \theta_0 = 95-30 = 65^\circ\text{C}$; $\lambda = 1,2 \text{ W/m}^\circ\text{C}$ și un coefficient de supranță 1,05 se obține

$$U_0 = 12,5 \sqrt{\varphi} \quad (2.31)$$

Rahimov (2.35; 2.36) rezolvă problema încălzirii în regim de durată considerind cazul prizelor din electrozi orizontali în care după opiniia sa apare căderea căldurii dinspre sol spre aer.

În acest caz, tensiunea maximă admisibilă pe electrozi (fază de punctul de la infinit) este dată de relația (2.32)

$$U_0 = \sqrt{\frac{f(\varphi)}{G(\varphi)}} 2\lambda p (\theta_{\max} - \theta_0) \quad (2.32)$$

unde $f(\varphi) = \ln \frac{L}{2d}$; $G(\varphi) = \ln \frac{4\pi d}{2}$

cu L - lungimea electrocodului orizontal
 h - adâncimea de plantare
 d - diametrul electrocodului menționat.

Ecuația (2.32) dă pentru U_0 valoari superioare lui (2.31)

Neajunsul principal al soluielor (2.30) și (2.32) a ecuației încălzirii în regim permanent, constă în faptul că rezolvarea ei nu ține cont de caracterul nelinier al rezistivității solului, a cărei valoare scade cu creșterea temperaturii. Efectul modificării rezistivității cu temperatura constă în diminuarea puterii dissipate în elementul de volum și deci, pentru obținerea aceluiși efect termic se poate admite o creștere a curențului sau o majorare a tensiunilor admisibile pe priză U_0 față de valorile din (2.30) și (2.32).

Experimentări multiple ale autorului, executate asupra unor prize de pământ de diverse configurații, plantate în soluri diferite au permis să se deducă faptul că tensiunile limită U_0 din (2.30) și (2.32) trebuie corectate. Tensiuni aplicate prizei de 2-3 ori mai mari ca cele din relațiile menționate nu conduc la pierderea stabilității prizei. Explicația acestui fenomen se bazează însă în opinia autorului, pe caracterul nelinier al rezistivității solului.

Considerind cazul prizei sferice de rezistență de dispersie R_g situate în sol infinit cu rezistivitatea ρ având diametrul D_0 , tensiunea U_x la distanța x de centrul sferei și disipând curențul I :

$$U_x = \frac{I \cdot \rho}{4\pi x} \quad U_p = U_x \cdot D_0 = \frac{I \cdot \rho}{4\pi x} \cdot D_0 \quad R_g = \frac{\rho}{2\pi D_0}$$

Tinând cont că $I^2 = \frac{U^2}{R_g^2} \cdot F.r.$, ecuația (2.18) devine

$$\frac{\lambda}{x} \frac{\partial^2(\theta(x))}{\partial x^2} + \rho \left\{ \frac{I}{4\pi x^2} \right\}^2 = 0 \quad \text{sau} \quad \frac{d^2(\theta(x))}{dx^2} + \frac{\rho}{\lambda x^3} \left[\frac{I}{4\pi} \right]^2 = 0 \quad (2.34)$$

Ecuatia (2.34) pentru $\rho = \rho[\theta(x)]$ nu are o rezolvare analitică cunoscută în etapa actuală. Din acest motiv rezolvarea se va da în două etape. Pentru început, considerind ρ constant cu θ și x se obține /2.30/

$$\theta = \theta_0 + \frac{\rho}{\lambda} \left[\frac{I}{4\pi} \right]^2 \cdot \frac{1}{x} \left[\frac{2}{D_0} - \frac{1}{2x} \right] \quad (2.35)$$

Pentru $x = \frac{D_0}{2}$; $\theta = \theta_{max} = 90 \dots 95^\circ C$ și în acest caz

$$\theta_{max} - \theta_0 = \frac{\rho}{2\lambda} \left[\frac{I}{2\pi D_0} \right]^2 \quad \text{sau deoarece } U_p = \frac{I\rho}{2\pi D_0} \quad \text{se obține (2.30)}$$

$$U_0 = U_p^{\lim} = \sqrt{2\lambda(\theta_{max} - \theta_0)\rho} \quad (2.30)$$

Variatia temperaturii solului în jurul electrodului (fig.2.14 conduce la modificarea lui ρ - schimbând esențial condițiile privind stabilitatea termică a prizei. Din cauza conductivității termice reduse a solului căderea de temperatură $\theta_{max} - \theta_0$ are loc în imediata vecinătate a electrodului (5-6 cm). Aceasta este valabil atât în cazul prizeelor ce și păstrează stabilitatea cît și în cazul celor instabile termic.

Fenomenele de pierdere a umidității prin creșterea temperaturii peste 90-95° și de către fenomenul de pierdere a stabilității apare întotdeauna în straturile din imediata vecinătate a electrozilor (1-2 cm). Ridicarea temperaturii stratului de sol vecin cu electrodul, nu modifică practic rezistența prizei R_g , dacă creșterea temperaturii nu depășește temperatura de pierdere a umidității.

In acest caz, pentru prizele stabile, rezistența corespunzătoare temperaturii θ_0

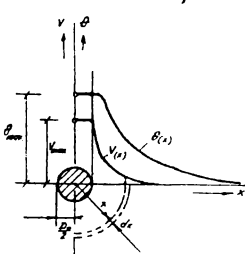


Fig.2.14. Priza sferică în sol omogen

$$R_g = \frac{\rho \theta_0}{2\pi D_0} = \frac{U_p}{I}$$

$$\text{Din (2.35) rezultă că la } x = \frac{D_0}{2}; \theta = \theta_{max} \text{ și } \rho_{\theta_{max}} = \rho_{\theta_0} \cdot e^{-(\theta_{max} - \theta_0)/b}. \quad [2.32]$$

$$\theta_{max} - \theta_0 = \frac{\rho_{\theta_{max}}}{2\lambda} \left[\frac{I}{2\pi D_0} \right]^2$$

$$\frac{I}{2\pi D_0} = \sqrt{2\lambda(\theta_{max} - \theta_0)} \cdot \frac{1}{\rho_{\theta_{max}}} ; \quad U_p = \frac{I\rho_{\theta_0}}{2\pi D_0} = \sqrt{2\lambda(\theta_{max} - \theta_0)} \cdot \frac{\rho_{\theta_0}^2}{\rho_{\theta_{max}}} \quad (2.36)$$

Dacă notăm valoarea U_0 din (2.30) cu U_0^L - (valoarea admisă de literatură) și tîinînd cont că $\theta_{max} - \theta_0 = 65^\circ C$; $b_{med} = -0,027$

$$U_0 = U_0^L \cdot \sqrt{\frac{\rho_{\theta_0}}{\rho_{\theta_{max}}}} = U_0^L \sqrt{e^{b(\theta - \theta_{max})}} = U_0^L \sqrt{5,68} = 2,35 U_0^L \quad (2.37)$$

Se observă că valoarea lui U_0 determinată pentru cazul $\rho = \rho[\theta(x)]$ este de circa 2 ori mai mare ca cea indicată în literatură.

Verificarea practică a valorilor U_0 obținute din (2.37) s-a făcut în cadrul experimentărilor prezentate parțial anterior. Un tabel sinoptic al încercărilor efectuate este tabelul 2.3. Schema utilizată la probe și rezultatele experi-

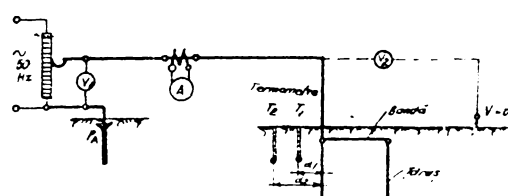
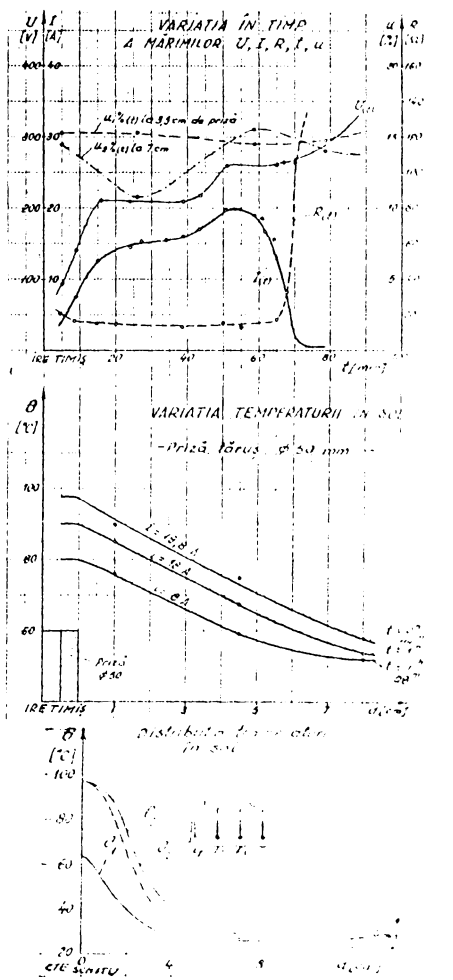
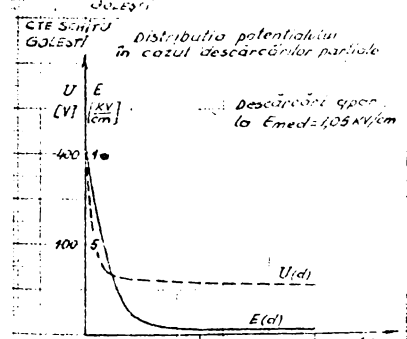
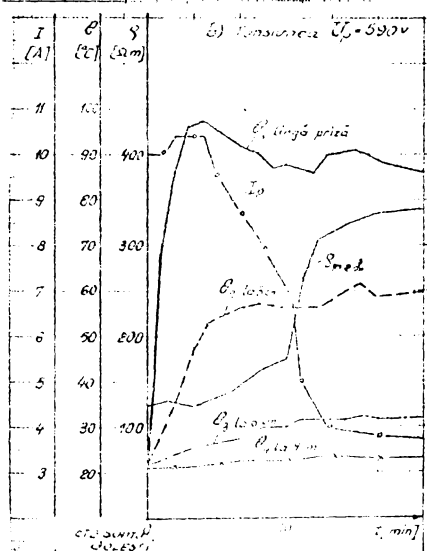
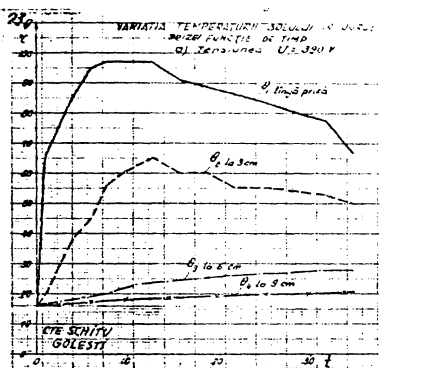


Fig. 2.15. Schema de principiu a încercărilor efectuate și rezultatele experimentale obținute: θ - temperatura; t - timpul; U - tensiunea; E - intensitatea cimpului; (u) - umiditatea solului.

²⁴mentale sînt prezentate în fig.2.15. Se observă că în toate cazurile la $U < U_{lim}$ ⁽³⁷⁾ priza rămîne stabilă termică.

Tabelul 2.3.

Incerările prizelor simple la stabilitate termică

Nr. crt.	Rezistivitatea solului $\Omega \cdot m$	Tensiunea limită U_o din (2.37) (V)	Tensiunea limită U_o din literatură (V)	Tensiunea aplicată prizei (V)	Observații
1	43	205	37	260	Instabilă
2	65	255	130	390	Stabilă
3	94	300	128	290	Stabilă
4	96	306	130	280	Stabilă
5	120	328	140	590	Stabilă
6	143	375	160	620	Stabilă
7	69	245	105	750	Instabilă
8	72	252	107	750	Instabilă

Duratele efective ale solicitărilor s-au calculat din relația (2.25) pentru $\theta_{max} - \theta_o = 65^\circ C$, controlul temperaturii de regim realizîndu-se cu ajutorul termometrelor T_1 și T_2 din fig.2.15.

2.4. PARAMETRII PRIZELOR LA FRECVENTE INALTE

2.3.1. Procese fizice la trecerea curentului în sol

Solul este un conductor neliniar. Acest caracter al solului s-a pus mai mult în evidență în cazul rezistivităților mari și a cîmpurilor puternice (mai ales în cazul solurilor uscate). Experimentările repetate ale autorului au permis să se trăgă concluzia că betonul posedă un puternic caracter neliniar, mult mai semnificativ decît cel al solului.

Incerările s-au făcut atât asupra unor probe paralelipipedice de beton și de sol $70 \times 70 \times 10$ mm; $70 \times 70 \times 8$ mm cu conținut diferit de umiditate, cît și asupra unor stîlpi de beton plantați în sol.

In cazul acestora s-a constatat că aplicarea unei tensiuni sinusoidale epruvetei sau stîlpului, face să treacă prin acestea un curent nesinusoidal, apărînd o puternică armonică de ordinul 3 în curba curentului.

In fig.2.16. se prezintă schema de principiu a incercărilor efectuate iar în fig.2.17 aspectul sinusoidei curentului și tensiunii la probele respective. Se observă că aplicarea unei tensiuni sinusoidale mari stîlpului, dă naștere prin acesta unui curent nesinusoidal. Aici rezistența neliniară este cea a stratului de beton între armături și sol. Trecerea acestui curent prin rezistențele liniare R_{12} , R_{20} provoacă pe acestea o cădere de tensiune nesinusoidală.

In cazul armăturilor plantate direct în sol, (fără strat de beton) fenomenul de neliniaritate apare la umidități mai scăzute a solului sau la densități mai mari a curentului.

Se poate trage concluzia că betonul stîlpilor plantați în sol nu conține aceeași umiditate ca solul învecinat.

Fenomenele neliniare au apărut practic la toate probele efectuate în sistem - atât la punerile simple și duble la pămînt în rețelele cu neutru izolat cît și la scurtcircuite monofazice în rețelele cu neutru legat la pămînt.

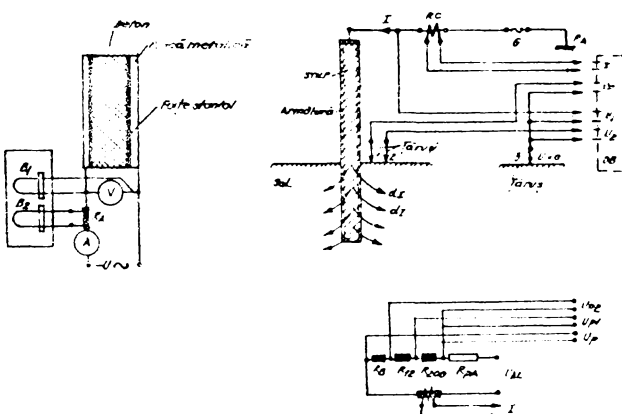


Fig.2.16. Schemele de principiu a încercărilor efectuate

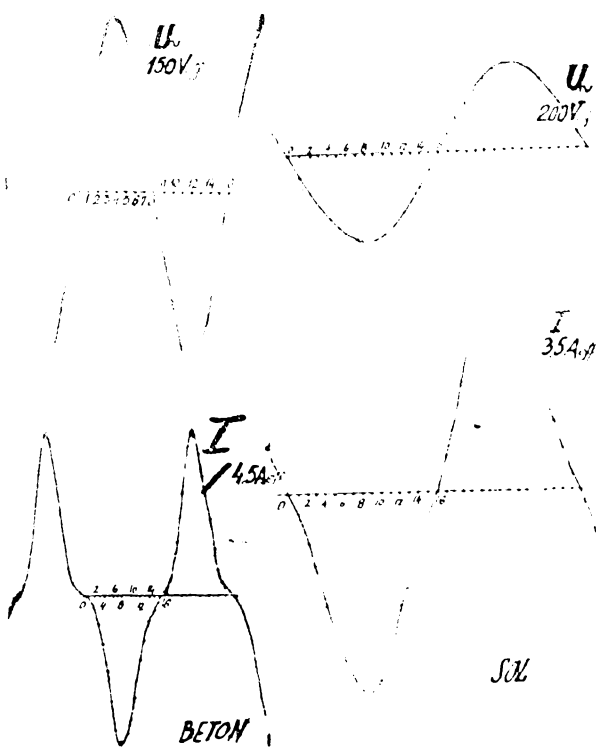
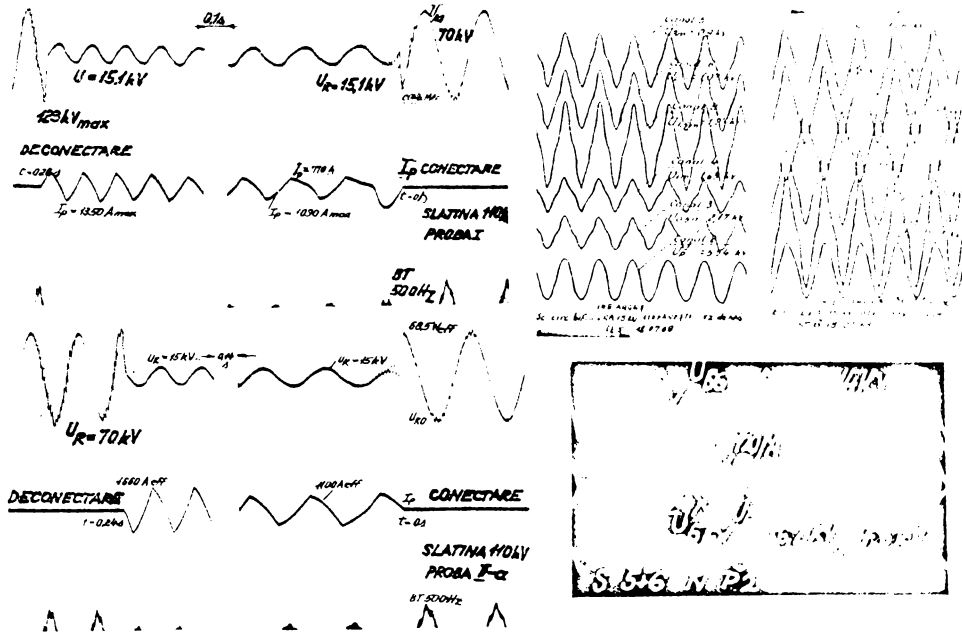


Fig.2.17. Aspectul sinusoidelor obținute la încercările epruvetelor de beton și sol.

28

In fig.2.18 se indică oscilogramele tensiunilor și curentilor la unele probe în sistem efectuate de autor. Armonica 3-a apare atât în cazul rețelelor de MT cît și în cele de IT, după cum se poate remarcă și din oscilogramele prezentate în cap.3 al lucrării.



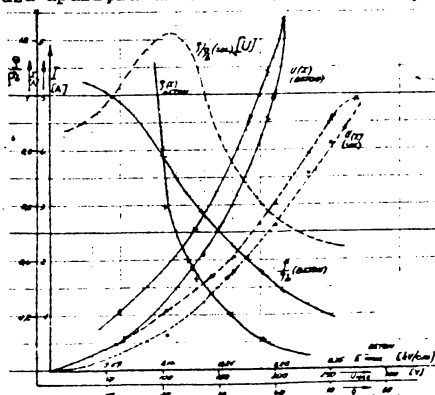
Rețea 110 kV St.Slatina

Rețea 15 kV St.Stefănești

Fig.2.18. Oscilogramele tensiunilor și curentilor la probele în sistem efectuate

Autorul consideră că acest caracter neliniar al solului și betonului favorizează apariția armonicii 3-a în curentii de punere la pămînt din sistemele electroenergetice.

In cazul scurtcircuitelor în rețelele cu neutru legat la pămînt efectul neliniarității solului se poate combina cu cel

Fig.2.19. Caracteristicile $U(I)$, $\rho(U)$, $\rho(J)$ pentru datele din fig.2.17.

Analiza armonică a curbelor din fig.4.2 pentru proba de sol (1) și beton (2) este prezentată în tabelul 4.1. Calculele s-au executat după un program IRME (testat în repetate rînduri) pe calculatorul IRIS-50 al ISPE.

al saturării miezului magnetic al transformatorilor.

Caracteristicile dinamice $U(I)$, $\rho(U)$ și $\rho(J)$ pentru cazul epruvetelor de beton

²⁷ și sol dedusă din porțiunile crescătoare și descrescătoare ale sinusoidelor tensiunii și curențului din fig.2.17 sunt prezентate în fig.2.19. Se remarcă apariția unui fenomen asemănător saturăției miezului de fier la cimpuri mari (U-B; I-II).

Așa că din curbele din fig.2.19 cătă și din oscilogramele din fig.2.18 se poate remarcă apariția unui fenomen contrar fenomenului de histereză; la scăderea tensiunii curențul scade mai mult. Cu titlu informativ, se menționează că în unele probe asupra unor prize care și-au pierdut stabilitatea apar fenomene de genul histerezei; la scăderea tensiunii curențul crește.

Din tabelul 2.4. se observă că în aceleasi condiții solul prezintă o neliniaritate mai slabă decât betonul la care distorsiunea curbei curențului atinge 34 %.

Explicația neliniarității provine după opinia autorului din modificarea rezistenței de contact între particolele constitutive ale solului și betonului cu tensiunea aplicată contactelor.

Tabelul 2.4.

Analiza armonică a sinusoidelor tensiunii și curenților în probleme de beton și sol

Ordinul	Tensiunea aplicată			Curentul prin proba 1 sol			Curentul prin proba 2 beton			Obs.
	Amplitudine	Cota	Faza	Amplitudine	Cota	Faza	Amplitudine	Cota	Faza	
1	19,131	100,000	10GR55M	40,493	100,009	7GR22M	24,728	100,000	8GR15M	
2	0,150	0,735	187GR56M	2,321	5,732	193GR6M	5,777	23,363	20GR17M	x
3	0,247	1,293	191GR31M	4,572	11,291	183GR58M	5,255	24,080	191GR25M	
4	0,09	0,470	129GR40M	0,439	1,086	298GR6M	2,794	11,392	205GR37M	x
5	0,112	0,516	74GR19M	0,646	1,596	262GR2M	0,896	3,626	261GR4M	
6	0,032	0,167	20GR26M	0,583	1,440	21GR50M	0,992	4,012	219GR35M	x
7	0,122	0,638	89GR30M	0,257	0,636	81GR45M	0,880	3,559	40GR12M	
8	0,255	0,292	116GR32M	0,239	0,590	236GR44M	0,286	1,159	78GR41M	
9	0,093	0,489	305GR12M	0,174	0,431	218GR24M	0,168	0,681	272GR23M	
10	0,005	0,025	331GR45M	0,422	1,044	252GR36M	0,124	0,501	214GR32M	
11	0,255	0,291	328GR34M	0,250	0,617	273GR19M	0,268	1,287	22GR33M	
12	0,058	0,307	17GR1M	0,111	0,276	145GR46M	0,179	0,724	37GR17M	
13	0,169	0,385	151GR42M	0,126	0,311	264GR43M	0,069	0,280	170GR8M	
14	0,011	0,062	86GR44M	0,241	0,597	137GR31M	0,196	0,794	164GR42M	
15	0,085	0,448	169GR36M	0,355	0,878	241GR27M	0,056	0,222	334GR23M	
Valoare eficace	19,136			40,836			26,287			
Dis-torsiune			0,0226=2,26%			0,129= 13%			0,339 = 34%	

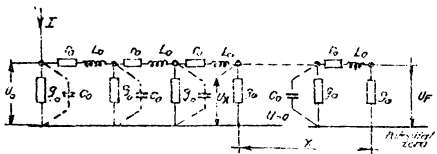
Notă : Factorul de distorsiune s-a definit ca raport între valoarea efectivă a armonicilor și valoarea efectivă totală.

2.4.2. Parametrii lineici ai electrozilor de priză

La frecvențele înalte ce caracterizează regimul de impuls valoarea parametrilor electrici (r_o, L_o) ai electrozilor nu mai poate fi neglijată față de rezistența pământului. Priza de pămînt trebuie astfel considerată ca un lanț de cuadripoli a căror schemă este prezentată în fig.2.20.

In acest caz în locul rezistenței de dispersie, priza prezintă o impedanță.

In schema din fig.2.20 r_o și b_o sunt rezistență și inductivitatea specifică pe unitatea de lungime a elecroodului iar g_o conductanța specifică transversală a acestuia (inversul rezistenței de disper-



sie) pe unitatea de lungime.

Datorită impiedantăi longitudinale mari și atenuării produse de conductanță spre sol a electroodului, tensiunea electroodului prizei (față de punctul de la infinit, cu potențialul zero) în cazul unei solicitări de înaltă frecvență variază de la valoarea U_o la intrarea în sol, la valoarea U_f la capătul electroodului.

Unda de impuls normalizată are durata frontului $1,2 \mu s$. Cele mai frecvențe descărcări atmosferice au durate ale frontului undei sub $4...5 \mu s$.

Din acest motiv, calculele se vor efectua pentru durata frontului de $1,2...5 \mu s$ corespunzător unei solicitări de înaltă frecvență cu perioada $T = 4 t_f = 5...20 \mu s$ respectiv frecvența

$$f = \frac{1}{T} = \frac{10^6}{5} = \frac{10^6}{20} = 200 \text{ kHz...} 50 \text{ kHz}$$

a) Conductanța spre sol a elementelor prizei (Rezistența de dispersie)

Pentru rezistența de dispersie a electrozilor orizontali în literatură se recomandă diferite relații de calcul

Margolin /2.37/ indică pentru banda la adâncimea t

$$R_b = \frac{\rho}{2\pi l} \ln \frac{l^2}{dt} \quad (2.38)$$

Pentru aceeași configurație Koch /2.28/ propune

$$R_b = \frac{\rho}{2\pi l} \left\{ \ln \frac{2l}{d} + \frac{1}{2} \ln \frac{\sqrt{(2t)^2 + \frac{l^2}{4}} + \frac{l}{2}}{\sqrt{(2t)^2 + \frac{l^2}{4}} - \frac{l}{2}} \right\} \quad (2.39)$$

Comitetul clectrotehnic italian indică relația:

$$R_b = \frac{\rho}{\pi l} \left\{ \ln \frac{2l}{\sqrt{dt}} - 1 \right\} \quad (2.40)$$

$\ln(2.28...2.40)$ - lungimea electroodului orizontal; d - diametrul electroodului; t - adâncimea de plantare; ρ - rezistivitatea solului.

Valorile rezistenței de dispersie specifice pe unitatea de lungime diferă între ele după lungimea prizei luată în calcule dar și după autorul considerat. În tabelul 2.5 se pot urmări valorile rezistențelor de dispersie specifice pentru lungimile de 1,10,100 și 200 m. calculate pentru prize orizontale cu diametrul de 20 mm, plantate la adâncimea de 1 m.

Pentru electrozii verticali relația de calcul a rezistenței este (2.41)

$$R_e = \frac{\rho}{2\pi l} \ln \frac{4l}{d} \quad (2.41)$$

l - fiind lungimea electroodului vertical, restul notațiilor fiind cunoscute. Rezistența de dispersie specifică pe unitatea de lungime R_e^* este dată de 2.42).

$$R_e^* = R_e \cdot 1 = \frac{\rho}{2\pi} \ln \frac{4l}{d} \quad (2.42)$$

In tabelul 4.2. se observă că în cazul prizeelor de întindere redusă (sub 10 m) valorile pentru R_e^* după Margolin și Koch, apropiate între ele, diferă substanțial de cele indicate de CEI, motiv pentru care, în calculele ulterioare se vor utiliza primele relații (2.38 și 2.39). Valorile specifice pentru rezistență de dispersie diferă mult în funcție de lungimea de calcul, datorită efectului de capăt al prizei, zonă în care conductia curentului se efectuează mai ușor.

Rezistență de dispersie specifică pentru electrozi orizontali

Nr. crt.	Autorul	Lungimea electroodului Mărimea consi- derată	1 m	10 m	100 m	200 m
1 Margolin /2.37/	R_b	0,62 Q	0,135 Q	0,021 Q	0,0115 Q	
	$R_b \cdot L = R_b^*$	0,62 Q	1,35 Q	2,1 Q	2,30 Q	
2 Koch /2.23/	R_b	0,765 Q	0,137 Q	0,021 Q	0,011 Q	
	$R_b \cdot L = R_b^*$	0,765 Q	1,37 Q	2,1 Q	2,30 Q	
3 CBT /2.39/	R_b	0,365 Q	0,127 Q	0,020 Q	0,011 Q	
	$R_b \cdot L = R_b^*$	0,365 Q	1,27 Q	2,00 Q	2,20 Q	

La prizele verticale cu diametrul echivalent $\delta = 0,4$ m și lungimi între 1...10 m (prize naturale) rezistența specifică liniară variază între 0,367 Q...0,725 Q. Pentru a putea face calculele cu mărimi specifice constante se va utiliza și în acest caz o schema echivalentă cu o rezistență concentrată la un capăt

Pentru benzile orizontale, schema echivalentă conține rezistențe concentrate la ambele capete. Echivalențele menționate conțin oarecare erori, dar reflectă corect caracterul real al fenomenelor. Interpretarea fizică a acestor echivalențe s-ar putea baza pe considerarea elementelor de priză, terminante cu emisfere metalice ce contribuie la dispersia curentilor în sol. Erroarea ce apare în privința linilor de cimp și a suprafățelor echipotențiale este după aprecierile făcute de Brandolini /2.27/ neimportantă.

Din punctul de vedere al rezistenței de dispersie considerând pentru prizele orizontale $R_b^* = 2,1$ Q/liniar pentru cele verticale $R_b^* = 0,725$ Q/liniar diferențele între valorile calculate cu relațiile /2.38/ și /2.41/ și cele aproximative cu schema autorului sunt prezentate în fig.2.21. Se observă că pentru prizele verticale de 1..10 m coincidența este foarte bună iar pentru cele orizontale cu lungimi peste 2m erorile sunt practic neglijabile.

Conductanța spre sol a elementelor prizelor se determină din relațiile $g_o^* = \frac{1}{R_b^*} / \text{s/m}/$; $g_v^* = \frac{1}{R_b^*} / \text{s/m}/$.

b) Rezistență electrozilor

Rezistența în curent alternativ de înaltă frecvență diferă substanțial față de cea în curent continuu, datorită efectului pelicular.

Pentru benzile de otel zincat 40 x 4 mm cel mai frecvent utilizat la construcția legăturilor între electrozi, zelor cu elemente în lanț, adâncimarea de patrundere a cimpului în metal (δ) rezultă cu constante g_o și g_v :

$$\delta = \frac{1}{[\pi f \mu G]^{1/2}} = 0,063...0,030 \text{ mm}$$

$d_o = 8 \text{ cm}$, $dv = 40 \text{ cm}$, $L = 1...$

200 m, $l = 1...10 \text{ m}$ unde:

$$f - \text{frecvența impulsului de descărcare } (50 \text{ kHz}...200 \text{ kHz})$$

$$\mu - \text{permeabilitatea otelului } (\mu = \mu_o \mu_r = 4\pi 10^{-7} \cdot 200 \text{ H/m})$$

δ - conductibilitatea otelului (10^7 s/m).

Rezistența în curent de înaltă frecvență devine

$$R_i^* = \frac{i}{\delta \cdot sif} = \frac{1}{10^7 \cdot 8.8 \cdot 10^{-3} \cdot [0,063 \text{ } 0,030] \cdot 10^{-3}} = 0,028...0,018 \text{ } \Omega$$

unde: sif - secțiunea corespunzătoare adâncimii de patrundere în otel (se determină din perimetru benzii înmulțit cu adâncirea de patrundere δ).

30

Pentru prizele naturale verticale, datorită dimensiunilor mari ale carcaselor de armătură și a apropiierilor relative între toroanele de armătură și axele etrierelor orizontale, secțiunea efectivă a electrodului se poate considera egală cu perimetrul carcaselor de armătură înmulțit cu adâncimea de pătrundere δ .

In acest caz, rezistența ohmică unitară a "electroodului" carcasă

$$r_{lc}^* = \frac{1}{\sigma \cdot s_{if}^c} = \frac{1}{10^7 \cdot 1,6(0,030 \dots 0,063) \cdot 10^{-3}} = 1 \dots 2 \text{ m}\Omega/\text{m}$$

La valoarea obținută pentru r^* trebuie adăugată într-un calcul exact al proceselor stabilizate, rezistența de pierderi în pămînt pe calea de întoarcere a circuitului spre infinit. După /2.39/ și /2.40/ aceasta are valoarea

$$r_2^* = \pi^2 f \cdot 10^{-7} \text{ }\Omega/\text{m} = 0,2 \dots 0,05 \text{ }\Omega/\text{m}$$

Acest factor nu este luat în considerare în cazul procesului tranzistoriu de descărcare /4.6/.

c) Inductivitatea benzilor orizontale și a electrozilor verticali.

După Kalantarov, inductivitatea liniară L a benzii de oțel zincat 20×1 mm, la curent de foarte înaltă frecvență se determină cu relația în care se neglijă inductivitatea internă.

$$L = L_e = \frac{\mu_0}{2\pi} \cdot \left\{ \ln \frac{2l}{g} - 1 \right\}$$

unde: g - distanța medie geometrică a perimetrelui benzii (m)

l - lungimea benzii (m)

μ_0 - permittivitatea solului, considerată egală cu cea a mediului via $(4\pi \cdot 10^{-7} \text{ Vs/A})$

Valorile specifice ale lui $L^* = \frac{L}{l}$ variază în funcție de lungimea în care se referă calculele.

Pentru lungimi între $10 \dots 100$ m L^* variază între $1,36 \mu\text{H}/\text{m}$ și $1,78 \mu\text{H}/\text{m}$.

Considerind electrozi rotunzi (raza $r_o = 7$ mm) se obține pentru $l=10 \dots 100$ m (Secțiunea echivalentă cu a benzii de 400×4 mm)

$$L_1^* = 1,4 \dots 1,87 \mu\text{H}/\text{m}$$

După Mihailov /2.39/ considerând de asemenea inductivitatea internă nula ca urmare a efectului pelicular, pentru conducte lungi

$$L_1^* = L_e = 2 \ln \frac{2 \cdot 1,85}{d_o \cdot \left[\frac{4\pi \cdot 10^{-7}}{Q} \right]^{1/2}} \cdot 10^{-7} \text{ H/m}$$

d_o - fiind diametrul exterior al conductei [m]

Q - rezistivitatea solului [$\Omega \cdot \text{m}$]

Pentru rezistivități ale solului între $50 \dots 500 \Omega \cdot \text{m}$ valoarea L_1^* variază între $1,66 \mu\text{H}/\text{m}$ și $1,90 \mu\text{H}/\text{m}$, L_1^* variază între $1,66 \mu\text{H}/\text{m}$ și $1,90 \mu\text{H}/\text{m}$.

Se poate remarcă și aici faptul că apar diferențe sensibile între valoriile de calcul indicate de diferite autori.

d) Capacitatea electrozilor față de sol

Acest element a fost mai puțin studiat în literatură. Valorile capacităților electrozilor față de pămînt variază mult cu natura și granulația elementelor de sol, cu umiditatea solului și cu dimensiunile electrodului. O importanță mare o au evident și modul de tratare al suprafeței metalice și presiunea exercitată de sol asupra electrodului.

Din cauza multitudinei acestor influențe și datorită dificultăților de efectuare a unor măsurări reproducibile, valoarea capacității specifice C^* a electrozilor față de sol s-a luat după datele din /2.41/

$$C^* = 40 \text{ pF/m} = 40 \cdot 10^{-12} \text{ F/m}$$

2.4.3. Variația impedanței prizelor în regim de impuls

Fiecare priză de pămînt solicitată la impuls poate fi deci reprezentată printr-un lanț de quadripoli cu constante liniare uniform repartizate, ca în fig.2.20. Tinând cont de faptul că parametrii de calcul indicați în literatură variază destul

37

de mult, calculele se vor efectua pe baza unei scheme echivalente cu parametrii $r_o = 2 \dots 40 \text{ m}\Omega/\text{m}$, $L_o = 1,5 \dots 2 \mu\text{H}/\text{m}$, $g_o = \frac{r_o}{\sigma} \dots \frac{1,5}{\sigma} \text{ s/m}$, $C_o = 40 \text{ pF/m}$.

Rezolvând, după metodele cunoscute lanțul de quadripoli /2.41/ se pot scrie următoarele relații cu notațiile din fig.2.20.

$$U_x = U_o \cdot \frac{\operatorname{ch} \varphi_x}{\operatorname{ch} \varphi l}; I_x = I_o \cdot \frac{\operatorname{sh} \varphi_x}{\operatorname{ch} \varphi L} \quad (2.41)$$

$$Z_o = \frac{U_o}{I_o} = Z_c \operatorname{cth} \varphi L \quad (2.42)$$

$$U_F = \frac{U_o}{\operatorname{ch} \varphi L} \quad (2.43)$$

În (2.41) ... (2.43) s-a notat, conform uzanțelor

$$Z_c = \sqrt{\frac{r_o + jwL_o}{c_o + jwC_o}} = \sqrt{\frac{r_o^2 + w^2 L_o^2}{c_o^2 + w^2 C_o^2}} \cdot e^{j\varphi_c}$$

$$\vartheta = \sqrt{(r_o + jwL_o)(c_o + jwC_o)} = \sqrt{(r_o^2 + w^2 L_o^2)(c_o^2 + w^2 C_o^2)} e^{j\varphi} = \alpha + j\beta$$

Pentru elementele din schema în domeniul frecvențelor de 50-200 kHz se poate considera $r_o \ll wL_o$ și $g_o \gg wC_o$. În acest caz Z_c și ϑ se pot obține din relațiile

$$Z_c = \sqrt{\frac{jwL_o}{c_o}}; \vartheta = \sqrt{jwL_o g_o}$$

Calculele se vor efectua însă cu valorile exacte ale mărimilor Z_c și ϑ . Dezvoltând în serie $\operatorname{ch} \varphi L$ și $\operatorname{sh} \varphi L$ sau obținut valorile

$$\frac{U_F}{U_o} = f_1(\vartheta, l, \omega) \text{ și } Z_e = f_2(\vartheta, L, \omega)$$

Calculele s-au executat la calculatorul IRIS - al ISPE București. Rezultatele principale ale calculelor s-au dat în fig.2.22.

Valorile calculate pentru /2/ și $\frac{U_F}{U_o}$ sunt valabile pentru cazul densităților de curent ce nu conduc la descărcări electrice în sol sub formă de scânteie.

Concluziile principale ce se pot trage din analiza rezultatelor calculului sunt următoarele:

- La frecvențele de 50 Hz și 300 Hz valorile pentru Z_c sunt identice cu cele obținute pentru cazul curentului continuu.

- La frecvențele finale 50-200 kHz apare o lungime limită de conductor peste care influența lungimii asupra impedanței devine negativă, cu creșterea lui l , îndeosebi de dispersie crește. Acest rezultat deosebit de important permite să se decida ca la construirea prizeelor pe pămînt de protecție împotriva supratensiunilor atmosferice să se utilizeze numai prize de mică extindere (sub 10 m pe orizontală la solul conductoare).

- Lungimea limită crește mult cu rezistivitatea solului după cum indică fig.2.22.

- Prizele naturale ale LEA și cîror lungime nu depășesc 5-6 m situate în soluri cu conductivitate normală ($\sigma \geq 50 \dots 100 \Omega^{-1}\text{m}$) pot fi considerate în toate cazurile elemente concentrate, calculul lor se poate face neglijîndu-se atenuarea tensiunii provocată de elementele liniare ale prizei ($\frac{U_F}{U_o} > 0,95$).

- Rezultatele obținute de autor cu metoda exactă, confirmă valorile lui Z_c obținute de Noack /2.42/ pe baza unui lanț de quadripoli din 5 elemente (pentru 200 kHz). Față de metoda numitului, cea a autorului este mai expeditive și mai simplă, permitînd în plus, obținerea valorilor atenuării pe electrozi prizei. Atenuarea de-a lungul electrozilor de priză, definită ca raport între

tensiunea la capătul electrodului și cea la începutul acestuia $\frac{U_F}{U_0}$ este neglijabilă pentru prizele sub 40 m lungime la frecvențe pînă la 300 Hz chiar în soluri foarte bune conductoare ($0,96$ la sol cu $\rho < 50 \Omega\text{m}$).

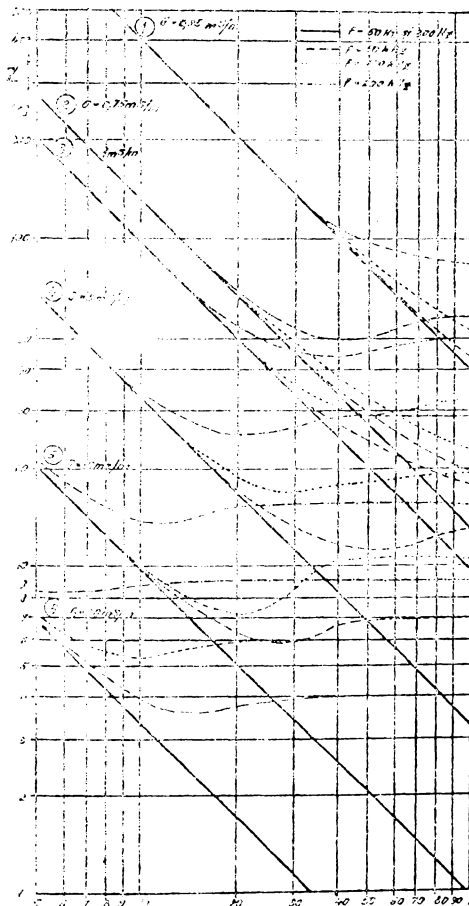


Fig.3.22. Variatia impedantei de disperzie a prizelor cu lungimea si frecventa la prizele orizontale si verticale

Bibliografie cap.2

- /2.1/ BURGSDORF,V.V. - Raschet zazemlenii v neodnorodnykh gruntah. In: Elektricestvo 75 nr.1, ian.1954, p.15-25.
- /2.2/ BURGSDORF,V.V. - Rasciot slojnih zazemlitelei v neodnorodnykh gruntah. In: Electrictestvo 85, nr.9, sept. 1964, p.7-14.
- /2.3/ EBIN,L.E. - Primenenie metoda navodennykh potentsialov pri rascete slojnih zazemlitelei v neodnorodnykh gruntah. In: Elektricestvo 85 nr.9 Sept. 1964, p.1-6.
- /2.4/ IACOBS,I.A. O metodah rasceta slojnih zazemliteleish paspolojennih v neodnorodnykh gruntah. In: Elektricestvo 88 nr.5 Mai 1967,p.24-26.
- /2.5/ IACOBS,I.A. - Rasciot slojnih zazemlitelei s pomoschiu ETVM. In: Elektricestvo 88 nr.2 aug.1967,p.21-28.
- /2.6/ ENDRENYI,I. - Evaluation of resistivity tests of design of stations grounds in nonuniform soil. In: I.E.E.E.Trans.P.A.S. 69, Dec.1963, p.966-970.
- /2.7/ LAURENT,P.G. - Les bases generales des mises a la terre. Bell.S.F.E. nr.7, iul.1957,p.367-402.
- /2.8/ LAURENT,P.G. - Guide pour le calcul, l'exécution et le mesurement des prises de terre. In: R.G.E. nr.8 aug.1972,p.453-467.
- /2.9/ BRANDOLINI,A. - Il calcolo di progetto di una messa a la terra. In: Elettrotecnica 52, nr.3, mart.1955.
- /2.10/ OSLON,A.V. Analiticheschi rasciot slojnih zazemlitelei. In: Elektricestvo 68, nr.2, febr.1962,p.30-33.
- /2.11/ OSLON,A.V. - Rasciot primolinenikh zazemlitelei v mnogosloinom grunte. In: Izvestia VUZ, nr.2, febr.1970, p.29-33.
- /2.12/ SATTKE,R. - Berechnung von Maschenerden in inhomogenem Erdreich. In: Energie - Technik 17, nr.1, ian.1967, p.22-27.
- /2.13/ FEIST,K.H. - Optimale Bemessung von Erdungsanlagen. In: STZ.(A) 87, nr.11, mai 1966, p.376-380.
- /2.14/ REABCOVA,E.I. - Vlijanie constructivnykh parametrov zazemlitelei na ik soprotivlenie. In: Electriceschie Stanzioni 38, nr.3, martie 1967, p.67-72.
- /2.15/ REABCOVA,G.I. Das stationäre Verhalten von Erdern in Hochspannungsanlagen. In: Energie technik 19, nr.3 martie 1969,p.128-130.
- /2.16/ VORONINA,A.A. - Napriajenia pricosnovenia i potencial slojnih zazemliteleish vodnorodnoi zemle. In: Elektricestvo, 90 nr.7 iul.1969,p.52-52.

- ³³
- /2.17/ VORONINA,A.A. - Soprotivlenie rastecanii slojnih zazemlitelei i napriajenia pricosnovenia v neodnorodnoi zemle . In: Elektricestvo 90 nr.8 aug. 1969, p.43-46.
- /2.18/ VORONINA,A.A. Soprotivlenie isticustvennih zazemlitelei opor linii elektro - peredaci v neodnorodnoi zemle. In: Elektricestvo 91 nr.10 oct.1970, p.58-62
- /2.19/ ARAKELIAN,A.M. Raschet soprotivlenia koltsevih electrodov raspolojennih v neodnorodnoi srede. In: Elektricestvo, 91, nr.10 oct.1970, p.52-57.
- /2.20/ IACOBS,A.I. Statistschii metod rasceta slojnih zazemlitelei v neodnorodnkh electriceschih structurah. In: Elektricestvo, 90, nr.4, apr.1969,p.49-54.
- /2.21/ IACOBS,A.I. Opredelenie udelnovo soprotivleniya gruntov pri soorujenii zazemliaiuchikh ustroistv. In: Elektriceschie Stantii 36 nr.8, aug.1965, p.54-59.
- /2.22/ MULLER,R. Geoelectrische Messungen, eine neue Methode zur Bestimmung der Erdwiderstandes. In: Elektropraktiker 18, nr.6 iun.1964, p.183-191, nr.7, iul.1964, p.243-248.
- /2.23/ ILLNER,G. Geoelektrische Messungen als Grundlage zur Projectierung von Erdungsanlagen. In: Energietechnik, 14 nr.4, apr.1964 p.161-165
- /2.24/ GOIA,L. Metode moderne de determinare a rezistivitatii straturilor de sol. In: Energetica 19 nr.5 mai 1968, p.215-218
- /2.25/ SCHNEIDER,D. Geoelectrische Messverfahren. In: Energietechnik 17 nr.1 ian. 1967 p.3-7
- /2.26/ KAMPFHENKEL,K. Neuberechnete und uberarbeitete zweischicht und Hilfspunkte kurven zur Avswertung geoelektrischer Sondierung. In: Energie technik 18 nr.1 ian.1968, p.18-22
- /2.27/ BRANDOLINI,A. Misure di rezistivi ta in terreno non omogeneo prove su modello. In: Elettrotechnica 60 nr.5 Mai, 1973 p.301-310.
- /2.28/ KOCH,W. Erdungen für Weschselstromanlagen über 1 kV. Berlin, Springer Verlag 1961. ed.III.
- /2.29/ CHVATAL,J. Merni odpory pudy a jeho mereni. In: Energetica 20 nr.6 ian.1970 p.256-270.
- /2.30/ RUDEMBERG,R. Procese tranzitorii in sistemele electroenergetice. Bucureşti, Editura tehnica 1957. Traducere din limba engleză.
- /2.31/ PAVEL,E. Cercetări experimentale privind comportarea in exploatare a prizelor de pămînt. In: Energetica XIII. nr.3, mart.1965. p.101-112.
- /2.32/ DOLGOV,S.I. Issledovanie zavisimosti, udelnih electriceschih soprotivlenii pociv i gruntov ot vladnosti i temperaturi. In: Vestnik Selisko - hoziaistvennoi nauki. nr.2, febr,1964, p.129-136.
- /2.33/IACUBOVSKI,I.E. Elektrorazvedka. Moscova. Ed.Nedra. 1964.
- /2.34/ MIHAILOV,M.I. Zazemliaiuscie ustroistva v ustanovkah elektrosviazi. Moscova. Ed.Sviazi 1971.
- /2.35/ RAHMINOV,K.R. O teplovom rascete rabochih zazemlitelei. In: Electricestvo 89, nr.10 oct.1969, p.23-26.
- /2.36/ RAHIMOV,K.R. O termicescoi ustaicivosti zazemliaiuscich ustroistv. In: Electricestvo 91 nr.10 oct.1971, p.75-77.
- /2.37/ MARGOLIN,W.I. Toki v zemle. Gosenergoizdat. Moskva.1953.
- /2.38/ RIELLO,G. Impianti di mesa a la terra in basa tensione. Udine Del Bianco 1963.
- /2.39/ MIHAILOV,M.I. Electriceschie parametri podzemnih metaliceschih truboprovodov. Electricestvo 84 nr.5 mai 1963, p.60-65.
- /2.40/ OEDING,D. Erdung von Hochspannungsfreileitungmasten. In BBC Nachrichten 44 nr.10 oct.1962 p.367-394.
- /2.41/ SORA,C. Cuadripolul electric. Editura tehnica, Bucureşti 1963.
- /2.42/ NOACK,F. Berechnung des Wirk samen Widerstand Langestreckter in vertical geschichten Böden. In: Elektric, R.D.G. nr.5 mai 1968 p.189-191.
- /2.43/ SUFRIM,M. Construcția și exploatarea instalațiilor de legare la pămînt. Bucureşti, Editura tehnica 1970.

3. PRIZELE DE PAMINT NATURALE IN RETELELE ELECTRICE

3.1. CALCULUL PRIZEZILOR DE PAMINT NATURALE

3.1.1. Date generale

In cele ce urmează se vor studia prizele de pămînt naturale ale liniilor electrice aeriene (LEA) de înaltă tensiune (IT), medie tensiune (MT) și joasă tensiune (JT), acestea fiind elemente ce contribuie în mod esențial la reducerea costului execuției liniilor electrice.

Calculul prizeelor naturale se efectuează pe baza concluziilor din literatură /3.1, 3.2, 3.3/ dar luându-se în considerare rezultatele confirmate practic în multiple probe efectuate de autor /3.5/.

Principalele indicații din literatură, confirmate de studiile IRME sunt următoarele:

- Betonul uscat este izolant. Rezistivitatea sa depinde de compoziție și variază între $4,4 \dots 60 \cdot 10^4 \Omega \cdot m$. Străbătut de curenti de mare intensitate, el se distrugă devenind sfărâmicios.

- Betonul armat folosit ca electrod, fiind îngropat în sol care are întotdeauna o oarecare umiditate la adâncimea de fundare, absoarbe rapid prin capilaritate umiditatea, devenind astfel conductor.

Variatia rezistivitatii betonului cu umiditatea este prezentata în fig.3.1 /3.3/ iar curba de umezire a betonului în funcție de timpul de ședere în sol în fig.3.2. /3.6/.

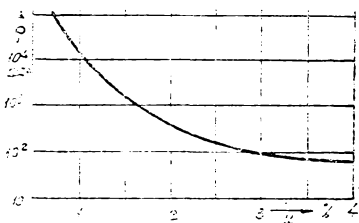


Fig.3.1. Variatia rezistivitatii betonului cu umiditatea

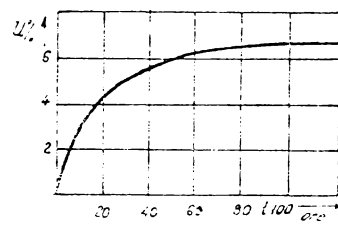


Fig.3.2. Umezirea betonului în funcție de timpul de ședere în sol

- Stratul de beton exterior armăturii, între electroziile de armături și sol poate fi considerat ca având proprietăți identice cu solul înconjurător, betonul primind acestația conținut de umiditate și săruri ca pămîntul învecinat. Eroarea ce se face cu acest priză este neglijabilă /4-5/, /3.1/. Alți autori indică faptul că stratul de beton exterior se echivalizează cu o majorare a rezistenței prizei naturale cu 20-30%, /3.4/, /3.5/. Rezultatele obținute de IRME /3.5/, confirmă indicația din /3.1/ care se consideră deci valabilă.

- În scopul calculului a rezistenței de dispersie și a tensiunilor accidentale din zona prizei naturale, stării sau fundațiile armate se înlocuiesc cu electrozi metalici continui cu dimensiuni egale cu cele ale carcaselor de armătura /3.1/. Aceasta afirmație se justifică prin gradul înalt de umplere cu metal a sarcinii de armături (etriere orizontale, torzane verticale, legături de agilizare, ...), și a fost confirmată pe deplin de rezultatele obținute la măsurările în cadrul elaborării și în "situ" efectuate de autor.

Pe baza acestor aproximări, calculul prizeelor naturale se simplifică în mod considerabil, astfel împotriva să se sublinieze că această concluzie rămâne valabilă numai în ceea ce privind aspectele macroscopice, la o distanță de 20-30 cm de fundație. În varioasele probe efectuate, cîmpul real nu poate fi calculat pe baza acestor considerații simplificării.

- Fundațiile de beton normal (monolit) cu grosimi mari a betonului nu condensă probele curenților electrici (eroziunea betonului peste 10-20 cm).

Această mențiune din literatură a fost confirmată de multe probe efectuate de autor în rezoluție, acuzând o consideră valabilă doar în cazul fundațiilor monolitice și soliștilor de beton armat și DSA 110 KV.

În prezentul capitol se analizează comportarea prizeelor naturale la solicitările de frecvență industrială și impuls. Studiul se referă la următoarele tipuri de instalații:

- Stilpii LEA - MT și JT - prizele naturale ale stilpii de beton vibrat sau centrifugat în fundație burată (alternanță de pămînt cu piatră).
- Stilpii metalici ai IT simplu și dublu circuit 110 kV - Fundații armate tip pilot - S_n 110/102 A - pentru stilpi de susținere
- Stilpii de beton ai LEA 110 kV - Fundații nearmate tip forat injectat pentru stilpi de susținere.
- Stilpii metalici ai LEA 220 kV - Fundații armate tip pilot sau tip ciuperca pentru stilpi de susținere tip S_n 220/202 A.

Fundațile stilpii speciali (de întindere, colț, transpoziție etc), având dimensiuni mai mari și fiind armate mai puternic vor suporta în orice caz mai bine solicitările de exploatare.

Precizând elementele de calcul ale acestor prize naturale se poate stabili domeniul de aplicare, posibilitățile de utilizare la construcția instalațiilor de legare la pămînt precum și eficacitatea lor economică.

Pentru calcule se va ține seama de rezultatele sondajelor geoelectrice prezentate în cap.2, studiul extinzindu-se asupra solului omogen și a casului și două straturi orizontale. Față de adâncimea obisnuită la care apare în practică stratificarea ($n=0,5 \dots 1,5$ m v. conf. fig.2.11), prizele naturale studiate ($n=1,3 \dots 4$ m) traversează întotdeauna limita între cele două straturi fiind cuprinse atât în stratul superior (de la suprafața solului) cît și în cel inferior (fig.3.3). Pentru calcul, se vor utiliza relațiile de calcul (2.3.a), (2.3.b), (2.5) obținute în cap.2 după Burgsdorf sau după metoda reflexiilor multiple.

3.1.2. Prize singulare

Tensiuni de atingere în pas. Distribuția potentialului
Prizele naturale ale elementelor menționate sunt prezentate principial în fig.3.3, se observă că ele pot fi assimilate cu electrozi metalici verticali având lungimea mult mai mare ca diagonala secțiunii transversale ($d \ll L$). Se menționează încă odată că această considerație este figurașă numai referitor la valorile potentialului la distanță de suprafața fundației și la valorile rezistenței prizei. În imediata vecinătate a electrodului, distribuția potentialului pe sol este evident influențată de geometria secțiunii verticale a electrodului de priză, având valorile diferite pe direcții.

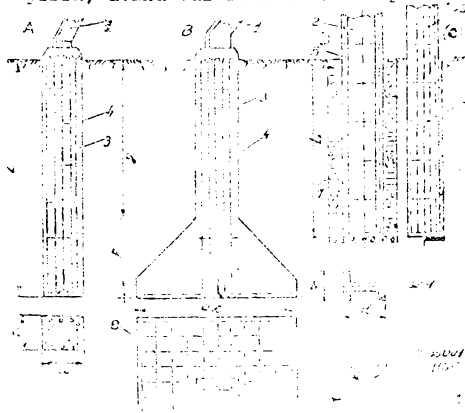


Fig.3.3. Prize naturale singulare

A - fundație armată tip pilot (1 picior),
B - fundație tip ciuperca (1 picior)
C - fundație forată - injectată. D - fundație burată.

1 - picior de stilp metalic. 2 - stilp de beton. 3 - armături verticale (toroane din oțel Ø 8...12 mm). 4 - etiere de consolidare Ø 4...8 mm. 5 - toroane pretensionate SWP 5 x Ø 3 mm. 6 - mortar ciment injectat. 7 - fundație burată (pămînt și piatră alternativ). 8 - plasă metalică de bază în fundație. 9 - radier beton.

Model de soluție	ρ	a	b	c	d	e	f
1 - fundație armată tip pilot	$\rho = 1000 \Omega \cdot m$	$a = 1000$	$b = 1000$	$c = 1000$	$d = 1000$	$e = 1000$	$f = 1000$
2 - fundație tip ciuperca	$\rho = 1000 \Omega \cdot m$	$a = 1000$	$b = 1000$	$c = 1000$	$d = 1000$	$e = 1000$	$f = 1000$
3 - fundație forată - injectată	$\rho = 1000 \Omega \cdot m$	$a = 1000$	$b = 1000$	$c = 1000$	$d = 1000$	$e = 1000$	$f = 1000$
4 - fundație burată	$\rho = 1000 \Omega \cdot m$	$a = 1000$	$b = 1000$	$c = 1000$	$d = 1000$	$e = 1000$	$f = 1000$

$$V_{M_1} = \sum_{z=0}^{\infty} \frac{a_1 \varphi_i}{4 \pi} \left\{ \frac{1}{\sqrt{r^2 + z^2}} + \sum_{n=1}^{\infty} \frac{a_n}{\sqrt{r^2 + (z+2nh)^2}} + \right. \\ \left. + \frac{a_n \varphi_i}{\sqrt{r^2 + (z+2nh)^2}} \right\} \quad (3.1.1)$$

Potențialul produs de sursele M_1 , situate

36 În stratul 2 în acelaș punct M de la suprafața solului conform relației (2.3.b),

$$V_{M_2} = \int_{z=h}^L \frac{I \cdot \Omega_1 \cdot S_1}{4\pi} dI_2 \left\{ \frac{z}{\sqrt{r^2+z^2}} + \sum_{n=1}^{\infty} \frac{K^n}{\sqrt{r^2+(z-2nh)^2}} + \frac{K^n}{\sqrt{r^2+(z+2nh)^2}} \right\} \quad (3.2)$$

Considerind pentru calculul rezistențării curentului distribuit pe lungimea electrodului în strat proporțional cu conductivitatea stratului și notând

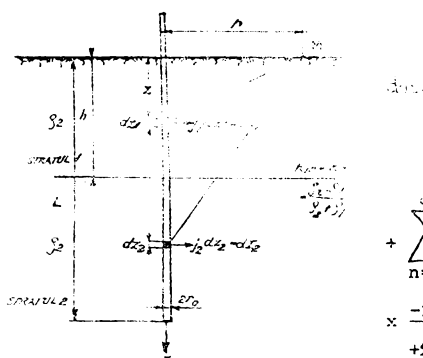


Fig.3.4. Electrod vertical
în sol cu două straturi

$$\begin{aligned} & \text{deci, ecuațiilor se obține:} \\ & \frac{I \cdot \Omega_1 \cdot S_1}{4\pi L} \cdot \ln \frac{r}{\sqrt{r^2+L^2}} + \sum_{n=1}^{\infty} K^n \ln \frac{2nh+L+\sqrt{r^2+(2nh+L)^2}}{2(n-1)h+L+\sqrt{r^2+(2n-1)h+L}} \\ & \times \frac{-2(n-1)h+L+\sqrt{r^2+[2(n-1)h+L]^2}}{2(n-1)h+L+\sqrt{r^2+[2(n-1)h+L]^2}} \end{aligned} \quad (3.3)$$

După cîteva transformări:

$$V_M = \frac{I \cdot \Omega_1 \cdot S_1}{2\pi L} \left\{ \ln \frac{\sqrt{r^2+L^2}+L}{r} + \sum_{n=1}^{\infty} K^n \ln \frac{2nh+L+\sqrt{r^2+(2nh+L)^2}}{2(n-1)h+L+\sqrt{r^2+(2n-1)h+L}} \right\} \quad (3.4)$$

Tensiunea de atingere a electrodului simplu se obține din relația:

$$V_{AT} = V_O - V_M = \frac{I \cdot \Omega_1 \cdot S_1}{2\pi L} \left\{ \ln \frac{2L}{r_O} + \sum_{n=1}^{\infty} K^n \ln \frac{2nh+L+\sqrt{r^2+(2nh+L)^2}}{2(n-1)h+L+\sqrt{r^2+(2n-1)h+L}} \times \right. \\ \left. \times \frac{2(n-1)h+L+\sqrt{r^2+[2(n-1)h+L]^2}}{2nh+L+\sqrt{r^2+(2nh+L)^2}} \right\} \quad (3.4.a)$$

Tensiunea de pas (p = lungimea pasului)

$$V_{PAS} = V_M^p - V_M = \frac{I \cdot \Omega_1 \cdot S_1}{2\pi L} \left\{ \ln \frac{\sqrt{r^2+L^2}+L}{r[\sqrt{L^2+r^2}]} + \sum_{n=1}^{\infty} K^n \ln \frac{2nh+L+\sqrt{r^2+(2nh+L)^2}}{2(n-1)h+L+\sqrt{r^2+(2n-1)h+L}} \times \right. \\ \left. \times \frac{(2n-2)h+L+\sqrt{(r+p)^2+(2n-2)h+L}}{2nh+L+\sqrt{(r+p)^2+(2nh+L)^2}} \right\} \quad (3.4.b)$$

Pentru cazul solului omogen $\Sigma_2 = \Sigma_1 = \Sigma$; $K=1$ (se notează V_M^{HOM})

$$V_M^{HOM} = \frac{I \cdot \Omega_1}{4\pi L} \ln \frac{\sqrt{r^2+L^2}+L}{\sqrt{r^2+L^2}-L} = \frac{I \cdot \Omega_1}{2\pi L} \ln \frac{L+\sqrt{r^2+L^2}}{r} \quad (3.4.c)$$

$$V_{AT}^{HOM} = \left| V_M^{HOM} \right|_{r_o} - \left| V_M^{HOM} \right|_x = \frac{I \cdot \Omega}{2\pi L} \ln \frac{2Lr}{r_o(L + \sqrt{r^2 + L^2})} \quad (3.4.d)$$

$$V_{PAS}^{HOM} = \left| V_M^{HOM} \right|_x - \left| V_M^{HOM} \right|_{r+p} = \frac{I \cdot \Omega}{2\pi L} \ln \frac{x+p}{r} \cdot \frac{\sqrt{r^2 + L^2} + L}{\sqrt{(x+p)^2 + L^2} + L} \quad (3.4.c)$$

Raportind aceste valori la tensiunea pe priză $U_p = U_M^{r_o}$ se obțin coeficienții de atingere și de pas. Raportind V_M la $V_M^{MAX} = V_M^{r_o} = U_p$ se obțin coeficienții K_x . Variatia coeficientului K_x pentru cazul prizei naturale simple a unui picior de stîlp metalic este prezentată în fig.3.5.

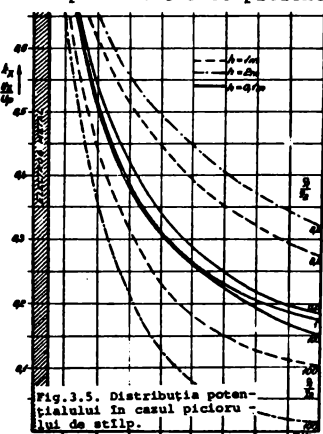


Fig. 3.5. Distribuția potențialului în cazul piciorului de stîlp.

In aceeași figură sunt indicate și valorile K_x pentru cazul solului neomogen, pentru comparație. Se poate remarcă o slabă influență a neomogenității solului asupra distribuției potențialului la prizele naturale verticale. In cazul solului omogen, K_x nu depinde de rezistivitatea solului. Explicația fizică a acestei slabe influențe rezidă în constatarea că în cazul stratului superior cu rezistivitate mai mare densitatea curentului este mai redusă și deci căderea de potențial în sol e mai mică, ajungîndu-se la compensarea influenței rezistivității. Valoarea rezistenței de dispersie a prizei naturale se obține din raportul $\frac{U_M}{I} |_{r=r_o}$. Efectuînd calculele și utilizînd notațiile cunoscute ($r_o \ll L$)

$$R = \frac{91}{2\pi L} \cdot \frac{1+K}{1+K(\frac{2h}{L}-1)} \left\{ \ln \frac{2L}{r_o} + \sum_{n=1}^{\infty} K^n \cdot \ln \frac{L+2nh}{L+2(n-1)h} \right\} \quad (3.5)$$

Aici r_o este raza echivalentă a electrodului. Pentru electrozi de secțiune patrată se poate considera $r_o = \frac{a}{2}$, a fiind latura patratului [2.43]

La electrozii cu secțiune dreptunghiulară $r_o = b$; b fiind latura maximă a dreptunghiului.

Se menționează că alți autori indică pentru r_o alte valori ($\frac{2a}{K}$) dar efectul acestor diferențe este neesențial r_o apărînd în relație sub logaritm (5% pentru electrozii obișnuîti).

Pentru cazul solului omogen cu $K = 0$; $\Omega_1 = \Omega_2 = \Omega$

$$R_{HOM} = \frac{\Omega}{2\pi L} \cdot \ln \frac{2L}{r_o} \quad (3.5.a.)$$

Se poate remarcă ușor faptul că rezistența R apare ca o sumă a doi termeni

$$R = R_H + R_{RF} = \frac{\Omega_1}{2\pi L} \cdot \frac{1+K}{1+K(\frac{2h}{L}-1)} \cdot \ln \frac{2L}{r_o} + \frac{\Omega_1(1+K)}{2\pi L \cdot \left\{ 1+K(\frac{2h}{L}-1) \right\}} \sum_{n=1}^{\infty} K^n \ln \frac{L+2nh}{L+2(n-1)h} \quad (3.5.b.)$$

R_H

R_{RF}

Acest rezultat se poate interpreta în modul următor. Rezistența de dispersie corespunzătoare solului neomogen R, este egală cu rezistența unei prize de aceleasi dimensiuni situată într-un sol omogen, la care se adaugă valoarea unei rezistențe suplimentare, rezultată din reflexii multiple succese la nivelul suprafeței de separație între straturi (analogie optică). Pentru exactitate se menționează că

valoarea R_H din (3.5.b) nu este identică cu R_{HOM} din (3.5.a).

Pentru lungimile obişnuite ale elementelor verticale de prize naturale, s-au calculat valorile următoarelor rapoarte

$$A = \frac{R}{R_{HOM}} ; \quad B = \frac{R}{\varphi_1}$$

Calculele s-au executat la calculatorul IRIS-50 al ISPE Bucureşti, în limbaj FORTRAN, pentru diferiți parametri ai straturilor de sol. Pentru a nu consuma ore multe la calculator, metoda iterativă aplicată s-a extins pînă la un n corespunzător unei precizii de 0,1% a rezultatului, cu totul corespunzătoare scopurilor lucrării.

Rezultatele obținute la calcule sunt prezentate în fig.3.6 și 3.7 (valoare raportelor A și B).

Trebuie subliniat că A s-a dat în figură ca medie a valorilor obținute pentru diferiți L între 1,5...4 m.

$$\text{Valoarea } B = \frac{R}{\varphi_1} = R^* \text{ pentru } \varphi_1 = \varphi_2 = \varphi \text{ poartă numele de rezistență geometrică a prizei și se definește ca valoare a rezistenței de dispersie pentru solul cu rezistivitate unitară. Ea poate fi considerată ca un factor de geometrie a prizei. Extinzînd nomenclatura la cazul solului neomogen, autorul definește valoarea } B \text{ drept rezistență de dispersie geometrică (rezistență prizei corespunzătoare solului cu stratul superior de rezistivitate unitară.}$$

Rezistența prizei se determină simplu din R^* cu relația $R = R^* \cdot \varphi$.

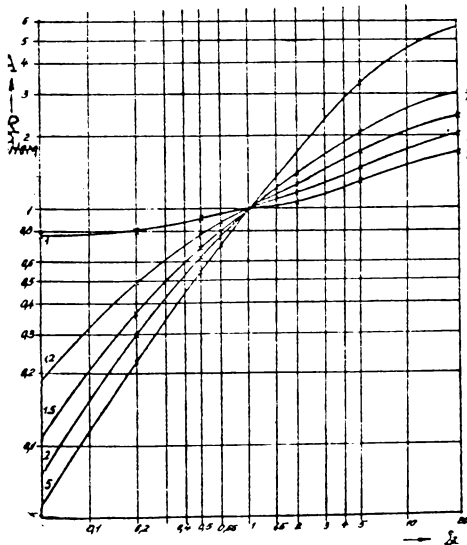


Fig.3.6. Variația rezistenței prizeelor naturale pentru diferiți parametri ai straturilor de sol

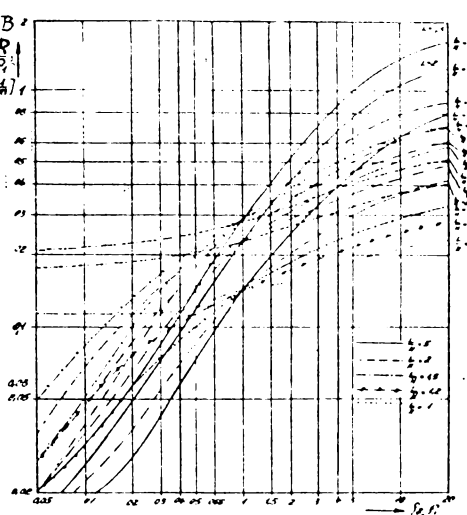


Fig. 3.7. Variația rezistenței geometrice a prizeelor R^*

Se remarcă influența importantă a neomogenității solului asupra rezistenței de dispersie geometrice și asupra rezistenței prizeelor naturale.

Valorile calculate ale rezistenței prizeelor obținute de autor sunt confirmate de rezultatele obținute prin modelare în cuvâ de Korsunțev (vezi cap.4) într-o publicație recentă.

Valorile pentru R din (3.5) calculate pentru dimensiunile carcasei de armătură vor fi amplificate conform celor menționate cu coeficientul $K_B = 1,25$ care

Z consideră influența betonului stîlpului. De asemenea cînd se utilizează fundațiile burate din straturi succesive de pămînt și piatră, pentru obținerea rezistenței practice de dispersie R_p , valorile de calcul se mai amplifică cu coeficientul de durare $K_{BUR} = 1,4...1,5^P/3.10/$

Pentru calcule practice simplificate Mihailov /3.10/ indică o relație aproximativă de determinare a rezistenței prizelor în sol cu două straturi orizontale.

$$R = \frac{1}{2\pi \left(\frac{h}{\rho_1} + \frac{\Sigma h}{\rho_2} \right)} \ln \frac{2L}{r_0} \quad (3.6)$$

notăriile fiind cele cunoscute. Valoarea lui R din (3.6) diferă de cea din (3.5) cu mai puțin de 3 % pentru $l/h < 6$ și cu mai puțin de 15 % pentru $l/h \geq 1,5$ /3.10/.

3.1.3. Prize complexe. Distribuția potențialului. Rezistențe de dispersie.

S-au considerat prize complexe, prizele naturale ale stîlpilor liniilor de înalță tensiune, formate în general prin așezarea în colțurile unui dreptunghi (patrat) a fundațiilor singulare de tipul celor prezентate în fig.3.3.

Datorită apropiierii lor, fundațiile singulare se ecranează reciproc și evident, distribuția potențialului și rezistența de dispersie nu se pot calcula pe baza datei referitoare la un singur picior de fundație.

Conform principiului suprapunerii efectelor, potențialul între-un punct M din zona celor patru picioare de fundație va fi dat de relația (3.7) iar tensiunea prizei de pămînt de relația (3.8).

$$V_M = \sum_{i=1}^4 V_M^i \quad (3.7.)$$

$$U_D = \left\{ V_i \right|_{r_i=r_0} = U_M^0 + U_M^{12} + U_M^{13} + U_M^{14} \quad (3.8.)$$

unde:

V_M^i - este potențialul produs de electrodul i în punctul M .

$r_i=r_0$ - este distanța a electrozilor verticali de priză ($r_0 \ll L$)

Pentru calcule se consideră distribuția curentelor prin picioarele de fundație, uniformă, datorită simetriei așezării lor. În cazul particular al așezării picioarelor fără benză de legătură în sol, curentul distribuit de un picior

$$I_1 = \frac{I_{TOT}}{4} .$$

În cazul solului omogen V_M^i are valoriile date în relația (3.4.c) iar în cazul solului neomogen, valoare din (3.4).

a) Solul omogen

Pentru început s-a luat în considerare cazul a 4 electrozi verticali de lungime $L=2,5$ m distanță intre ei la $4,5$ m avînd secțiune transversală circulară cu diametrul $d = 0,4$ m așezată în virfurile unui patrat. Legătura electrică între electrozi se realizează prin conducte situate în afara solului.

Pentru acest caz

$$V_M = \frac{I_1 \rho}{2\pi L} \cdot \frac{1}{4} \left\{ \ln \frac{\sqrt{r_1^2 + L^2}}{r_1} + \ln \frac{\sqrt{r_2^2 + L^2}}{r_2} + \ln \frac{\sqrt{r_3^2 + L^2}}{r_3} + \ln \frac{\sqrt{r_4^2 + L^2}}{r_4} \right\}$$

unde r_i - este distanța punctului M considerat la punctul electrodului i . Notînd $m_i = \frac{r_i}{L}$ se obține:

$$V_M = \frac{I_1 \rho}{8\pi L} \left\{ \ln \frac{\sqrt{m_1^2 + 1} + 1}{m_1} + \ln \frac{\sqrt{m_2^2 + 1} + 1}{m_2} + \ln \frac{\sqrt{m_3^2 + 1} + 1}{m_3} + \ln \frac{\sqrt{m_4^2 + 1} + 1}{m_4} \right\} \quad (3.9)$$

În fig.3.8 este prezentată distribuția potențialului în zonă electrozilor studiați, indicându-se și curbele echipotențiale pe suprafața solului. Distribuția

Distribuția potențialului Δx în jurul prizelor naturale ale stâlpilor
LCA 110 XV sol neomogen $\varphi_2 = 100 \text{ rad}$

Directie de mă- sură	Dis- tan- ța x/m	In lungul laturii				Pe diagonala			
		Adâncimea primului strat 0,1 m; 0,2 m; 0,5 m	Adâncimea primului strat 0,1 m	Adâncimea primului strat 0,2 m	Adâncimea primului strat 0,5 m	Adâncimea primului strat 1 m			
$\frac{1}{\sqrt{2}}$	0,5	0,839 0,835 0,822 0,794 0,710	0,830	0,826	0,813	0,785	0,698		
	1	0,664 0,657 0,633 0,583 0,423	0,644	0,638	0,614	0,563	0,399		
	2	0,476 0,468 0,441 0,380 0,174	0,454	0,446	0,420	0,360	0,153		
	3	0,369 0,362 0,337 0,280 0,076	0,351	0,344	0,320	0,265	0,065		
100	4	0,300 0,294 0,272 0,221 0,035	0,287	0,280	0,260	0,211	0,030		
	0,5	0,839 0,835 0,823 0,797 0,724	0,830	0,826	0,814	0,788	0,712		
	1	0,664 0,657 0,635 0,588 0,448	0,645	0,638	0,616	0,568	0,424		
20	2	0,476 0,469 0,443 0,386 0,204	0,454	0,447	0,422	0,365	0,183		
	3	0,369 0,362 0,339 0,285 0,104	0,351	0,345	0,322	0,270	0,092		
	4	0,300 0,294 0,273 0,226 0,060	0,287	0,281	0,261	0,215	0,053		
	0,5	0,839 0,835 0,823 0,797 0,724	0,830	0,826	0,814	0,788	0,712		
	1	0,664 0,657 0,635 0,588 0,448	0,645	0,638	0,616	0,568	0,424		
20	2	0,467 0,469 0,443 0,386 0,204	0,454	0,447	0,422	0,365	0,183		
	3	0,369 0,362 0,339 0,285 0,104	0,351	0,345	0,322	0,270	0,092		
	4	0,300 0,294 0,273 0,226 0,060	0,287	0,281	0,261	0,215	0,053		
	0,5	0,839 0,836 0,827 0,808 0,762	0,830	0,827	0,817	0,798	0,757		
	1	0,665 0,659 0,642 0,607 0,518	0,646	0,640	0,622	0,580	0,495		
20	2	0,477 0,471 0,450 0,407 0,289	0,455	0,449	0,428	0,386	0,267		
	3	0,370 0,365 0,345 0,304 0,184	0,353	0,347	0,328	0,288	0,170		
	4	0,301 0,296 0,279 0,242 0,130	0,288	0,283	0,266	0,230	0,121		
	0,5	0,840 0,837 0,830 0,816 0,785	0,831	0,828	0,821	0,806	0,774		
	1	0,666 0,661 0,647 0,621 0,560	0,647	0,642	0,628	0,601	0,539		
3	2	0,478 0,473 0,456 0,423 0,343	0,456	0,451	0,435	0,402	0,320		
	3	0,371 0,366 0,351 0,318 0,236	0,353	0,349	0,333	0,302	0,220		
	4	0,302 0,298 0,283 0,254 0,170	0,288	0,284	0,271	0,242	0,165		
	0,5	0,842 0,842 0,842 0,842 0,842	0,833	0,833	0,833	0,833	0,833		
	1	0,670 0,670 0,670 0,670 0,670	0,651	0,651	0,651	0,651	0,651		
1	2	0,483 0,483 0,483 0,483 0,483	0,462	0,461	0,461	0,461	0,461		
	3	0,376 0,376 0,376 0,376 0,376	0,358	0,358	0,358	0,358	0,358		
	4	0,306 0,306 0,306 0,306 0,306	0,292	0,292	0,292	0,292	0,292		
	0,5	0,849 0,854 0,866 0,878 0,891	0,840	0,845	0,857	0,870	0,884		
	1	0,682 0,692 0,714 0,740 0,767	0,663	0,673	0,696	0,722	0,751		
3	2	0,497 0,510 0,540 0,575 0,617	0,475	0,487	0,518	0,554	0,600		
	3	0,389 0,401 0,432 0,471 0,520	0,370	0,382	0,414	0,452	0,502		
	4	0,317 0,329 0,359 0,398 0,450	0,303	0,314	0,344	0,382	0,434		
	0,5	0,854 0,863 0,879 0,894 0,908	0,846	0,854	0,872	0,887	0,902		
	1	0,692 0,708 0,741 0,771 0,801	0,673	0,690	0,724	0,755	0,787		
1	2	0,510 0,531 0,577 0,621 0,668	0,487	0,510	0,555	0,601	0,650		
	3	0,400 0,422 0,471 0,522 0,578	0,322	0,404	0,452	0,504	0,561		
	4	0,328 0,349 0,397 0,450 0,510	0,314	0,334	0,382	0,435	0,496		

41
potențialului s-a calculat la calculatorul marca 4120 al CND, programarea lucrătură se în limbaj ALGOL. Rezultatele din fig.3.8. sunt rezentate în ceea ce urmă:

$$V_{\text{Max}} = U_p$$

Tensiunea U_p se obține făcând în (3.1) $r_c = r_0$ și notând distanța și între picioarele de fundație $r_{12} \dots r_{14}$:

$$U_p = \frac{I}{8\pi L} \cdot \left\{ \ln \frac{2L}{r_c} + \ln \frac{\sqrt{m_{12}^2 + 1} + 1}{m_{12}} + \ln \frac{\sqrt{m_{13}^2 + 1} + 1}{m_{13}} + \ln \frac{\sqrt{m_{14}^2 + 1} + 1}{m_{14}} \right\}$$

Pentru datele din fig.3.8., rezistența ansamblului de patru electrozi devine atunci $R_4 = 0,035 \Omega$. Rezistența de dispersie geometrică definită anterior are deci valoarea $R_4^* = 0,085 \left(\frac{1}{m} \right)$. Față de valoarea rezistenței unui singur electroz, calculată cu relația cunoscută (3.5.a) $R = 0,250 \left(\frac{1}{m} \right)$, se obține un coefficient ecranare sau utilizare C_u .

$$C_u = \frac{R^*}{4R_4^*} = 0,738$$

corespunzind cu datele din literatură /2.2/. Valoriile obținute confirmă corectitudinea calculului.

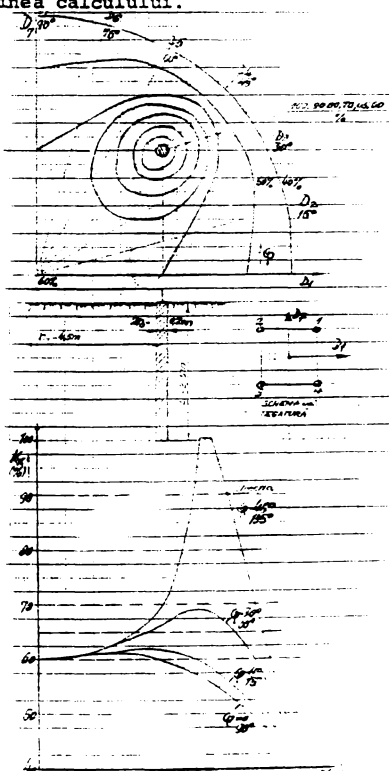


Fig.3.8. Distribuția potențialului - curbele ecopotențiale pentru priza naturală din 4 picioare de stâlp (E crenăță doar partea corespunzătoare 1 picior)

In general, valoarea coeficientului de utilizare C_u , ce se poate calcula din (3.10) și (3.5.a) depinde de raporturile m_{12} , m_{13} , m_{14} fiind cu atât mai aproape de 1 cu cât aceste valori sunt mai mari deci cu departarea între electrozi este mai mare.

b) Solul neomogen

In mod analog s-au executat calculuri pentru priza naturală a unei fundații de stâlp metalic de 110 kV - S_N 110-102 situată în sol neomogen. Tinând cont de dificultățile majore ale calculului serilor infinite din relațiile (3.4) și (3.7), în cazul solului neomogen nu s-au studiat curbele echipotențiale ci numai distribuția potențialului de-a lungul a două direcții.

Direcția I-a - diagonala patratului format de picioarele stâlpului

Direcția a II-a - de-a lungul unei laturi a patratului.

Unele din rezultate obținute la calcul sunt prezentate în tabelul 3.1.

3.2. COEFICIENTII DE IMPULS SI CURENȚII DE PROTECȚIE AI PRIZELOR NATURALE

3.2.1. Descurcarea electrică în sol

In regim de impuls, prizele de gămat se comportă diferit față de frecvența industrială. Principalele caracteristici ale regimului de impuls care contribuie la diferențierea în comportarea prizeelor sunt date de durata foarte mică a fenomenului (echivalentă cu o solicitare la frecvență foarte înaltă) de amplitudine importantă a curentului prin priză și de viteza deosebită de creștere a acestuia. Tinând cont de aceste elemente, riscul săptă la impuls a prizei F_4 se poate scrie

42

cea de la frecvență industrială R , apărind astăzi

coeficienți de impulz α_i

$$R_1 = \alpha_i \cdot R$$

Conform cercetărilor în special de natură experimentală întreprinse de E.A.Reabcova, A.I.Vainer și A.V.Korsunțev se consideră că prin creșterea tensiunii aplicate rezistivitatea solului scade /4.1/.

Dependența ϱ (E) reflectă un caracter neliniar al rezistivității solului în special în domeniul cimpurilor mari.

Scăderea mare a rezistivității este practic echivalentă cu mărarea dimensiunii electrozilor de priză. De acești factori trebuie să se țină seama la determinarea caracteristicilor de impuls a prizelor în general și a celor naturale în special.

La valori importante ale cimpului electric din sol $E_{sc} = 1,2 \dots 1,4 \text{ kV/cm}$ (tensiunea de scînteiere în sol), apar mici descărcări sub formă de scînteie. Acest fenomen conduce la o scădere importantă a căderii de tensiune în sol, în jurul electrozilor, ceea ce face ca în cazul unei densități constante a curentului rezistivitatea solului să se micșoreze deosebit de mult.

Se consideră pentru simplificare că neglijabil și în acest fel fenomenul se poate echivala cu o majorare a dimensiunilor electrozilor.

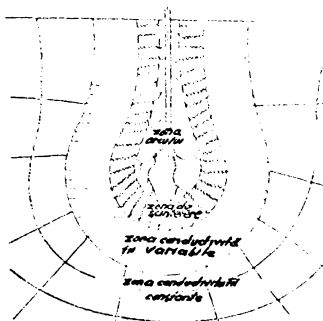


Fig.3.9. Caracterul proceselor din sol la curentii mari de impuls

La creșterea în continuare a tensiunii pe priză și cu o oarecare întârziere, descărcarea în scînteie se transformă în descărcare în arc, cu o rădăcintă deosebit de redusă ai potențialului în zona arcului.

Deoarece, gradienții în sol scad, de la valori maxime în apropierea electrozilor la valori minime la distanță de intrarea curentului, pentru curenti mari de impuls, în apropierea prizei apar zonele indicate în fig.4.5 și anume /3.11/:

- zona arcului
 - zona de scînteiere
 - zona conductivității variabile cu ..
 - zona conductivității constante cu E
- Scăderea rezistivității cu creșterea lui E constituie cauza scăderii coeficientului de impuls α_i . Deoarece $E = j \cdot \varrho$ la un curent de impuls dat, intensitatea cimpului electric, în sol crește cu ϱ , ceea ce face ca α_i să scadă în solurile rău conductoare. De asemenea, cu cît sunt mai mici dimensiunile liniare ale prizelor, cu atât densitatea curentului j este mai mare și coeficientul de impuls scade. Coeficientul α_i , scade

de asemenea cu creșterea curentului I.

La stabilirea parametrilor de impuls ai prizelor naturale se consideră conform celor stabilite în cap.2 că acestea au lungimi inferioare lungimii critice și în acest caz, calculele se pot efectua considerând $U_F = U_O$ (cap.2).

3.2.2. Coeficienți de impuls și curentii de protecție ai LEA 110-400 kV

Determinarea coeficienților de impuls ai prizelor naturale se face utilizând teoria similarității propusă de Korsunțev /3.12/. Aceasta introduce conform teoremei Π (Venicon) două criterii de similaritate Π_1 și Π_2 .

$$\Pi_1 = \frac{R_1 S}{\varrho} = \text{constant}; \quad \Pi_2 = \frac{1}{S^2 E_{str}} = \text{constant}$$

unde:

S - este o mărime caracteristică a prizei (lungime, diametru)

E_{str} - tensiunea de străpungere a solului. Restul notațiilor sunt cunoscute.

Utilizarea practică a acestor criterii de similaritate la calculul prizelor la impuls se face în modul următor.

In literatură sunt indicate valori ale coeficienților de impuls pentru anumite categorii de sol, anumite dimensiuni ale electrozilor și anumite valori ale curentilor de impuls. Aceste valori ale coeficienților de impuls sunt valabile și

Analiza altă rezultată din parametrile ...i, g... cu condiții π_1 și π_2 să se creeze constante. Se menționează că aceste criterii rămân valabile numai pentru cazul prizelor concentratoare /prizele naturale/ îndeplinind această condiție după cum se demonstrează în cap.2/.

Coefficienți de impuls ai prizelor de pămînt simple considerate ca electrozi verticali cu lungimile între 2...5 m care sunt calculati de autor se indică în fig.3.10 a și b. Pentru prizele învecinate coeficienții de impuls se determină pe baza coeficienților de ecranare reciproca ai elementelor vecine (coeficienții de utilizare α_u), amplificări cu coeficienții de impuls ai unui element.

Pentru calculul coeficienților de impuls ai unui element se consideră o repartiție practic uniformă a curentului de impuls prin elementele identice (picioare) ale stâlpului. Pentru a ține seama de neuniformitatea curentului prin elementele prizelor, coeficienții de impuls se majorează cu 3...15 % /3.7/.

Curenții de impuls de valoare ridicată distrug betonul prin explozie. Densitatea critică la care acest fenomen se poate petrece în cazul fundațiilor cu grosime redusă a betonului între armătura

și sol (3...3,5 cm) depășește $17,3 \text{ A/cm}^2$ /3.11/. În această situație prizele naturale studiate, supărând fără a se distruge, curenții de trăznăt mai mari decât cei măsurăti pînă în prezent (250 kA). Din acest punct de vedere prizele naturale au stabilitatea necesară la curenții de trăznăt, în toate condițiile.

Valorile curentilor de protecție cu LEA se pot determina pe baza rezistenței la impuls a prizelor. Rezistența la impuls a unei prize se determină din relația:

$$R_i = R \propto_i \frac{U_g \cdot \alpha_i}{I}$$

rezistență la impuls
a elementelor naturale

unde: R_g este rezistența geometrică a prizei.

Curenții de protecție se determină ca raport între tensiunea de ținere garantată a izolației și rezistența la impuls a prizei stâlpului. Trebuie menționat că se ia în considerare priza individuală a stâlpului fără a se considera influența stâlpilor vecini datorită efectului lui mare a filoului de gardă.

$$R_{pr} = \frac{U_{tinere}}{\frac{I_{impuls}}{R_i}} \quad (3.11)$$

Curenții de trăznăt mai mici ca cel de protecție nu conduc la conturarea inversă a izolației, la lovitură directă în stâlpul LEA. Curenții superiori celor de protecție conduc la conturarea inversă a izolației la solicitarea de impuls. Curențul de conturare conduce la apariția unui arc de frecvență industrială care provoacă în rețelele cu neutru legat la pămînt declanșarea liniilor.

Calculul curenților de protecție ai LEA s-a făcut prin încercări în modul următor.

Să considerăm un curent de trăznăt printre-un picior al stâlpului I_c^{KA} .

Nelu acordul se calculează coeficientul de impuls al prizei $\alpha_i(I_c, g)$. Din valorile rezistenței prizei se determină rezistența la impuls ($R_g \cdot g \cdot \alpha_i$) și se compară cu valoarea de protecție rezultat cu cel de plecare. Dacă există o bună coincidență sau $R_g > I_c^{KA}$ /adică "piciorul" calculul se consideră acoperitor. În caz contrar se alege un alt curent de trăznăt și se continuă calculul în modul indicat.

Danele obținute sunt prezentate în tabelul 3.2.

Există o corelație între intensitatea curenților de trăznăt și rezistivitatea solului (curenții de intensitate mai mare apar în zonele de șes, cu rezistivitatea solului sub 100Ωm, în solurile cu rezistivitate mare curenții de trăznăt provin din valori mici).

Tabelul 3.2.

Rezistențele la impuls și curentii de protecție ai prizelor naturale

Nr. rt.	Tipul stilpui- lui și tensiu- nea de tinere a izo- latiei	Rezistivita- tatea so- lului (Ωm)	Coeficient de im- puls de calcul (picior)		Rezistență de disper- sie geom- etrică R_g (1/m)	Rezisten- ță de im- puls (Ω)	Curent de protectie de calcul (kA)
			I_c (kA)	$\alpha_{imp.}$			
1	SVC, SVS 6-15-20 kV (125 kV max)	50	Sub 5 kA	0,9	0,45	20	sub 5 kA
		100		0,85		38	
		150		0,8		53	
		500		0,6		135	
2	S_n 110102 110 kV (550 kV ^{max})	50	20	0,70	0,150	5,2	100
		100	16	0,60		10,2	
		150	10	0,70		15,7	
		500	3	0,60		45,0	
3	SC 1165 FORAT 110 kV (550 kV) $h_z=3$ m	50	50	0,5	0,166	4,15	132
		100	45	0,5		8,30	
		150	45	0,45		11,2	
		500	20	0,25		20	
4	S_n 220202 220 kV 1050 kV ^{max}	50	50	0,6	0,100	3,0	350
		100	45	0,5		5,0	
		150	35	0,5		7,5	
		500	14	0,40		20,0	
5	PASS-400 400 kV 1400-1640 kV	50	100	0,60	0,08	2,4	600
		100	80	0,60		4,80	
		150	60	0,55		6,60	
		500	30	0,30		12,0	

După Dolghinov /3.11/ în zonele cu rezistivitate mare ($500 \Omega\text{m}$ și mai mult, în zone de munte) curentii de 20 kA sau mai mult apar numai în 15 - 16 % din cazuri.

Din acest punct de vedere se poate considera că în conformitate cu datele din tabelul 3.2. în retelele de 110 - 400 kV, prizele naturale asigură protecția împotriva supratensiunilor atmosferice practic în toate categoriile de teren.

În schimb prizele naturale din retelele de medie tensiune nu pot asigura nivelul de protecție împotriva conturării inverse (curentii de protecție sub 5 kA). Realizarea acestei condiții nu se poate face decât cu prize artificiale extreム de costisitoare (sub $2-3 \Omega$) și din acest motiv conturarea inversă la lovitură directă în stilpii de medie tensiune se consideră ca un risc acceptat mai cu seamă că ea nu este obișnuit urmată de declanșarea liniilor.

Se poate meniona că în orice caz, prizele naturale ale acestor stilpi corespund că protecție împotriva conturării la tensiunile induse la lovitură în elementele apropiate de linie la care curentii în stilpii de medie tensiune sunt mult mai mici ca cei din tabelul 3.2. .

3.3. UTILIZAREA PRACTICA A PRIZELOR NATURALE LA LEA PESTE 1 kV.

In prezentul capitol sunt analizate principalele probleme legate de aplicarea practică, în exploatare, a prizeelor naturale la liniile electrice aeriene peste 1 kV.

3.3.1. Stilpii de înaltă tensiune

a) Prizele stilpii metalici

Principalele probleme ridicate de utilizarea în exploatare a prizeelor naturale ale stilpii metalici de înaltă tensiune sunt următoarele:

- asigurarea continuității electrice între piciorul stîlpului metalic și solul înconjurător

- analizarea condițiilor de protecție împotriva tensiunilor accidentale de atingere și de pas în zona acestor prize.

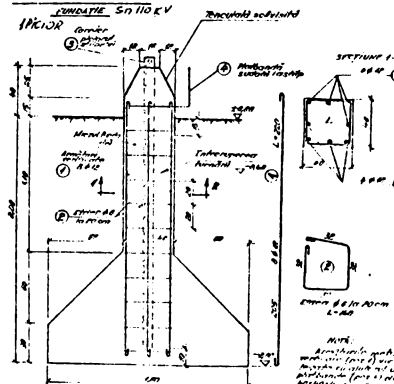


Fig. 3.11. Legarea armăturilor fundației la stîlp.

- verificarea stabilității termice a acestor prize naturale

Asigurarea continuității electrice

Prinul deziderat se poate respecta executindu-se o legătură metalică sigură prin sudură între piciorul stîlpului metalic (otel cornier) și armăturile de fundație (otel beton) fig. 3.11. Nerespectarea acestei cerințe poate pune sub semnul incertitudinii utilizarea prizei naturale putând conduce la mari neplăceri în exploatare (o solicitare importantă a micului fundației în care aparține o densitate excesivă de curent: $(2-4 \text{ A/cm}^2)$ ce poate conduce la pierderea stabilității acestuia).

Suntarea miezului de beton al fundației cu o legătură metalică exclude acest pericol limitând solicitarea la stratul subțire de beton dintre armătură și sol, (densitate mult mai mică a curențului în această zonă).

Obligatoriatca realizării practice a acestei legături propusă de autor în 1969, este insusită de M.E.E. și stipulată în instrucțiunea PE-121/70 I.S.P.E.București.

Confirmarea practică a necesității obiective a legăturii metalice picior-armătură a rezutat și în cadrul unor probe efective de scurtcircuit în sistem. Probele menționate au fost efectuate pe LEA 110 kV Borzești-Galați în zona Focșani (IRE Galați), LEA 110 kV Slatina-Drăgușeni Olt lîngă stația Slatina (IRE Pițesti) și pe LEA 110 kV Solex - Tămădiu, în apropierea stației Solex (IRE București).

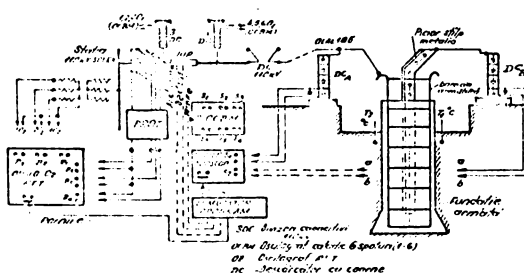


Fig. 3.12. Schema de principiu a înregistrărilor St. Solex

Schema de principiu a înregistrărilor efectuate în cadrul probelor este prezentată în fig. 3.12.

Curentul de scurtcircuit s-a introdus în armăturile metalice ale fundației, nlegate metalic cu armătura piciorului de stîlp. La apariția tensiunii pe barele de armătură, pe piciorul metalic al stîlpului, apare aproximativ aceiași tensiune fie prin strâpungerea betonului (proba Focșani) fie prin conturarea acestuia (proba Solex și Slatina 1).

Această constatare confirmă faptul că prin legătura metalică stîlp-armătură otel beton se diminuează mult efortul termic, preluat de betonul prizei naturale.

Verificarea condițiilor de protecție împotriva accidentelor

Intrucăt după cum s-a văzut, calculul analitic al tensiunilor de atingere și pas și al rezistențelor de dispersie este deosebit de laborios mai ales pentru cazul fundațiilor armate tip ciupercă (cu talpă), pentru scopurile practice s-a utilizat modelarea în cuva electrolytică. Rezultatele practice obținute la măsurările în cuvă, confirmate de datele obținute la probele ulterioare în sistem sunt prezentate în cap. 4.

Pentru determinarea tensiunilor reale în caz de defect autorul utilizează relația:

$$U_{AT,PAS} = I^{ST} \cdot K_{AT,PAS} \cdot R_g^* \cdot S_L \quad (3.12)$$

unde:

I^{ST} - curentul de defect ce se închide prin picioarele stîlpului în sol

(20% I_{SC}^0 , restul se închide prin firul de gardă /2.40/).

$K_{AT,PAS}$ - valoarea coeficientului maxim de atingere sau pas

R_g - rezistență geometrică a stîlpului - egală cu rezistență de dispersie corespunzătoare solului cu rezistivitatea unitară.
 ρ_g - rezistivitatea medie a solului corespunzătoare adâncimii de fundare.
 Cu valoarea din cap.4 se obține pentru puterea plafon de scurtcircuit din sisteme (I_{scf}^{\max} = 12 kAeff)

$$I_{scf}^{\max} = 12 \cdot 10 \text{ kA}$$

Analiza rezultatelor arată că prizele naturale ale stîlpilor și fundațiilor, au coeficienți de pas inferiori celor de atingere.

Prizele naturale ale stîlpilor și ale fundațiilor acestora nu pot asigura condițiile de protecție împotriva atingerilor indirecte. De aceea, în zonele cu circulație frecventă ele trebuie completate cu prize artificiale corespunzătoare. Acest element neplăcut este compensat parțial de frecvența redusă a stîlpilor de ET din acesta zone.

Verificarea stabilității termice a prizelor naturale

Verificarea se face pentru regimul de scurtcircuit, pentru un timp al protecției de rezervă a liniei de 1 s. Curenții maximi de scurtcircuit ce pot fi suportați de armăturile metalice ale stîlpului, în contact cu betonul sănt calcațăt în tabelul 3.3.

Calculele s-au făcut pe baza relației (2.25) dedusă de autor în cap.2. Pentru calculul curențului de scurtcircuit monofazic s-a considerat că la un defect prin firul de gardă se închide 80% din curențul de scurtcircuit iar prin stîlp 20% (conform datelor din literatură) /2.20/.

Tabelul 3.3

Curenții maximi suportați de armăturile prizelor naturale

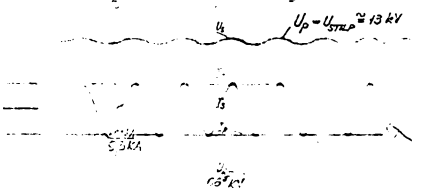
Resistență pătrată solului	Suprafața de contact cu betonul	I picior 1 p-ctori	Curentul admisibil pentru 1 picior de stîlp (kA)		Curent de scurt- circuit monofa- zic maxim (kA)	
			După autor	După literatură	110 kV	220 kV
100	0,83	1,2	1,95	2,86	1,3	1,9
100	0,83	1,2	1,37	2,1	0,91	1,4
200	0,63	1,2	1,05	1,58	0,70	1,05
300	0,83	1,2	0,78	1,17	0,52	0,78
					110 kV	220 kV

Se observă că armăturile metalice ale fundațiilor suportă solicitările maxime de curent ce apar în sistemul electroenergetic național ($I_{scf}^{\max} = 10 \text{ kA}$)

la rezistență de trecere nulă) practic în toate categoriile de sol.

Pentru a verifica modul cum suportă efectiv prizele naturale condițiile de solicitare s-au efectuat o serie de probe în sistem.

Proba din stația Solex. S-a introdus un curent mare $I_p = 6,6 \text{ kAeff}$ prin armătura fundației unui singur picior al unui stîlp metalic 110 kV al LEA Tămădău. Durata fenomenului $t = 0,25 \text{ s}$. S-a măsurat tensiunea pe armătură și tensiunea pe piciorul metalic al stîlpului, picior nelegat la armătură, care au fost găsite identice. Proba s-a repetat de două ori la interval scurt (durată totală 0,5 s). Fenomenul este prezentat în fig.3.13.



Din punct de vedere al efectului termic, solicitarea respectivă este echivalentă cu un scurtcircuit monofazic cu curent $I_{scf}^{\max} = 90 \text{ kAeff}$

Fig.3.13. Înregistrarea fenomenelor în cadrul probei Solex

47

considerind cele patru picioare și firul de gardă. Probele nu au condus la dete - riorarea armăturii și nici a betonului, deși solicitarea respectivă a fost atât de severă. Temperatura solului în vecinătatea fundației nu a depășit 50° (temperatura aerului era de 5°C).

Proba din stația Slatina III. S-a stabilit un curent de circa 880 A în priza naturală (armătura) unei fundații S_n 110102 A, construită special în acest scop. Proba a constat din patru etape succesive, durată totală fiind de circa 7 minute.

Cu ocazia probelor s-a constatat o evaporare intensă a apei din sol, uscarea pământului, încălzirea betonului, sgomote puternice de arc (fig. 3.14). Încălzirea pământului a făcut ca rezistența de dispersie să crească de la 8 la 21 ohmi dar după cîteva zile de la încheierea probei valoarea ei a redevenit de circa 9Ω . Betonul și armătura metalică a fundației și-au păstrat în totalitate integritatea.



Fig. 3.14. Aspecte din timpul probei din stația Slatina

Această probă confirmă faptul că betonul are o bună stabilitate termică, asigurarea stabilității armăturii conducând la păstrarea proprietăților mecanice ale acesteia.

b. Prizele stîlpilor de beton.

Problema principală ce trebuie rezolvată în acest caz este transformarea fundației monolită a stîlpilor în vederea obținerii unor proprietăți conductive, dat fiind faptul că aceasta nu conduce curent.

Pe altă parte, armătura proprie a stîlpului de beton reprezintă o priză naturală, ideală care ar putea fi utilizată cu succes (22 bare Ø16 din OL 38 + 5 inele consolidare Ø20 reprezentă o priză solidă și sigură).

Pentru a verifica dacă armătura proprie a stîlpului SC - 1164 fig. 3.15 are contact cu solul prin fundația de beton monolit, (caz constatat la stîlpii de MT) s-a imaginat o probă pe viu în sistem.

Proba a constat în aplicarea unei tensiuni importante (16 kV de la un scurtcircuit monofazic 110 kV) pe armătura stîlpului și verificarea curentului dispersat de aceasta în sol. Ea a avut loc pe LEA Buzău-Ploiești - racordat Mizil (fig. 3.16).

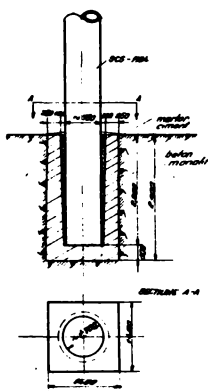


Fig. 3.15. Stîlp de beton SCS-1160-1164 fundație monolit

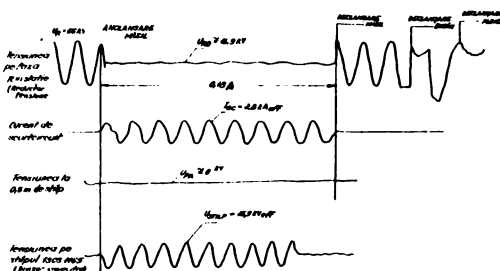


Fig. 3.16. Proba pe LEA Mizil scurtcircuit monofazic pe LEA Ploiești-Buzău

Concluzia principală obținută din înregistrările la această probă provine din constatarea că tensiunea la 0,5 m de stîlp este nulă deși tensiunea pe stîlp era 16 kV. Betonul fundației monolit prezintă deci calități practic izolante. Rezultă cu certitudine că nu se poate conta pe priza naturală a stîlpilor de beton de 110 kV montați în fundație de beton monolit.

Solutia optimă pentru remedierea acestui neajuns constă în utilizarea fundației forate (fig. 3.17).

Această soluție asigură un cost mai mic al liniei, fără a lăsa în considerare economia la construcția prizelor). După cum s-a arătat anterior priza naturală a fundațiilor forate asigură protecția LEA împotriva supratensiunilor atmosferice practic în toate zonele de sol.

- ale următoarelor măsurice ale mijloacelor foracă-injectateprobate de către ministrul apărării naționale din cadrul liniei de liniștire și dezvoltare din cadrul unei acțiuni naționale.
- + folosirea corespunzătoare a liniilor de cale ferată în cadrul unei linii de cale ferată de securitate;
 - + punerea în funcție a tramele de pământ artificiale la borduri și în zone nelouite;
 - + planificarea pe secură lărgirii la mecanizarea lucrărilor de consolidare a fundațiilor liniilor.

Prin urmare:

edică consilier

- medie tensiune din retetele cu neutrul nelegat la un rază de venit al rețelelor de m.t. din KER) și următoră considerare din punct de vedere al protecției măsuțelor electrice prin atingere indirectă și din protecția împotriva supratensiunilor atmosferice (datorită răspândirii și cercările de perfecționare și optimizare a liniilor de cale ferată la rezistență și la durată), cu următoarele rezultate corespondență cu rezistență și durată de funcționare mai mare și rezistență și durată de perfecționare și optimizare a liniilor de cale ferată de la liniile electrice mai scurte.
- În urma analizei și a sondajelor la rezistență și durată de funcționare au fost obținute următoarele date:
- rezistență și durată de funcționare la diferență de ordinul a 10 A și timp până la 2 ore;
- rezistență și durată de funcționare la diferență de ordinul a 10 A și timp până la 2 ore, la o liniă de cale ferată deosebit de protecție (curenti de lucru și de defect).

În cadrul liniilor de cale ferată:

- rezistență și durată de funcționare la diferență de ordinul a 10 A și timp până la 2 ore,
- rezistență și durată de funcționare la diferență de ordinul a 10 A și timp până la 2 ore,
- rezistență și durată de funcționare la diferență de ordinul a 10 A și timp până la 2 ore.
- rezistență și durată de funcționare la diferență de ordinul minuteelor) după Stătele Unite -
- rezistență și durată de funcționare la diferență de ordinul minuteelor) după Stătele Unite.
- Conform teoriei fizicii de la înaintea procesului stabilizat consumul energiei electrici de către măști și

$$I_{\text{med}} \sim 1,6 \sim 2,2 I_0 (\theta - \theta_c)$$

Volumul consumului pe primă liniă = 115 V, Koch /2.20/ indică timpul elă o rază de 1000 m și rezistență tehnică respectivă. Datele lui Koch de - sunt folosite pentru calculul (2.112, pentru casul S = tot indicată în coloana următoarea).

Se consideră sepoitor cu totă energie dissipată servește punctul de rezistență maximă conform calculelor autorului punctul rezistență și durată de funcție de rezistență și durată de funcție (în medie la $I=1,8 \dots 2$ A, $\theta_0 = 10 \dots 10,45^\circ$) și suprafața de lucru cu colț = $\approx 1,0 \text{ m}^2$, durată admisă de solicitare sănătate prezentată în următoarea tabelă 3.4.

Tabelul 3.4.

Dimensiile și solicitările maxime la scufările de la scufările MI

dimensiuni - suprafață maximă admisă	durata admisă la scufările MI pentru			
rezistență puncte solicitării	curenți de defect (după autor)			
rezistență puncte solicitării verticale	$I=20$			
$I_{\text{med}} = 100 \text{ m.A.} \text{ (min)}$	$I=100$			
după Koch	sec.			
	min.			
100	200	100	7,5	13
200	400	24	3,75	9
400	800	47	1,8	4,5
800	1200	91	1,25	?

Se observă că timpul admis la solicitările prizelor naturale este redus dar în completă concordanță cu datele experimentale ce s-au obținut la probele "în situ".

Pentru a urmări valabilitatea datelor de calcul s-au executat o serie de probe practice în sistem. Acestea au fost necesare și pentru a urmări condițiile de stabilitate termică a betonului.

Probile au constat în puneri simple la pămînt cu $I_p = 10 \dots 20 A$, corespunzător rețelelor compensate.

S-au executat de asemenea puneri la pămînt duble cu curenti sub limita de reglaj a protecției cît și defecte de acest tip de conecte de protecție.

In timpul probelor s-au urmărit și oscilografiat mărimile indicate în fig.3.18.

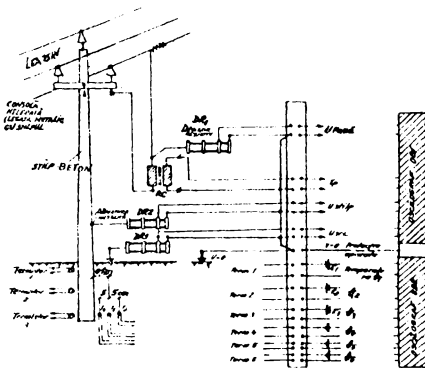


Fig.3.18. Schema montajului și mărimile înregistrate la probele asupra stîlpilor LEA de M.T.

voacă deteriorarea stîlpilor la bază prin topirea armăturilor sub nivelul solului. Fenomenul debutează după un timp scurt de la apariția dublei puneri la pămînt (dependent de rezistivitatea solului), conducind la topirea masivă a toroanelor de armătură, la vitrificarea betonului și a solului. Deteriorările sunt determinate de arcul electric ce apare în sol după pierderea umidității acestuia.

Fenomenul respectiv de distrugere se produce mai rapid la stîlpii cu armătură pretensionată dar s-a făcut simțit și la stîlpii vibrați sau centrifugati (la tempi de defect mai lungi).

Deteriorarea armăturilor în portiunea din sol, se poate petrece în soluri cu rezistivitate ridicată ($\varrho > 150 \dots 200 \Omega \cdot m$) și la puneri simple la pămînt cu curenti de $20 \dots 30 A$, dar numai după un timp foarte lung (2-7 ore). Fenomenul este de asemenea citat și în literatura de specialitate /3.13/.

- Pentru funcționarea în condiții sigure a rețelelor trebuie exclus din exploatare regimul de dublă punere la pămînt nedeconectată și trebuie limitată funcționarea cu simplă punere la pămînt în rețelele de MT necompensate. Se recomandă în acest sens extinderea utilizării în rețelele de MT a protecțiilor sensibile la duble puneri la pămînt - de tipul, de exemplu FRC - filtru releu de componentă inversă.

- Dublele puneri la pămînt deconectate de protecție ($t=1 \dots 3 s$) nu produc deteriorări stîlpilor de beton,

- Aspectul armăturilor stîlpilor în portiunea de contact direct cu solul indică faptul că se poate considera că betonul stîlpului își pierde umiditatea și se deterioră prin arc concomitant cu solul învecinat.

- În cadrul probelor efectuate s-a remarcat apariția fenomenelor neliniare, curentul de dublă punere la pămînt având o pronuntată armonică de ordinul 3. Fenomenul provine din caracterul neliniar al betonului și solului subliniat în cap.2.

Fenomenele principale observate în timpul probelor în sistem asupra acestor stîlpuri sunt prezentate în fig.3.19.

Concluziile principale obtinute în cadrul probelor "în situ" sunt următoarele:

- Stîlpii de beton ce nu au legătură metallică între armătura stîlpului și a consolării se deteriorăază în portiunea de imbinare a acestor elemente la curenti mici de punere la pămînt ($I_p < 10 A$) în timp foarte scurt (de ordinul minutelor).

La curenti mici de punere la pămînt, deteriorările sunt mascate deci cu atât mai periculoase. La curenti mai mari ($I_p > 20 A$) deteriorările sunt vizibile de pe sol. Din acest motiv, se impune obligativitatea asigurării unei legături metalice sigure între stîlp și consolă, deci a continuității metalice pe calea de trecere a curentului de la suportul izolatorului MT la pămînt.

Fenomenul de distrugere a stîlpului și consolii se produce cu predilecție la stîlpii de beton precompresat SE-1, datorită fuziunii mai rapide a oțelului SBP din care sunt confectionați acești stîlpuri.

- Curentii de dublă punere la pămînt nedeconectați de protecție (circa 100 A) pro-

- voacă deteriorarea stîlpilor la bază prin topirea armăturilor sub nivelul solului. Fenomenul debutează după un timp scurt de la apariția dublei puneri la pămînt (de-

pendent de rezistivitatea solului), conducind la topirea masivă a toroanelor de ar-

mitură, la vitrificarea betonului și a solului. Deteriorările sunt determinate de

arcul electric ce apare în sol după pierderea umidității acestuia.

Fenomenul respectiv de distrugere se produce mai rapid la stîlpii cu armă-

tură pretensionată dar s-a făcut simțit și la stîlpii vibrati sau centrifugati (la

tempi de defect mai lungi).

Deteriorarea armăturilor în portiunea din sol, se poate petrece în soluri cu rezistivitate ridicată ($\varrho > 150 \dots 200 \Omega \cdot m$) și la puneri simple la pămînt cu cure-

renti de $20 \dots 30 A$, dar numai după un timp foarte lung (2-7 ore). Fenomenul este

de asemenea citat și în literatura de specialitate /3.13/.

- Pentru funcționarea în condiții sigure a rețelelor trebuie exclus din exploatare regimul de dublă punere la pămînt nedeconectată și trebuie limitată funcționarea cu simplă punere la pămînt în rețelele de MT necompensate. Se recomandă în acest sens extinderea utilizării în rețelele de MT a protecțiilor sensibile la duble puneri la pămînt - de tipul, de exemplu FRC - filtru releu de componentă inversă.

- Dublele puneri la pămînt deconectate de protecție ($t=1 \dots 3 s$) nu produc deteriorări stîlpilor de beton,

- Aspectul armăturilor stîlpilor în portiunea de contact direct cu solul indică faptul că se poate considera că betonul stîlpului își pierde umiditatea și se deterioră prin arc concomitant cu solul învecinat.

- În cadrul probelor efectuate s-a remarcat apariția fenomenelor neliniare, curentul de dublă punere la pămînt având o pronuntată armonică de ordinul 3. Fenomenul provine din caracterul neliniar al betonului și solului subliniat în cap.2.

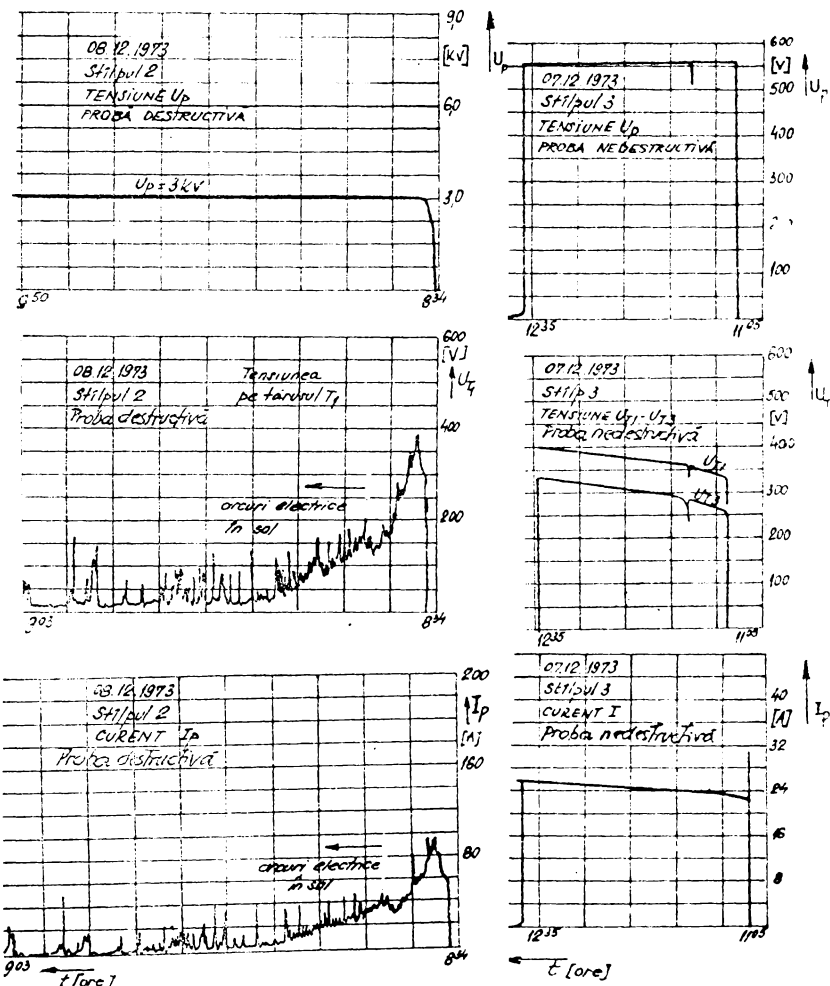
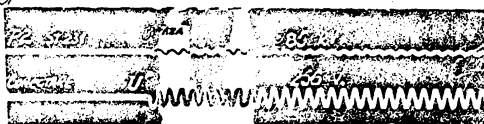
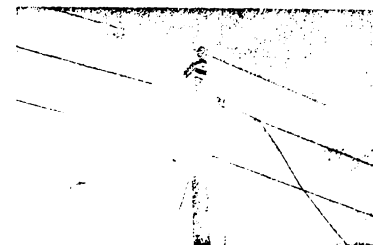
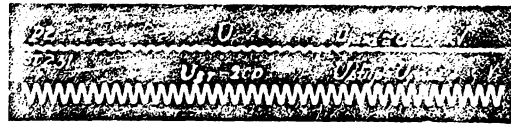


Fig.3.19.a. Înregistrările curentilor și tensiunilor la stilpii cu legătură C-S. Proba nedestructivă $I = 24 \text{ A}$. Proba destrucțivă $I_2 = 120 \text{ A}$. Se observă apariția arcului electric în sol.



b) Înregistrarea tensiunii pe consola
și priza la stîlpul fără legătură
C-S la simpla punere la pămînt.

Aceiași probă după circa 3 secunde de
la punerea la pămînt



c) Arcul de punere simplă la pămînt
 $I=20\text{ A}$ la stîlpul fără legătură C-S



d) Arcul de dublă punere la pămînt
la stîlpul fără legătură C-S



e) Evaporarea intensă la dubla punere
la pămînt nedeconectată de protec-
ție



f) Deteriorări la portiunea de im-
binare C-S prin arcul de P la
P simplu $I=25\text{ A}$



g) Deteriorări la stîlpul SE-1 prin
dubla punere la pămînt nedeconec-
tată

h) Deteriorări prin dubla punere
la pămînt nedeconectată la
stîlpi SE

Fig. 3.19 continuare

3.4. UTILIZAREA PRIZELOR NATURALE IN RETELELE DE JOASA TENSIUNE

3.4.1. Generalități

In majoritatea rețelelor de distribuție de joasă tensiune din țara noastră se utilizează protecția împotriva electrocutărilor prin legare la nul (conductor neutru legat repetat la pămînt). Aceasta constă în legarea la conductorul neutru a tuturor elementelor metalice care pot veni accidental sub tensiune.

Modul sintetic în care trebuie realizată protecția prin legare la nul în cadrul unei rețele de j.t. alimentată dintr-o rețea aeriană de medie tensiune este prezentat în fig.3.20.

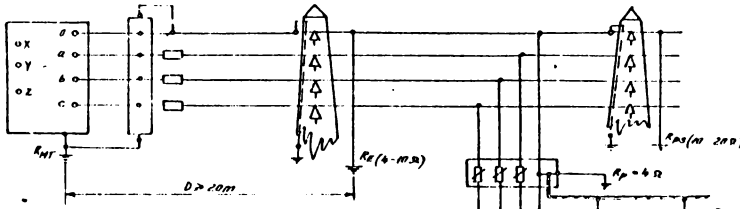


Fig.3.20. Protecția prin legare la nul în rețelele aeriene.

R_{MT} - priza de protecție la medie tensiune. R_E - priza de exploatare. R_p - priza abonatului. R_{PS} - priza pe traseul nulului LEA [---] varianta a II-a de legare a stelajului tabloului de joasă tensiune (la nul)

In cazul stâlpilor de beton, pe lîngă prizele R_E , R_p și R_{PS} se mai utilizează legarea nulului la prizele naturale ale stâlpilor. In acest caz, condițiile în care se realizează protecția împotriva accidentelor se modifică față de situația utilizării exclusive a prizelor artificiale.

In prezentul capitol se analizează condițiile în care se realizează valori de tensiuniilor de atingere nepericuloase la stâlpii și în instalațiile în cazul folosirii prizeelor naturale ale stâlpilor de j.t. Analiza s-a executat prin calcule verificate prin probe pe un model construit în IRME și prin probe efective pe o rețea reală.

3.4.2. Tensiunea pe nul în caz de defect

a) Prize concentrate

In cazul unei liniilor de joasă tensiune ce pleacă dintr-un post de transformare avînd nulul legat la pămînt la post prin rezistență R_E și la capătul plecării prin rezistență R_p , tensiunea pe nul în punctul de defect față de punctul de potențial zero U_p este dată de (3.12) iar tensiunea pe priza postului U_E de (3.13).

$$U_p = \frac{U}{\sqrt{3}} \cdot \frac{1}{1 + \frac{Z_f}{Z_p}} \cdot \frac{1}{1 + \frac{R_E}{R_p}} \quad (3.12)$$

$$U_E = \frac{U}{\sqrt{3}} \cdot \frac{1}{1 + \frac{Z_f}{Z_o}} \cdot \frac{1}{1 + \frac{R_E}{R_p}} \quad (3.13)$$

unde: U este tensiunea de linie a rețelei (V); Z_f - impedanța conductorului de fază (Ω); Z_o - impedanța conductorului de nul (Ω).

Restul notațiilor, cuprinse și în fig.3.21 sunt cunoscute.

Variatia raportului $\frac{U_E}{U_p} = \frac{R_E}{R_p}$ în funcție de $\frac{R_E}{R_p}$ este dată în fig.3.21.

Se observă că tensiuni inferioare valorile periculoase (65 V) se obțin pentru rapoarte $\frac{R_E}{R_p} = 0,65 \dots 0,9$. Se vede că în realizarea protecției împotriva accidentelor determinant este raportul $\frac{R_E}{R_p}$ și nu valorile absolute ale celor două rezistențe.

Pentru $R_E = 0$, $U_E = 0$, $U_p = U_O = U_f$, $\frac{Z_O}{Z_O + Z_f} = \frac{U_f}{2}$; pentru $R_p = 0$, $I_p = 0$, $\frac{U_p}{Z_O + Z_f} = \frac{U_f}{2}$.

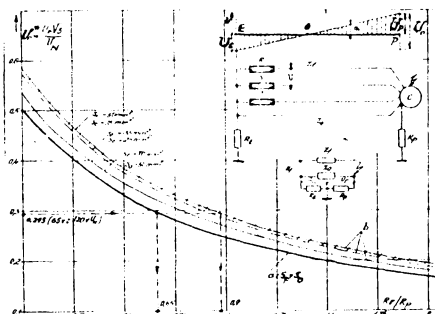


Fig. 3.21. Variatia tensiunii pe carcasa cu defect in functie de raportul R_E/R_p . Z_F - impedanta fazei, Z_O - impedanta nulului. a- Secțiunea nulului. b- Secțiunea nulului imediat inferioră fazei.

fică și valoarea tensiunilor U_p , U_E și pe baza unor ecuații diferențiale.

Schema generală de calcul utilizată în acest caz este cea din fig. 3.22.

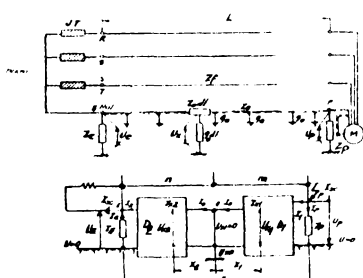


Fig. 3.22. Schema de calcul a tensiunii pe nul in caz de defect
 $Z_f = (R_f + jX_f)l = (r_f + jx_f)l$; $Z_o = (R_o + jX_o)l = (r_o + jx_o)l$

D_1, D_2 - cuadripoli echivalenți ai retelei generale a nulului la plecare.

Considerind numărul maxim de 4 plecări din post și fiecare plecare prevăzută la cămăt cu prize de 4 sau 10 ohmi (R_p) rezistența echivalentă a prizei R_p ; $R_{p\text{eq}} = \frac{R_p}{4}$ (neglijind acoperitor rezistența conductorului de nul). În acest caz, tensiunea ce apare pe carcasă cu defect este periculoasă. Din fig. 3.21,

$$\frac{U_p}{R_p} = (0,41 \dots 0,46)U = 90 \dots 100 \text{ V}$$

b. Prize uniforme distribuite

In realitate, plecările din post au nuluri legate la pămînt prin prize distribuite la intervale regulate variind între 200 m și 1000 m, cu valori între 4...20 Ω. Nulul se poate considera ca avind o conductanță transversală uniformă distribuită de valori între 0,25...0,8 S/km. Utilizând și, sau exclusiv prizele naturale ale stîlplerilor (dintre $R_{STILP} = 0,5 \Omega$), domeniul de variație a conductanței transversale ajunge $a_o = 0,16 \dots 1,6 \text{ S/km}$, pentru rezistivități ale solului între 50...500 Ω.m.

In această situație datele problemei se modifică și valoarea tensiunilor U_p , U_E și U_N se determină din relații mai complicate.

In schema respectivă Z_p reprezintă impedanța echivalentă a legărilor la pămînt a nulului restul plecărilor din post, iar Z_f , impedanța echivalentă a legărilor la pămînt a nulului în aval de carcasa cu defect.

Cuadripolii D_1 și D_2 reprezintă echivalența legărilor la pămînt a nulului pînă în punctul O în care potențialul față de pămînt al acestuia este egal cu zero. Poziția punctului O trebuie determinată prin calcul. Se va ține cont de faptul că datorită încăderii curentului prim conductorul de nul și prin sol, inductivitatea specifică L_o a nulului se modifică față de cea a fazei. Scriind ecuațiile generale ale transmisiei prin sistemul legărilor la pămînt a nulului se obține relația cunoscută (3.14)

$$\frac{\partial^2 U_x}{\partial x^2} = z_o v_o U_x \quad (3.14)$$

în care:

$$z_o = r_o + j\omega L_o (\Omega/\text{km})$$

$$v_o = a_o (\text{s/km})$$

$$\text{Notind: } z_c = \sqrt{\frac{r_o + j\omega L_o}{a_o}} = z_c e^{j\varphi_c}$$

$$\delta = \sqrt{(r_o + j\omega L_o) a_o} = / \delta / \cdot e^{j\varphi_\delta}$$

Pentru cuadripolii D_1 și D_2 se pot scrie relațiile

$$U_{x_1} = A_1 e^{\delta x_1 + B_1 e^{-\delta x_1}} \quad (3.15)$$

$$I_{x_1} = \frac{1}{Z_C} (A_1 e^{\delta x_1} - B_1 e^{-\delta x_1})$$

$$U_{x_2} = A_2 e^{\delta x_2 + B_2 e^{-\delta x_2}} \quad (3.16)$$

$$I_{x_2} = \frac{1}{Z_C} (A_2 e^{\delta x_2} - B_2 e^{-\delta x_2})$$

unde U_x și I_x sunt tensiunea nulului față de potențialul zero și curentul prin nul la distanța x de punctul 0.

Condițiile la limită pentru ecuațiile (3.15) și (3.16) sunt următoarele:

$$x = 0 \quad U_{x_1} = U_{x_2} = 0; \quad I_{x_1} = I_{x_2} = I_0. \quad \text{rezultă } A_1 = A_2 = -B_1 = -B_2 = A.$$

$$U_{x_1} = 2A \sinh \delta m; \quad I_p = \frac{U_p}{Z_p} = \frac{2A}{Z_p} \sinh \delta m; \quad I_1 = \frac{2A}{Z_C} \cdot \cosh \delta m$$

$$U_{x_2} = 2A \sinh \delta n; \quad I_E = \frac{U_E}{Z_E} = \frac{2A}{Z_E} \sinh \delta n; \quad I_2 = \frac{2A}{Z_C} \cosh \delta n$$

In aceste ecuații $m+n = L - m$ și n fiind distanțele de la punctul 0 la capetele rețelei de j.t. Din condiția $I_1 + I_p = I_{SC} = I_2 + I_E$ se obține

$$A = \frac{I_{SC}}{\frac{2 \sinh \delta m}{Z_p} + \frac{2 \cosh \delta m}{Z_C}} = \frac{I_{SC}}{\frac{2 \sinh \delta n}{Z_E} + \frac{2 \cosh \delta n}{Z_C}} \quad (3.17)$$

Valorile m și n se obțin din (3.17) tînind cont de $m+n = L$
In continuare

$$U_p = \frac{I_{SC} \sinh \delta m}{\frac{\sinh \delta m}{Z_p} + \frac{\cosh \delta m}{Z_C}} = \frac{I_{SC} Z_C}{Z_C + \coth \delta m}; \quad U_E = \frac{I_{SC} \sinh \delta n}{\frac{\sinh \delta n}{Z_E} + \frac{\cosh \delta n}{Z_C}} = \frac{I_{SC} Z_C}{Z_E + \coth \delta n}$$

$$U_{FAZĂ} = I_{SC} Z_F + U_p + U_E = I_{SC} \left\{ Z_F + \frac{Z_C}{\frac{Z_C}{Z_p} + \coth \delta m} + \frac{Z_C}{\frac{Z_E}{Z_C} + \coth \delta n} \right\} \quad (3.18)$$

Din (3.18) se obține pentru cazul $z_o = 0$ (linie fără prize repetate a nului lui)

$$U_{FAZĂ} = I_{SC} \left\{ Z_F + \frac{1}{\frac{1}{Z_p} + \frac{1}{z_o^m}} + \frac{1}{\frac{1}{Z_E} + \frac{1}{z_o^n}} \right\}$$

unde z_o^m și z_o^n sunt impedanțele nulului între capetele plecării și punctul de potențial zero (0), ceea ce constituie o confirmare a corectitudinii relației (3.18).

Pentru cazul $z_o^m \ll z_p$; $z_o^n \ll Z_E$ se obțin relațiile (3.13) și (3.17)

$$U_{FAZĂ} = I_{SC} (Z_F + z_o^m + z_o^n)$$

Pentru diferiți parametri ai rețelei L , r_o^{MIL} , r_o^{FMA} , r_o^{MFL} , r_o^{FL} pot determina variațiile tensiunilor U_p și U_E cu notatiile

$$z_F = (x_0'' + jy_0'')L; z_C = \sqrt{\frac{x_0'' + jy_0''}{\varphi - \psi}}; f = \sqrt{g_1(x_0'' + jy_0'')}$$

In acest sens se determină valorile m și n în modul următor:

$$\text{notând } \frac{z_0''}{z_C} = \operatorname{ctg}\varphi (\gg 1); \frac{z_0'}{z_C} = \operatorname{ctg}\psi (\gg 1) \text{ din 3.17 se obține}$$

$$\frac{\operatorname{ctg}(f_{\text{pr}}\varphi)}{\operatorname{ctg}\varphi} = \frac{\operatorname{ctg}(f_{\text{pr}}\psi)}{\operatorname{ctg}\psi}$$

Rezultă:

$$m = \frac{1}{2} + \frac{\varphi_0\psi}{2\psi^2} + \frac{1}{\psi} \operatorname{arctg} \frac{\operatorname{th} \frac{\varphi_0 + \psi}{2}}{\operatorname{th} \left\{ \frac{\varphi_0}{2} + \frac{\psi_0 - \psi}{2} \right\}} \quad (3.19)$$

$$n = \frac{1}{2} + \frac{\varphi_0\psi}{2\psi^2} - \frac{1}{\psi} \operatorname{arg} \operatorname{tg} \frac{\operatorname{th} \frac{\varphi_0 + \psi}{2}}{\operatorname{th} \left\{ \frac{\varphi_0}{2} + \frac{\psi_0 - \psi}{2} \right\}} \quad (3.20)$$

Tensiunea de defect pe nul U_p rezultă din relația (3.18).

Pentru rețelele de joasă tensiune aeriene $r_0 \gg x_0$; $r_p \gg x_p$ (pentru secțiunile obținute de 10...70 mm²) și din acest motiv calculele se pot executa simplificat, lăsând în considerare numai variația reală a z_p și z_0 . Această simplificare s-a dovedit pe deplin justificată în cadrul probelor executate în rețea, fiind deosebit de utilă pentru realizarea calculelor.

Calculele executate scot în evidență următoarele concluzii:

- În cazul plecărilor lungi, în soluri cu rezistivitate scăzută prizelor naturale contribuie exponențial la diminuarea valorilor tensiunilor pe nul în caz de defect.

- Utilizarea exclusivă a prizelor naturale în rețelele de joasă tensiune nu este indicată. Capetele plecărilor din post trebuie prevăzute cu prize de unghi de valori egale cu priza de năptă a postului. În caz contrar, în cazul unui defect pe niclei tensiunea pe nul poate atinge 40% din tensiunea de fază (va - lori periculoase pentru om).

- Pentru utilizarea ratională a avantajelor oferite de prizelor naturale în rețelele de joasă tensiune este important să se realizeze o echilibrare a sarcinilor plecărilor din posturi care trebuie să fie cft mai apropiate ca lungime și încărcare totală. În caz contrar defectul pe plecarea cea mai scurtă conduce la pericole mari de accidentare în această zonă.

3.4.3. Probe pe model și "in situ".

Confirmarea valorilor pentru tensiunea pe nul la post, la capătul plecării și de-a lungul liniei s-a făcut în cadrul unor probe practice pe un model de rețea de JT construit de autor precum și în cazul unui scurtcircuit monofazic într-o rețea reală.

Modulul construit, reflectă datele reale ale unei plecări de JT din com. Golești, la IRE Bîcătești, pe care s-au făcut ulterior și probe "in situ". După verificarea faptului că simplificarea adoptată în calcul este realistă (influența lui $x_p^{(0)}$ este neclijabilă față de cea a lui $r_p^{(0)}$) s-a trecut la utilizarea unui model rezistiv, mai simplu și la care se pot face măsurări în curent continuu. Rezultatele obținute la măsurări sunt prezentate în fig.3.22. Ele confirmă - cu rigoarea posibilă în cadrul unor probe experimentale - concluziile obținute în calcul.

Să observăm că în cazul defectului la capătul unei singure plecări, tensiunea pe nul se distribuie uniform între U_p și U_0 cu $U_p = U_0 =$

$$= \frac{\Delta U_{DC}}{2} \approx \frac{U_{TAZA}}{4}. \text{ Potențialul nul apare la mijlocul plecării.}$$

Tensiunile $U_p^{(1)}...U_p^{(6)}$ sunt practic în fază, currentul fiind evident, defazat față de tensiunea de alimentare. La mijlocul plecării tensiunile schimbă de sens.

In cazul cfnă apar mai multe plecări (maximum 4 dintr-un post aerian MT/JT) tensiunea la capătul plecării pe stîlbul cu defect se mărește foarte mult.

In concluzie utilizarea exclusivă a prizelor naturale în rețelele de joasă tensiune nu este admisibilă. Se vor prevedea întotdeauna la capătul plecării

Valor prize artificiale de valori convenabile, conform concluziilor prezentate anterior. In fig.3.24 este prezentată variația tensiunii pe nul pe plecări cu defect la capăt, iar în fig.3.25 variația tensiunii pe nul pe plecările neafectate.

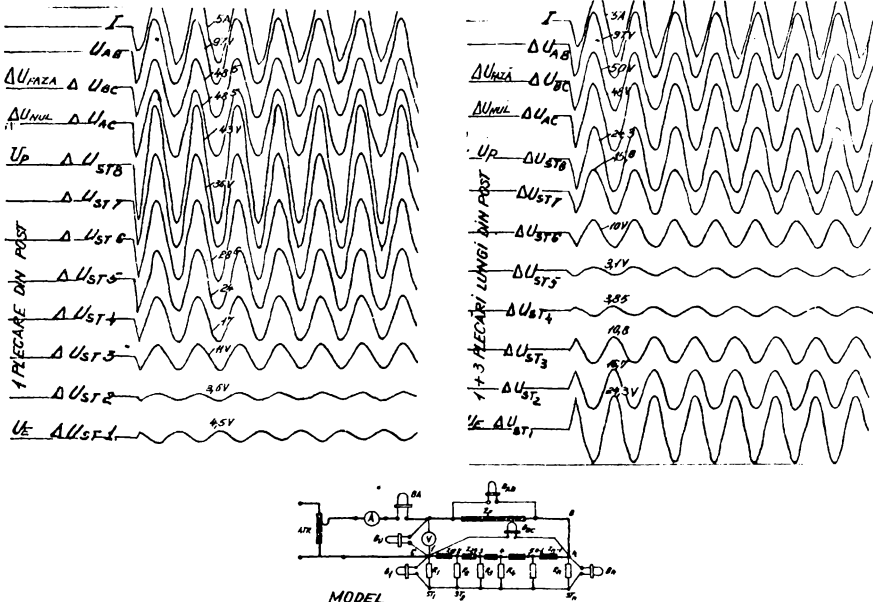


Fig.3.23. Inregistrarea tensiunilor pe nul, la un model de rețea ohmic - inductiv-exclusiv cu prize naturale.

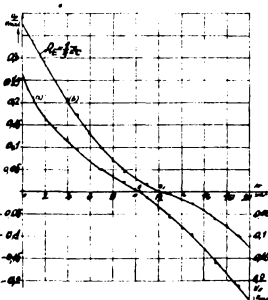


Fig.3.24.Variatia tensiunii pe nul in cazul unei plecari cu prize naturale
a) $R_E = R_p$ (1 plecare);
b) $R_p = \frac{1}{3} Z_C$ - 3 plecari

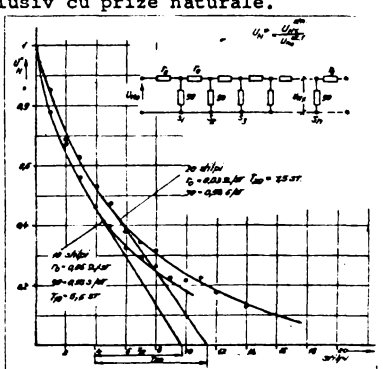


Fig.3.25.Variatia tensiunii pe nul pentru plecările neafectate de defect

După efectuarea probelor pe model și evidențierea pericolului real prezentat pe acestea s-a trecut la probe într-o rețea reală ("probe in situ") IRE Pitești - com.: Golești. Pentru siguranță s-a ales o plecare scurtă cu 8 stilipi. Pregătirea rețelei prin demonștarea și remontarea legărilor prizelor naturale la nul etc. este dificilă). Probele au constat în două etape. Pentru început s-au executat probe fără prize naturale pe plecare (numai cu prize artificiale de la capătul

plecării și la P.T. deconectând restul plecărilor și nulul acestora).

Ulterior s-au legat la nul și prizele naturale ale stiliplor plecării.

Unele din înregistrările efectuate sunt prezentate în fig.3.26. Rezultatele obținute confirmă datele de calcul și pe cele obținute pe model. Tensiunile obținute pe nul în caz de defect se diminuează sensibil prin utilizarea prizelor naturale ale plecărilor. Acest element foarte important trebuie neapărat luat în considerare la execuția rețelelor de cărare. În mod eronat actualmente acestea se construiesc fără legarea repetată a nului la pămînt prin prizele naturale ale stiliplor.

Probele în rețea au mai scos în evidență și faptul că la un scurtcircuit pe j.t. tensiunea pe fază a rețelei scade destul de mult. Din acest motiv toate calculele făcute mai sus în care se consideră transformatorul MT/JT de putere infinită sunt acoperitoare; în realitate tensiunile de defect pe nul vor avea valori mai mici decât cele rezultate din calculul simplificat.

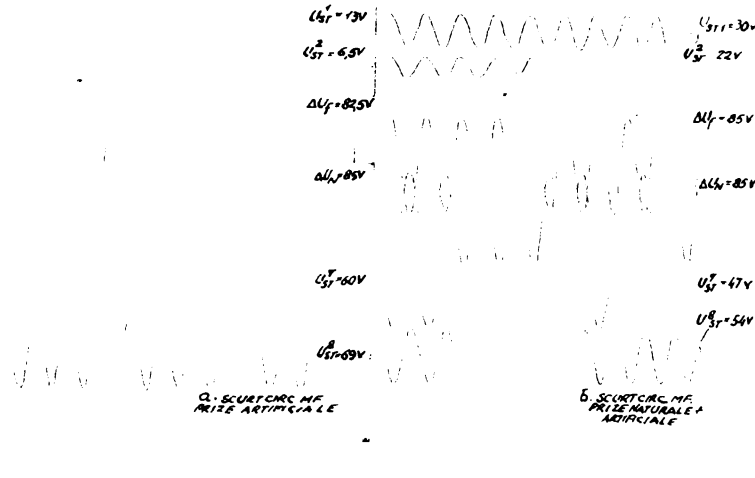


Fig. 3.26. Înregistrări la scurtcircuit j.t.

a) prize artificiale

b) prize naturale

3.5. UTILIZAREA PRIZELOR NATURALE IN STATII SI POS-TURI

3.5.1. Generali - tăți

In cazul unor defecții monofazice

Într-o stație din rețeaua de înaltă tensiune, (neutru legat la pămînt) pe priza stației apar potențiale U_p date de (3.21)

$$U_p = I_{sc}^o \cdot R_{EZ} \quad (3.21)$$

unde: I_{sc}^o - curentul de scurtcircuit monofazic ce dispersează de la priză în sol.

R_{EZ} - rezistența generală de dispersie a instalației de legare la pămînt a prizei stației.

Valoarea R_{EZ} este substanțial influențată de prizele naturale legate la aceasta.

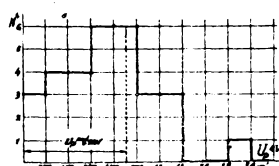


Fig. 3.27. Distribuția valorilor U_p pentru stațiile din RSR

In acest sens prezintă interes atât soluțiile de micșorare a lui U_p prin utilizarea prizeelor naturale cît și transmiterea la distanță a pericolului datorat tensiunii U_p prin următoarele elemente:

- a - firele de gardă sau conductoarele de nul;
- b - mantalele cablilor de energie electrică;
- c - conductele metalice subterane de orice natură;

Pe măsura dezvoltării sistemului, tensiunile U_p din (3.21) au o tendință de creștere prin majorarea naturală a curentilor de scurtcircuit. Chiar dacă prin efectul interconectărilor (ce conduce în general la micșorarea lui R_{EZ}), amplificarea tensiunilor U_p nu va fi spectaculoasă, importanța practică a cuplajului respectiv crește și efectele acestuia trebuie luate în considerare la proiectarea și exploatarea instalațiilor.

Obiectele metalice lungi constituie deobicei prize naturale. Ele se pot asimila cu circuite liniare cu constante uniform repartizate. Pentru scopurile practice este suficient să se ia în considerare cazul cu constantele $R, L, G(c=0)$ independente de curent.

În acest caz schema de calcul este prezentată în fig. 3.28. Ecuațiile generale cunoscute pentru acest caz sunt (3.14) și (3.22).



Fig. 3.28. Schema de calcul:

U_o tensiunea la intrare;
 U_x tensiunea la ieșire.

$$\frac{\partial^2 I}{\partial x^2} = Y_o Z_o \cdot I \quad (3.22)$$

unde $Z_o = r_o + j\omega L_o$; $Y_o = g_o$ sunt impedanțele și admitanțele specifice pe unitatea de lungime a conductei. Se menționează că în cazul firelor de gardă sau al conductoarelor de nul ale LEA j.t. (3.14) se transformă în ecuații cu diferențe finite care au soluții de același formă. Soluțiile generale:

$$U_x = U_o \frac{\operatorname{ch} \beta x}{\operatorname{ch} \beta L} = I_o Z_c \frac{\operatorname{ch} \beta x}{\operatorname{sh} \beta L} \quad (3.23)$$

$$I_x = I_o \frac{\operatorname{sh} \beta x}{\operatorname{sh} \beta L} = \frac{U_o}{Z_c} \operatorname{th} \beta L \frac{\operatorname{sh} \beta x}{\operatorname{sh} \beta L} \quad (3.24)$$

unde s-a notat:

$$Z_c = \sqrt{r_o + j\omega L_o} = \sqrt{\frac{r_o^2 + \omega^2 L_o^2}{g_o^2}} e^{j\varphi_c} \text{ impedanță caracteristică}$$

$$\beta = \sqrt{(r_o + j\omega L_o) g_o} = \sqrt{\frac{1}{2}(r_o g_o + \sqrt{r_o^2 g_o^2 + \omega^2 L_o^2 g_o^2}) + j\sqrt{\frac{1}{2}g_o(\sqrt{r_o^2 + \omega^2 L_o^2} - r_o)}}$$

constanta de propagare

$$U_x = U_o \frac{\operatorname{ch} \beta(L-t)}{\operatorname{ch} \beta L} = U_o [\operatorname{ch} \beta t - \operatorname{th} \beta L \cdot \operatorname{sh} \beta t] \quad (3.25)$$

t fiind distanța de la începutul conductei pînă în punctul considerat.
 U_o, I_o - tensiunea și curentul la începutul conductei.

$$\text{Pentru conductele lungi cu } L \gg \frac{3}{|\beta|} ; \operatorname{th} \beta L = 1 \text{ și } U_x = U_o \cdot e^{-\beta t} \quad (3.25.a)$$

In acest caz tensiunea pe elementul metalic se atenuază după o exponentială cu subtanțenta $T = \frac{1}{|\beta|}$. Rezistența echivalentă a sistemului devine

$$R_o = \frac{U_o}{I_o} = |Z_c| \quad (3.26)$$

Cu ecuațiile (3.25) și (3.26) se pot stabili valorile tensiunilor transmise pe conducte în diferite cazuri practice precum și efectul favorabil al prizeelor naturale asupra rezistenței generale a prizei R_{EZ} .

3.5.2. Analiza diferențelor cazuri practice

a. Fire de gardă. Conductoare de nul la j.t.

Să studiem situația actuală cù unul sau două conductoare de gardă din OLEn 50...120 mm² și cu stilpi cu rezistențe individuale de 2,5...20 Ω (prize artificiale sau prize naturale). Se neglijeează inductivitatea L_o .

Rezistența echivalentă a sistemului după (3.28) este: $R_o = Z_c = 0,86...$

4,45 Ω. Zona teoretică de pericol se situează pînă la distanța $4T=1,40...7,2$ km. În realitate deoarece $U_{ad} = 910$ V, coeficienții de atingere la stilp sunt $K_{AT}=0,3$...0,74 și $U_{ad} = 250$ V în medie apar periculoși numai primii 1...4 stilpi din apropierea stației (deci situații deobicei în zone nelocuite).

Din acest motiv, firele de gardă ale stilplilor de 110-400 kV se vor lega obligatoriu la priza stațiilor, pentru că ei contribuie la diminuarea rezistenței

Σ generale de dispersie R_{EZ} (fiecare linie lungă cu 1...5Ω).

Trecerea la conductoarele de protecție din alături contribuie la creșterea zonelor periculoase dar acest lucru nu este esențial. Acest tip de conductor contribuie însă substanțial la diminuarea lui R_o și deci a lui R_{EZ} .

În cazul liniilor de 25-60 kV cu fir de gardă, acesta nu trebuie legat la prizele stațiilor, pentru că prizele acestora nu sunt dimensionate decât pentru curenti de defect de 10-20 A, mult mai reduși ca cei ce rezultă prin transmisie de pe priza stației.

Pentru conductoarele de nul ale LEE j.t., se consideră cazul cînd o linie de j.t. alimentează consumatori situati în exteriorul stației, care utilizează protecția prin legare la nul (STAS 6616-69).

In domeniul plecărilor obișnuite de j.t. ($L < 2$ km) chiar tensiuni pe prizi de ordinul a 650 V sunt periculoase pe toată plecarea. Rezultă că este inadmisibilă alimentarea consumatorilor de j.t. de la serviciile interne ale stațiilor /3.16/.

In unele cazuri speciale cînd acest lucru nu poate fi evitat, se impune ca priza stației să includă și priza consumatorului respectiv.

b. Cablu de energie electrică

Caburile de energie subterane pot transmite potențiale periculoase în următoarele moduri:

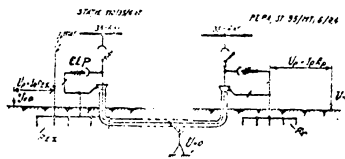


Fig.3.29. Transmiterea potențialului la cablurile de energie

- prin fazele cablului legate în scurtcircuit și puse la pămînt în stație;
- prin mantaua de plumb izolată de armătură pe traseu (cablu armat fără manșoane sau cablu nearmat);
- prin armătura exterioară a cablului.

Prințele două moduri sunt principalele asemănătoare. În acest caz, executarea manșoanelor, a cutiilor termicale și demontarea acestor elemente trebuie efectuate, fără închiderea CLP, pericolul de apariție a tensiunilor pe cablu fiind preîmpinsat prin alte mijloace (teci, legarea în scurtcircuit a fazelor etc.). Preîmpinarea pericolului transmisiei potențialului prin manta, este mai simplă prin legarea mantelei la pămînt pe durata lucrărilor /3.16/. Mantele cu manșoane pe traseu, ajung la potențialul armăturii metalice exterioare, fapt ce îmbunătățește condițiile de protecție pe cablu.

Pericolul de electrocucare prin transmisia potențialului prin armătura metalică neizolată față de sol (iute și bitum se umezesc și devin conductoare) este mult diminuat față de cele anterioare datorită atenuării tensiunii provocată de conductanța transversală și datorită faptului că în acest caz operatorul nu e supus la tensiunea U_x ci numai la o parte a acesteia reprezentată de tensiunea de atingere U_{AT} precum și datorită echipamentului de protecție cu care sunt echipați operatorii (cisme și manusi).

Pentru cablurile obișnuite de medie tensiune cu manta de plumb, armate cu benzi oțel izolate cu iută și bitum, cu o vechime în exploatare suficientă ca umiditatea să pătrundă pînă la armătura, distanțele periculoase de stație cu defect sunt date în tabelul 3.5. Ele au fost calculate pentru $r_o = 0,66 \dots 2,8 \Omega/km$ (înălțind cont de lipsa mantelei de plumb sau de efectul inductivității L_o a benzii de oțel $R_o = 5 \dots 10 \Omega/km$). Pentru $\rho = 20 \dots 100 \Omega \cdot m$, $g_o = 0,35 \dots 1,8 S/km$ înălțind cont de efectul izolației din iută și bitum /3.16/.

S-a considerat $U_{AT}^{MAX} = 240 V$; $K_{AT} = 0,5 \dots 0,6$ (la lucrări pe cablu) $K_{AT} = 0,1 \dots 0,2$ (la lucrări în stații vecine) / $K_{AT} = \frac{AT}{UP}$ - definit în STAS 2612/72/.

Rezistența echivalentă a sistemului manta-pămînt care contribuie la diminuarea rezistenței prizei stației

$$R_o = \sqrt[4]{\frac{r_o^2 + \omega L_o^2}{g_o^2}} = 0,60 \dots 2,80 \Omega (5 \dots 10 \Omega)$$

Să observă că în cazul cablelor cu manta de plumb în sol conductor rezistență R_{EZ} este mult diminuată prin contribuția lui R_o . Prizele posturilor vecine

Tabelul 3.5.

Distanțele periculoase de stațiile cu defect

Tensiunea pe priza stației cu defect U_p kV	1	2	3	4	
Distanțe periculoase de stație (km)	Lucrări pe traseul cablului	1,90	3,40	4,25	4,80
	Lucrări în stația vecină	-	1,1	1,90	2,55

trebuie însă calculate pentru curentul I_p , ce se închide prin aceasta și prin mantaua cablului de legătură la un defect în stația de alimentare.

c. Conducte metalice.

În această categorie se cuprind conductele pentru alimentare cu apă rece (AR), conductele de termoficare, conducte de gaz, păcură etc. Principal apar două tipuri:

- conductele situate direct în sol, fără izolație;
- conducte cu izolație termică (bitum+fibre sticla).

La conductele izolate, potențialul de la începutul conductei se transmite integral în centrala sau stația de alimentare a conductei.

Izolarea conductei de priza stației nu e soluție corespunzătoare deoarece în acest mod conducta poate aduce în stație potențialul nul, fapt ce reprezintă un pericol potențial major (U_{AT} conductă = $r_o \cdot R_{EI}$).

Aceste conducte trebuie previzute cu portiuni izolante adecvate la ieșirea de pe teritoriul prizei. O conductă izolată în interior cu cauciuc cu lungimea de 1 m., conduce la evitarea pericolelor în centralele la distanță sub 1 km pentru conducte cu $\varnothing = 200-500$ mm chiar la potențiale de 10 kV pe priză.

In cazul conductelor neizolate calculele sunt mai complicate întrucât acestea fiind în general din oțel, apare un efect pelicular important și parametrii conductei se modifică substanțial față de cazul curentului continuu. La conductele de diametru mic ($\varnothing = 20-30$ mm) efectul pelicular este mai puțin important. Valorile parametrilor primari r_o , L_o , g_o calculate după /3.18/ sunt date în /3.16/. Cu datele respective, distanțele de stație la care se pot produce tensiuni de atingere periculoase sunt date în fig.3.30.

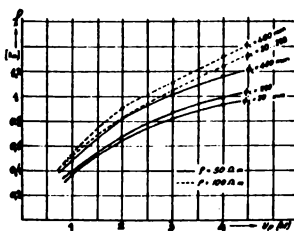


Fig. 3.30. Distanțe periculoase pe conducte

0,5 Ω în funcție de diametrul conductelor și rezistivitatea solului.

3.53. PROBE ÎN SISTEM

Verificarea în condiții reale a datelor obținute în calcul s-a făcut în cadrul unor probe de scurtcircuit monofazic în stații din tabelul 3.7. Cu ocazia probelor efectuate în două etape (cu curent de la o sursă auxiliară și cu curent real de defect) s-au măsurat în modul prezentat în fig.3.31.

- Tensiunile pe priză reale în caz de defect;
- Curentii distribuți prin prizele naturale (PG, cable, țevi);

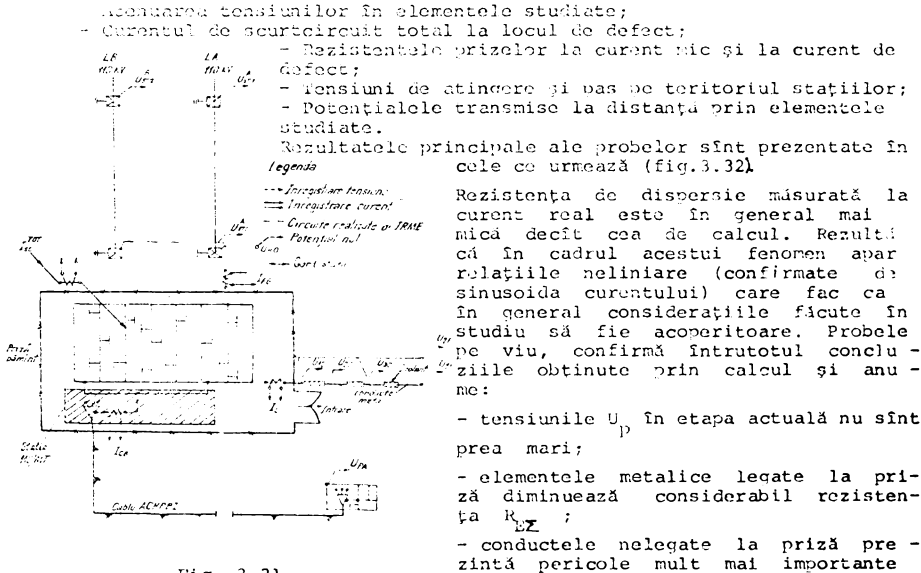


Fig. 3.31

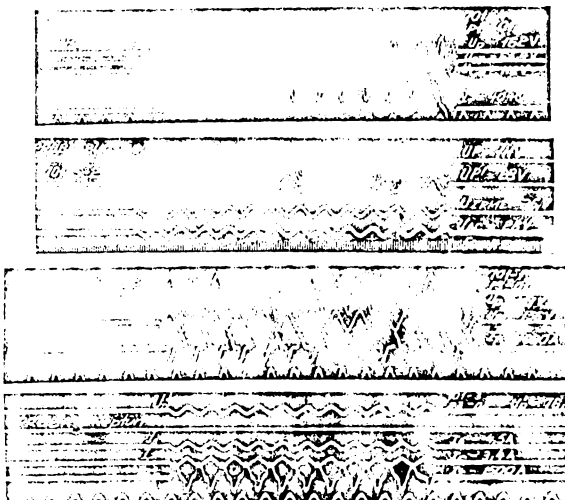


Fig. 3.32. Oscilogrammele unor probe pe viu în sistem

decât cele legate;

- cablurile de energie de medie tensiune pot transmite la distanță în treacă tensiune pe priza U_p ;
- firele de gardă nu transmit în exteriorul stației pericole importante

Tabelul 3.7.

Probe pe viu în sistem

Denumirea stației	Curent de scurt-circuit		Rezistență de disperzie (Ω)		Tensiunea pe priză U_p măs (V)
	Calculat DSE (A)	Măsurat (A)	cu I_{mic}	cu I_{real}	
1 FME P-110/15/6 KV	1200	1020	0,121	0,128	125
2 OCOLNA-110/20/6 KV	1200	1040	0,202	0,109	123
3 NEPTUN 110/35/15 KV	1350	1500	0,167	0,093	149
4 CIMPINA 110/25/10 KV	3450	4040	0,040	0,040	162
5 BUCURESTI-SUD 220/110/10 KV	20500	5734	0,0190	0,019	111

Bibliografie

- /3. 1/ KORSUNTEV,A. Metodica rasceta soperativlenii zazemlenia jelezobetonnih fundametov. In: El.Stantii 39, nr.11, nov.1968, p.63-68.
- /3. 2/ KARTICROV,M. O prevodimosti jelezobetonnih svainih fundamentov opor LEP 154-500 KV. In: Electricestvo 82, nr.5 mai 1961, p.13-15.
- /3. 3/ LEIRICH,V. Electroizolationnie svoistva betonov pri raznib usloviyah ih expluatației. In: Electricestvo 89, nr.11 nov.1968, p.81-84.
- /3. 4/ KARTICROV,N. O metodike rasceta soperativlenii fundamentov opor linii. In: El.Stantii, 37, nr.12 dec.1966, p.64-65.
- /3. 5/ GOIA,M.L. Utilizarea prizelor de pămînt naturale pentru linii electrice. In: Energetica 19, nr.10 oct.1971, p.504-509.
- /3. 6/ MARK,D. Domeniul de utilizare și calculul rezistenței prizelor naturale de pămînt. In: Energetica 12, nr.12 dec.1964, p.629-632.
- /3. 7/ VAINER,I. Stekanie tokâ s elementov jelezobetonnih fundamentov linii electropredadi. Electricestvo 71, nr.12 dec.1960 p.34-40.
- /3. 8/ BUSS,G. Erfahrungen in verwendung der fundamenten als Erdungsanlagen.In: Elektrizitäts-wirtschaft 66, nr.9 sept.1967,p.203-209.
- /3. 9/ UTTER,K. Investigations and testing of footing type grounding electrodes for electrical installations. In: IEEE Trans.PAS 83 nr.10 oct 1964,n. p.1042-1043.
- /3.10/ MIRKHOV,M.I. Zazemliaiiscie ustroistva v ustanovok elektrosviazi. Moscova. Sviazi 1971.
- /3.11/ DOLGINOV,A.I. Perenapriajenia v electriceschin setiach. Gosenergoizdat Moscova 1968.
- /3.12/ KORSUNTEV,A. Primenenie teoria podobia k rasciotu impulsnih haracteristic zazemlenii. Electricestvo 71 nr.5 mai 1960, p.5-11.
- /3.13/ SZPOR,S. Efектul dăunător al curentului de punere la pămînt pentru stîlpuri de beton ai LEA. In: Energetika 22 nr.9, sept.1969,p.310-311.
- /3.14/ GOIA,L. Probe în sistem asupra stîlpilor SE-1. In: Producerea,transportul și distribuția energiei electrice și termice,5 nr.6 iun.1972, p.277-285.
- /3.15/ 3 LI-CR-71. Circulară tehnică CITDEE 13.05.1971.
- /3.16/ GOIA,L. Transmiterea potențialului prin obiectele metalice lungi lecate la prizele stațiilor. In: Energetica, 21, nr.10 oct.1973, p.470-475.
- /3.17/ WOKER,H. Inductionsspannungen am pipelines. In: Elektricitäts-wirtschaft 65 nr.5 febr.1965 p.157-170.

/3.18/ REGENI, L. Potentialverscheppung über cablemantel. Elektric 25, nr.5, mai 1971 p.153-157.

/3.19/ MIHAJOV, M.I. Elecktriceschie parametri podzemnykh metalicheskikh truboprovodov. In: Elektricestvo 84 nr.5, mai 1963 p.60-65.

4. STUDIUL PRIZELOR DE PAMINT PRIN MODELARE

4.1. GENERALITATI

Rezolvarea problemelor de cimp se poate realiza după cum se știe prim me - tode analitice (metoda reprezentărilor conforme, metoda separării variabilelor) și metode numerice (metoda diferențelor finite). Din aplicarea acesteia din urmă rezultă un sistem de ecuații algebrice care se poate rezolva prin metode numerice (iterație ori relaxare) și prin metode analogice cu ajutorul retelelor analizoare.

Alte metode de rezolvare sunt metodele grafice (Lehmann /4.1/) care nu oferă însă precizie suficientă și metodele experimentale care se bazează pe creerea unor cimpuri model al cimpului de studiat /4.2/.

In general prin modelare se înțelege reflectarea sau reproducerea printr-un mijloc oarecare a realității în vederea examinării legităților obiective existente în ea. Concluziile obținute din studiul modelului sunt confruntate cu realitatea perfectionarea modelului fiind un rezultat al confruntărilor dintre teorie și experiment. Modelarea poate fi rezultatul prelucrării directe a legilor realității (modele matematice) sau reflectarea unui sistem "original" printr-un altul "model" determinat printre-o anumită asemănare cu primul reflectat de relații de modelare /4.3/.../4.7/.

In cazul cimpurilor modelarea poate fi făcută prin similitudine cind originalul și modelul sunt de același natură sau prin analogie cind cele două cimpuri sunt de natură diferită /4.8/. In ambele cazuri se impune ca cele două cimpuri să satisfacă aceleasi ecuații diferențiale și aceleasi condiții la limită.

In cazul prizelor de pămînt, modelarea prin similitudine este una din cele mai eficace metode de investigație. In acest caz este suficient să se stabilească numai o similitudine a dimensiunilor geometrice. Cel mai adesea se folosesc pentru modelare cuvele electrolitice. Deși cuvele bidimensionale au anumite avantaje privind precizia măsurilor și volumul montajului, autorul a construit o cuvă tridimensională, ținând cont că nu în toate cazurile cimpurile sunt plan meridiane.

Cu ajutorul cuvei electrolitice se pot stabili cu ușurință și fără eforturi toate elementele necesare calculului prizelor de pămînt (R_p , R_{AT} , K_{PAS} , \bar{E} , coeficienții de ecranare ai electrozilor învecinați, etc.) pentru regimul de frecvență industrială.

Modelarea în cuvele electrolitice mai poate oferi și alte domenii de aplicare deosebit de variate, motiv pentru care utilizarea ei se justifică cu prisosință.

Baia electrolitică realizată în IRME este ilustrată în fig.4.1. Cuva are forma emisferică. In /4.2/ este dată curba erorilor de măsură pentru diferite raze interne între "a", dimensiunea maximă a retelei de priză și "r" raza cuvei metalice (fig.4.1).

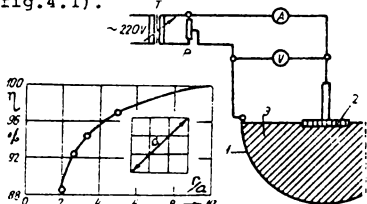


Fig.4.1. Principiul băii electrolitice și eroarea de măsură 1- cuva metalică; 2- modelul prizelor de pămînt; T- transformator de separare-reglare; P- potentiometru; 3- electrolit-apă

- precizia măsurării; r - raza cuvei; a - diaconala prizei.

Măsurările se realizează în ipoteza unei structuri omogene a solului - deci a unei conductibilități constante în electrolit, dar se pot soluționa și problemele modelării unor stratificări orizontale.

Pentru electrolit se folosește apă obișnuită de conductă cu rezistență specifică medie de cca 20-70 Ωm .

Metoda de măsură a potentialului diferențelor puncte din vas poate fi o metodă de nul, sau cea cu voltmetrul (electrostatic sau electronic) care dă erori de 3-4 %.

Electrozii modelului trebuie să îndeplinească cteva condiții importante, prezentate pe larg în /4.13/.

Pentru confecționarea modelelor se recomandă utilizarea sîrmei de argint. Greutatea cea mai mare

Prin execuțarea modelului provine din modelarea diametrului.

Pentru ca rezultatele pe model (indicele m) să nu difere decât prin scară cu cea obținute prin original (fără indice), parametrii modelului trebuie aleși astfel încât să țină seama de factorii de scară (adimensionali) din relațiile următoare:

$$\frac{N_u}{U_M} = \frac{U}{U_M}; N_i = \frac{i}{i_M}; N_l = \frac{l}{l_M}; N_R = \frac{R}{R_M}; N_t = \frac{t}{t_M}; N_\omega = \frac{\omega}{\omega_M}.$$

Unde:

- U este tensiunea;
- i - curentul;
- l - lungimea;
- R - rezistența;
- t - timpul;
- ω - frecvență circulară (pulsatie).

Pentru ca scarile respective să fie compatibile este necesar ca /4.7/, /4.8/:

$$\frac{N_u N_t N_u}{N_i N_R} = 1; \frac{N_u}{N_i N_R} = 1; N_t N_\omega = 1 \quad (4.1)$$

Aceste relații se numesc criterii de similitudine /4.8/.

Baia electroclitică se compune din cuva electrolitică; suportul cuvei; dispozitivele de fixare a prizelor și de măsură; instalația electrică.

Pentru că arătate fig.4.1 s-a acceptat ca eroare maximă de modelare 5%. În diagramă, rezultă corespunzător acestei eroiri, un raport $\frac{x}{a} = 3,5$.

S-a ales ca extinderea maximă a modelului să fie a = 150 mm, suficientă pentru studiul tuturor prizelor naturale de la liniile de joasă, medie și înaltă tensiune ceea ce determină pentru contraelectrod (dimensiunea cuvei) o rază r = 125 mm.

Detalii referitoare la execuția cuvei și a modelelor sunt prezentate pe larg în /4.13/. Aspectul acestoria este arătat în fig.4.2.

4.2. PRIMELE REZULTATE EXPERIMENTALE

Experimentările realizate cu ajutorul cuvei electroclitice au fost următoarele:

- măsurarea rezistenței de dispersie a prizelor din diferite configurații;
- determinarea cimpului electric în preajma prizei și reprezentarea imaginilor sale; (linii de cimp și suprafețe echipotențiale);
- determinarea coeficienților de influență (écranare) a electrozilor :

$$C_u = \frac{R_1}{n R_I} - R_I = \text{rezistență generală a sistemului de } n \text{ electrozi; } R_I =$$

- . Vedere de ansamblu a cuvei electroclitice
- . rezistență unui electrod;
- . determinarea tensiunilor de atingerere și de pas în apropierea instalației de prize;

soluționarea optimă a construcției instalațiilor de legare la pămînt.

- verificarea practică a metodei
- determinarea variației rezistivității electrolitului cu temperatură
- rezultatele experimentale obținute la măsurători sunt indicate în tabelul și în figurile anexate.

Tabelul s-a verificat practic prin comparația între datele obținute experimental și cele obținute cu alte metode.

În tabelul 4.1. se indică valorile rezistivității determinate în cuvă cu sistemul de măsură (cap.2) și cele determinate cu conductometrul (raportul de măsură la temperatură de 10°C).

Se observă că rezistența rezistență de măsurare asupra rezistenței prizelor și curbele din fig.4.3 și 4.4. S-a definit eroarea de frecvență prin c.

unde R_{50} și R_{1000} sunt rezistențele la 50 și respectiv 1000 Hz.

Tabelul 4.1.

Nr. crt.	h mm	f Hz	R_{med} Ω	$\rho_{cuvă}$ $\Omega \cdot m$	$\rho_{conduc - tomtru}$ $\Omega \cdot m$	ξ %
1	80	50 - 1000	552	25,8		1,6
2	35	50 - 1000	502	25,6		0,8
3	40	50 - 1000	445	25,6	25,4	0,3
4	50	50 - 1000	383	26,0		2,4

În domeniul de temperatură între 10 și 22°C abaterea maximă de frecvență nu depășește 1,5 %.

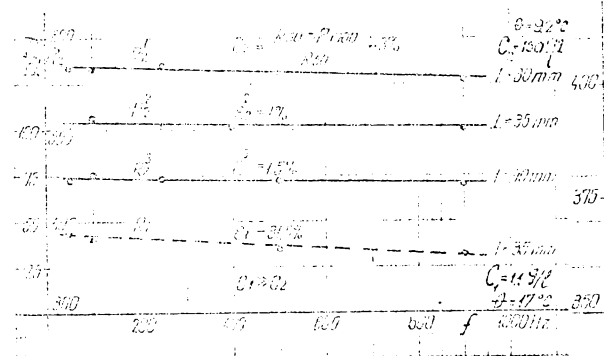


Fig.4.3. Variatia rezisten-
pei cu frecvența la două
concentrații de electrolit
 C_1 și C_2

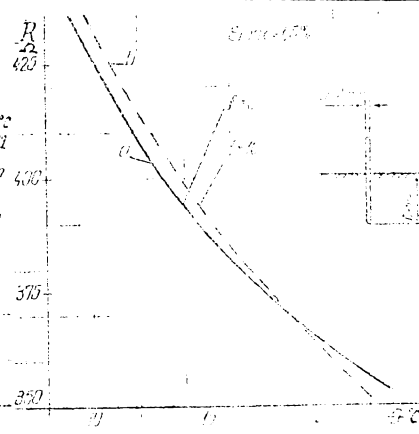


Fig.4.4. Variatia rezistentei
cu temperatura la 50 Hz și
1000 Hz

Pentru concentrația electrolitului $C_1 = 1,1 \text{ g/l}$ corespunzător unei rezistențări a soluției de circa $3,2 \text{ m}$, eroarea de frecvență, explicată prin apariția polarizării la 50 Hz este $\xi_1 = 31,5 \%$.

Pentru apa obișnuită de conductă, cu o concentrație de circa 150 mg/l corespunzând unei rezistențări de circa 25 m , eroarea de frecvență este $\xi_2^{\max} = 3 \%$. Abaterile valorilor rezistenței unor prize prin modificarea frecvenței între 50...1000 Hz sunt prezentate în fig.4.3 și 4.4.

Pentru concentrații mari a electrolitului, eroarea de frecvență devine grosolană (fig.4.3). În acest caz se recomandă efectuarea măsurătorilor în apă de conductă, (care are concentrație de săruri scăzută). Astfel polarizarea nu are efect negativ asupra măsurătorilor.

Coefficienții de ecranare (utilizare) a electrozilor determinați experimental în cuvă (fig.4.5) corespund cu cei calculați în /4.10/ (eroarea maximă este de circa 2 %).

Variatia rezistentei electrozilor cu temperatura electrolitului este indicata in fig.4.4. Se observa ca rezistența scade cu creșterea temperaturii. Se impune ca la măsurări executate la temperaturi diferite a electrolitului să se introducă o corecție de temperatură. In domeniul de temperatură intre 10 și 20°C se poate utiliza corecția: $R_t = R_{t_0} / 1 + 0,017(t_0 - t)$

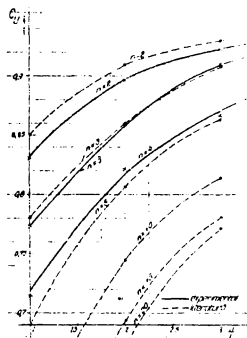


Fig.4.5. Variatia coeficientilor de utilizare. Electrozi verticali in linie: n - numar de electrozi; a - distanta intre electrozi; L - lungimea electrozilor; C_u - coefficientul de utilizare

Cuva electrolytică este un auxiliar prețios în cercetarea prin metoda similarității a prizelor de pămînt și a altor fenomene de diferite naturi, guvernate de legile generale ale cimpurilor armonice.

Ea oferă domenii de aplicare, deosebit de variate și poate fi larg utilizată în proiectare și cercetare.

Prin primul rezultat obținut la măsurările efectuate cu ajutorul cuvei au oferit garanții privind utilizarea sa în studiu de prizelor naturale.

4.3. MODELAREA IN SOLUL NEOMOGEN

Cercetări noi de detaliu, studiate prin modelare chiar prizele de pămînt situate în sol neomogen, cu stratificări orizontale. Soluțiile adoptate s-au bazat pe utilizarea a două lichide insolubile sau parțial insolubile.

Raba /4.4/ a utilizat componente parțial insolubile care au avantajul că permit varierea în limite deosebite de largi a parametrilor electrici ai straturilor. Separarea straturilor se face pe baza densităților diferențiale a celor două substanțe insolubile-

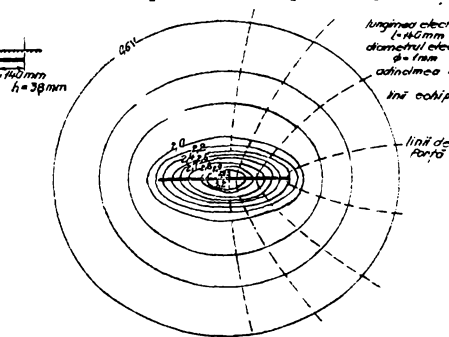


Fig.4.7. Repartitia potentiialelor la suprafata lichidului la electrodul orizontal

In cazul stratificării cu $\rho_2 > \rho_1$ - (ρ_1 rezistivitatea stratului superior, ρ_2 rezistivitatea stratului inferior) cea mai favorabilă combinație se dovedește cea dintre apa distilată (ρ_1) și tetraclorura de carbon (ρ_2). Pentru variația raportului ρ_2/ρ_1 se adaugă în clorura de carbon acid clorhidric. Dacă se limitează conținutul de HCl la concentrații foarte slabe, cind acidul nu influențează asupra solubilității relative a CCl_4 în apă se pot obține rapoarte

$$\frac{\rho_1}{\rho_2} = \frac{1}{156} \dots \frac{1}{4}$$

Trebuie menționat că în general rezistivitatea stratului superior nu se menține

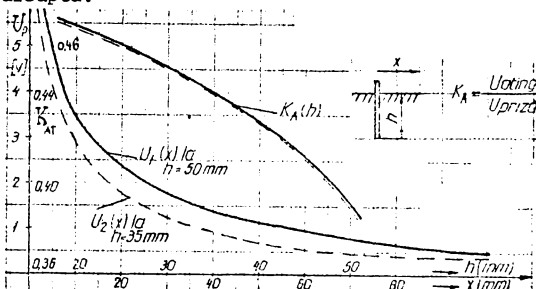


Fig. 4.6. Distributia potențialului și coefficientului tensiunii de atingere la electrodul vertical.

Distributia potențialului în jurul prizelor de pămînt verticale este indicată în fig.4.6 - (unde se dă și coefficientul tensiunii de atingere) iar pentru prizele orizontale în fig.4.7.

Legăturile electrodului în solul electrodului de la fundatia electrodului adâncimea $h=35mm$ în proiectare și cercetare.

Prin primul rezultat obținut la măsurările efectuate cu ajutorul cuvei au oferit garanții privind utilizarea sa în studiu de prizelor naturale.

constantă în timp, din acest motiv măsurările trebuie să se facă după cel puțin 24 ore de la formarea straturilor după cum indică figura 4.8.

Pentru cazul $\frac{Q_2}{Q_1} < Q_1$ se utilizează ca strat superior spuma amilică / $\text{CH}_3(\text{CH}_2)_4$ / - cu o conductibilitate inițială bună iar ca strat inferior apa distilată.

Soluția nu permite fără acoperirea unui domeniu prea larg de variație a raportului $\frac{Q_2}{Q_1}$ (0,25...1).

Din acest motiv pentru studiul unor cazuri cu grosime mare a stratului superior în care se construiesc prizele (grosimea stratului peste 8-10 m), se poate adopta pentru stratul inferior nu lichid ci fază solidă. Rezultate bune se obțin cind sub stratul de apă distilată, se introduce grafit, carbid, sulfură de carbon sau alte materiale de tip semiconductor. Această metodă permite o largire considerabilă a gării de variație a raportului $\frac{Q_1}{Q_2}$ (0,25...0,01).

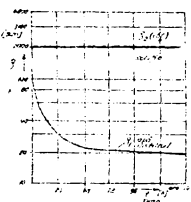


Fig.4.8. Dependența de timp a rezistenții temporare a celor două straturi de apă distilată (Q_1) și clorura de carbon (Cl_2C) Q_2 .

În afară studiului în cuvă, în /4.9/, /4.10/ Brandolini punctă punct o metodă și o tehnologie de cercetare a prizeelor de pămînt prin modelare în volumă mică paralelipipedică de sol.

Electrozi metalici plantați se înlocuiesc cu volume cilindrice de mercur, turnat în orificii fasonate în volumul respectiv de sol.

Stratificările se realizează din amestecuri de nisip, ciment, portland, apă și grafit. Modificarea rezistențității a stratului strat se realizează prin dozajul corespunzător al grafitului în strat. Înaintea turărării în strat se determină cu metode clasice valoarea rezistențității straturilor.

Metoda s-a dovedit destul de convenabilă dar conform ultimelor informații ce s-au putut obține, ea mai necesită perfeționări de detaliu pentru a putea fi considerată competitivă.

4.4. REZISTENȚELE DE DISPERSIE SI DISTRIBUȚIA POTENȚIALULUI LA PRIZELE NATURALE

Simplificarea calculului prizeelor de pămînt naturale în rețelele aeriene se poate face ușor prin modelarea în cuvă electrolitică. Modelarea se face ținând cont de concluziile din /3.1/, complectate cu concluziile obținute din măsurările autorului.

Prizele studiate în cuvă de autor și distribuția potențialului pe suprafața solului omogen în vecinătatea acestora sunt prezentate în fig.4.9.

Rezistența de dispersie a prizeelor naturale ale stâlpilor este dată de relația /3.1/.

$$R = \frac{Q_s}{H} \cdot K_f K_s \cdot K_b \quad (4.2)$$

Rezistența de dispersie geometrică (definită în cap. 2 denumită și factor de geometrie a prizei) $R_g = R^2$ devine:

$$R^* = \frac{K_f K_s K_b}{H} = \frac{R}{Q_s} \quad (\text{1/m}) \quad (4.3)$$

Aici Q_s - rezistențitatea medie a solului ($\Omega \text{ m}$)

H - adâncimea de plantare (m)

K_f - factor de formă sau coeficient de similaritate determinat prin

măsurări în cuvă;

K_s - coeficient de neuniformitate a solului. Pentru fundații tip pilot sau stâlpi singulari el are valoarea a 1,5 iar pentru fundații tip ciupercă valoarea 2/3.1./

K_b - coeficient datorat stratului de beton; conform măsurărilor autorului $K_b = 1,25$.

In cazul fundațiilor burate, cu straturi alternative de piatră și pămînt se

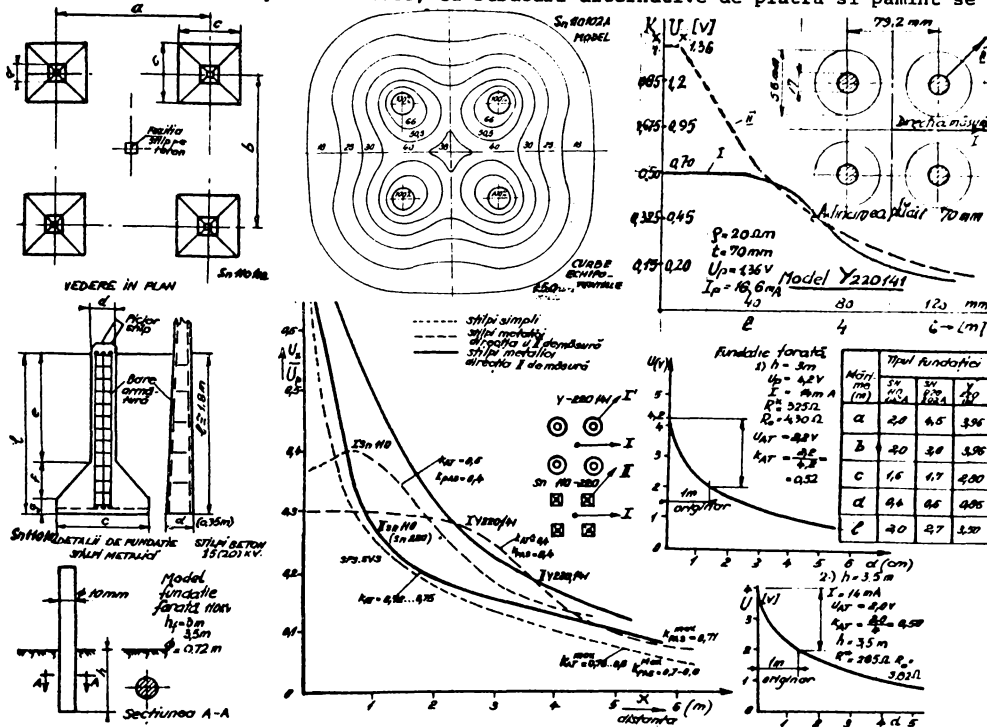


Fig.4.9. Modele de prize studiate și distribuția potențialului pe suprafața solului omogen

va ține cont de majorarea rezistenței de dispersie datorită burării.

Conform măsurărilor autorului coeficientul de majorare datorat burării este 1,2...1,4.

Valorile coeficienților de similitudine K_f ai prizelor naturale, după /3.1/ sunt prezentate în fig.4.10.

Pe baza datelor din figurile 4.9 și 4.10 se pot determina rezistențele de dispersie și coeficienții de atingere (superiori în toate cazurile coeficienților de pas) mărimi care sunt prezentate în tabelul 4.2.

Rezultatele măsurărilor în cuvă s-au verificat practic prin măsurări în teren. Rezultatele măsurărilor în teren s-au trecut în paranteze în tabelul 4.2. La măsurările în teren, sondarea solului s-a executat cu aparatul ATAP - elaborat de autor. De asemenea, măsurarea coeficienților de atingere și de pas s-a făcut comparativ cu surse de putere și cu aparatul autorului. Diferențele între valorile de calcul obținute prin măsurări în cuvă și cele măsurate în teren provin din neomogenitatea solului. De altfel datele obținute în cuvă se suprapun destul de bine peste cele obținute în teren.

De asemenea rezultatele obținute la măsurările în cuvă s-au comparat cu cele de calcul. Se observă că alura curbelor echipotențiale și distribuția potențialului obținute la măsurări în cuvă, concordă bine cu rezultatele calculului concretizate în fig.3.8 din cap.3 fapt ce reconfiră avantajele și eficiența modelării /prizele din fig.3.8.

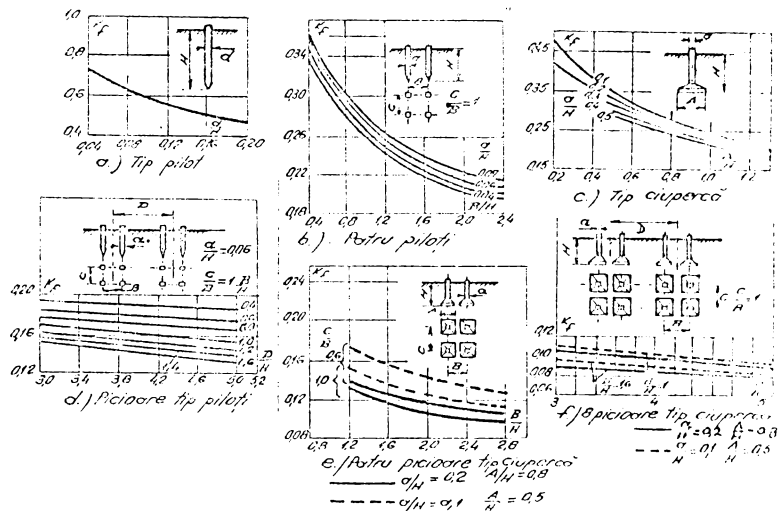


Fig.4.10. Coeficientii de similitudine ai prizelor naturale in sol omogen

Tabelul 4.2.

Rezistențe de dispersie și coeficientii de atingere ai prizelor naturale ale stîlpilor LEA

Nr. crt.	Tipul stîlpului și fundației	Rezistență geometrică de dispersie $R^*(1/m)$		Coeficient de atingere maxim	Coeficient de pas maxim
		1 Picior	4 Picioare		
1	S_n 110 102 A Fundatăie armată	0,50	0,15 (0,14)	0,73...0,75 (0,74)	0,71 (0,70)
2	S_n 220 202 A Fundatăie armată	0,20	0,10	0,72...0,74	0,70
3	Y 220 141 A Fundatăie ciuperca	0,16	0,08	0,52	0,32
4	SC 1165 Beton Fundatăie forată $h_f = 3$ m	0,166 (0,173)	-	0,52 (0,60)	0,50 (0,60)
5	SC 1165 Beton Fundatăie forată $h_f = 3,5$ m	0,148 (0,157)	-	0,50 (0,48)	0,48 (0,48)
6	SCS-35002-35 kV Beton. Fundatăie forată; $h_f=2,4$ m	0,30 (0,3)	-	0,64	0,64 (0,65)
7	SV,SC,SE-15 kV Fundatăie burată $h_f=1,8$ m	0,45 (0,42)	-	0,76...0,78 (0,77)	0,7...0,8
8	Se-1 kV. Fundatăie burată. $h_f=1,8$ m	0,50 (0,48)	-	-	-

⁷⁰
și 4.9 nu sunt similare de unde rezultate cantitativ deosebite).

In ultimul timp, Korsuntev /4.12/ indică modul cum pot fi calculate prizele naturale pe baza coeficientilor de similitudine determinați pentru sol neomogen, din două straturi orizontale prin măsurări în cuvă.

Măsurările în cuvă s-au executat prin separarea celor două straturi diferențe printr-o membrană specială, conductivă transversal. Rezultatele obținute la măsurări sunt prezentate în fig. 4.11.

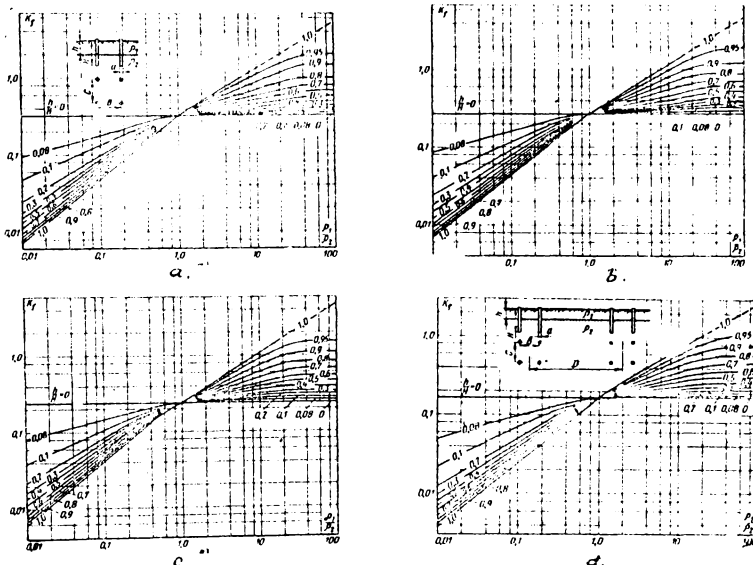


Fig. 4.11. Coeficientii de similitudine ai prizelor naturale în sol neomogen

$$a) \frac{B}{H} = 1,0; \quad b) \frac{B}{H} = 1,5; \quad c) \frac{B}{H} = 2,0 \quad . \quad \frac{a}{H} = 0,05; \quad \frac{B}{C} = 1,0 \\ d. \quad \frac{a}{H} = 0,05 \quad \frac{B}{C} = 10 \quad . \quad \frac{B}{H} = 1,0 \quad \frac{D}{H} = 3$$

In cazul fundației simple, rezultatele obținute de Korsuntev se suprapun peste cele obținute de autor prin calcul, fapt ce constituie confirmări a rezultatelor analitice și experimentale. Din acest motiv, nu s-au mai prezentat în figură valorile pentru un singur picior de fundație.

Utilizarea datelor obținute la măsurările pe model, simplifică mult problema calculării prizelor de pămînt a stîlplilor LEA, situați în sol omogen sau neomogen.

Bibliografie. Cap.4

- /4.1/ CATALIOTTI,V., CECCONI,V. - Una vasca elettrolitica di grandi dimensioni. In: L'Energia Electtrica 43 nr.4 (april.) 1966, p.233-237
- /4.2/ JURKE,M. Bestimmung des Ausbreitungswiderstands ausgedehnter Erderanordnungen mit Hilfe des elektrolytischen Trogs. In: Elektric 20 nr.9, sept.1966, p.356-359.
- /4.3/ RABA,H.H. Metodica isledovania zazemlitelei v electroliticescoi vanne. In: Promišlennaja energetika 21 nr.6, iun.1966, p.27-32.
- /4.4/ RABA,H.H. Primenenie electroliticheskikh vann polisfericescoi formi dlja modelinovanija zezemlitelei v dvuhslojnom grunte. In: Promišlennaja energetika 22, nr.4, april. 1967, p.36-40.

- 7/4.5/ SERBANESCU,B. - Determinarea cîmpurilor electrostatice în transformatoare cu ajutorul băii electrolitice. In: Electrotehnica nr.8, aug.1960,p.286-293.
- /4.6/ FALETTI, ROSSIGNONI, MALEMAN - Alcuni risultati di ricerca su modello degli impianti di messa alla terra. In: L'Energia electrica 33, 1955,p.560-565, 25, 1951, nr.5, p.441-475.
- /4.7/ VANICOV,V.A. Aplicarea teoriei similitudinii și a modelării în electroenergetică. Traducere din limba rusă. Ed.tehnică, București 1972.
- /4.8/ SCHWAB,F. Teoria dei modelli e misure sui modelli. In: Bull.A.S.E. 57,nr.25, nov.1966,p.1045-1050.
- /4.9/ BRANDOLINI,A. Misure di rezistività in terreno non omogeneo. Prove su modello Rendicanti della LXXII - Reunioni Anuale AEI. 1971. Rap.3.10.
- /4.10/ BRANDOLINI,A. Verso una generalizzazione del progetto automatico di una sistema di messa a la terra. In: L'Ellettrotechnica 57 nr.2 febr.1970,p.67-82.
- /4.11/ BABES,V. Considerații asupra măsurării rezistivității în terenuri neomogene. Sesiunea Jubiliară a Facultății de Electrotehnică Iași, decembrie, 1972.
- /4.12/ KORSUNTER,A.V. Soprotivlenie zazemlenia svainfih fundamentov opor linií v neodnorodnih gruntah. In: Electriceschie Stanții 44, nr.4 aprilie 1973, p.75-77.
- /4.13/ GOIA,L. Baia electrolitică pentru studiul pe model al prizelor de pămînt. In: Electrotehnica 16 nr.10 oct.1968,p.389-395.

5. METODE SI APARATE UTILIZATE LA MASURAREA INSTALATIILOR DE LEGARE LA PAMINT

5.1. MASURAREA PARAMETRILOR PRIZELOR IN TEREN

5.1.1. Generalitat

La darea în exploatare a instalațiilor de legare la pămînt se impune verificarea efectivă, prin măsurări a modului în care acestea asigură condițiile tehnice și de securitate impuse de norme și prevăzute în proiect.

Măsurările se pot executa atât în condiții de defect real prin priză (cu curentul prin priză egal cu cel de calcul al instalației $I_p = I_{calc}$) cît și la valori de curent $I_p \ll I_{calc}$, caz în care se consideră că se execută măsurări, "prin similitudine" (cu asterisc se notează valorile măsurate prin similitudine). În aceste cazuri se determină R_p și tensiunile de atingere U_{AT}^* , de pas U_{PAS}^* sau pe sol U_x^* (fie coeficienții K_{AT}^* , K_{PAS}^* , K_x^* , independenți de curentul prin priză) /5.6/

$$K_{AT}^* = \frac{U_{AT}^*}{U_p^*} = \frac{U_{AT}^*}{\frac{U_{AT}}{R_p}} = \frac{1}{R_p} \cdot \frac{U_{AT}^*}{I_p^*} - \text{coeficient de atingere}$$

$$K_{PAS}^* = \frac{U_{PAS}^*}{U_p^*} = \frac{U_{PAS}^*}{\frac{U_{PAS}}{R_p}} = \frac{1}{R_p} \cdot \frac{U_{PAS}^*}{I_p^*} - \text{coeficient de pas}$$

$$K_x^* = \frac{U_x^*}{U_p^*} = \frac{U_x^*}{\frac{U_x}{R_p}} = \frac{1}{R_p} \cdot \frac{U_x^*}{I_p^*}$$

In mod obișnuit, coeficienții K_x^* depind puțin de rezistivitatea solului, fiind independenți de aceasta în cazul solului omogen. Pe această bază, ei pot servi foarte bine la analiza comparativă a diferitelor instalații de legare la pămînt.

Pentru execuția măsurărilor sunt necesari doi electrozi auxiliari (sau prize auxiliare) - unul pentru închiderea curentului de măsură I (electroful A sau priza P_A) și altul pentru măsurarea tensiunii (sonda S). În acest caz, schema simplificată a măsurării este cea prezentată în fig.5.1.a . Teoretic, amplasarea celor trei prize P,A,S ar trebui astfel realizată încât zonele lor de dispersie de curent să nu se intersecteze. Această condiție poate fi însă simplificată. Se pot distinge în acest context două situații principal diferențite.

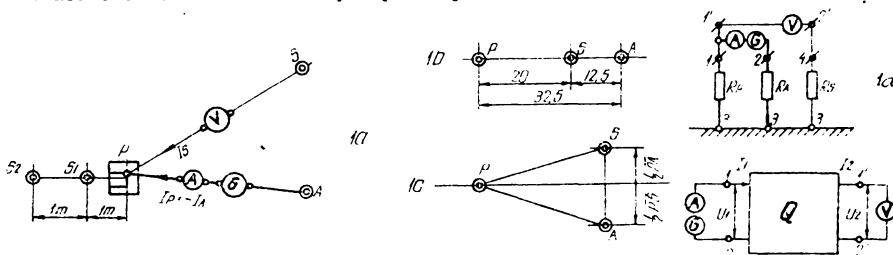


Fig.5.1. Schema de principiu a măsurătorilor la prizele de pămînt

- cazul prizeelor P,A, elemente concentrate cu potențial constant de-a lungul electrozilor metalici (stilpi MT, IT, PT);

- cazul prizeelor P,A, elemente de mare lungime la care nu se poate considera potențialul constant de-a lungul electrozilor (Stații și PA cu prizele naturale conectate la priza stației - fire gardă, cablu cu manta metalică, șine, conducte).

a) Prize concentrate

Conform analogiei electrostatice, potențialele celor 3 electrozi A,S,P,

73

respectiv V_A , V_S , V_p , sunt date de relațiile lui Maxwell (6.1).

$$\begin{aligned} V_A &= \alpha_{AA} I_A + \alpha_{AS} I_S + \alpha_{AP} I_p \\ V_S &= \alpha_{SA} I_A + \alpha_{SS} I_S + \alpha_{SP} I_p \\ V_p &= \alpha_{PA} I_A + \alpha_{PS} I_S + \alpha_{PP} I_p \end{aligned} \quad (5.1)$$

În (5.1) V_{PP} , V_{AA} , V_{SS} sunt rezistențele proprii de dispersie ale electrozilor P, A, S iar $\alpha_{ij} = \alpha_{ji}$ rezistențele reciproce ale electrozilor i și j, mărimi ce depind de distanțele reciproce între electrozi (considerați relativ punctiformi) SA, SP, PA.

Considerind $I_S = 0$ și $I_p = -I_A$, valoarea măsurată R_p^m a rezistenței reale devine:

$$R_p^m = \frac{V_p - V_S}{I_p} = \alpha_{PP} - \alpha_{PA} - \alpha_{SP} + \alpha_{SA} = R_p + \alpha_{SA} - \alpha_{PA} - \alpha_{SP} = R_p - \Delta R$$

După /5.1/ și /5.4/ pentru a avea măsurări corecte $\Delta R = 0$ și apare necesitatea unor corelații între distanțele dintre electrozi

$$\alpha_{SA} = \alpha_{PA} + \alpha_{PS} \quad (5.2)$$

Considerând schema din fig.5.1 un quadripol pasiv se poate demonstra /5.8/, /5.4/ că schimbarea între ei a electrozilor A de curent și S de potențial conduce tot la o măsurare corectă, fiind o confirmare a lui (5.2) și demonstrând că Q este un quadripol zeciproc (AD-BC=i).

Pentru cazul când se măsoară coeficientul de atingere, se utilizează elec-trodul S_1 , plasat la 1 m de coborârea la priză. În acest caz, coeficientul de atingere se poate determina din (5.4) ținând cont de (5.2).

$$\begin{aligned} K_{AT} &= \frac{V_p - V_{S1}}{\sqrt{V_p - V_S}} = \frac{\alpha_{PP} - \alpha_{PA} - \alpha_{S1P} + \alpha_{S1A}}{\alpha_{PP} - \alpha_{PA} - \alpha_{SP} + \alpha_{SA}} = 1 - \frac{\alpha_{PA} + \alpha_{S1P} - \alpha_{S1A}}{R_p} = \\ &= 1 - \frac{\Delta R_{P1}}{R_p} = \frac{R_p^m}{R_p} = 1 - \xi_1 \end{aligned} \quad (5.3)$$

unde $\xi_1 = \frac{R_{P1}}{R_p} = \frac{R_p - R_p^m}{R_p}$ - este eroarea relativă ce s-ar obține considerând că

la măsurarea rezistenței R_p , elec-trodul Sondă de potențial nu s-ar monta corect în S ci în S_1 pe teritoriul prizei.

Coefficientul de atingere se poate deci defini ca raportul între rezistența prizei R_{P1}^m - măsurată în cazul plantării elec-trodului de potențial într-un punct S ales neconform cu (2), și R_p rezistența reală a prizei.

In mod analog se poate deduce:

$$K_{PAS} = \frac{R_{P1}^m - R_{P2}^m}{R_p} = \frac{\alpha_{S1A} - \alpha_{S2A} + \alpha_{S2P} - \alpha_{S1P}}{\alpha_{PP}} \quad (5.3.a)$$

unde R_{P2} - corespunde măsurării cu sonda plasată în punctul S2 la 1 m de S1.

Respectarea lui (5.2) și (5.3) permite executarea unor măsurări corecte în teate situații practice. Vor fi analizate cazul prizelor punctiforme și cel al prizelor nepunctiforme.

a) Prize punctiforme. Dacă I și J sunt electrozi punctiformi (pot fi considerați relativ punctiformi), atunci cîmpul lor în sol omogen apare radial, sferic.

In acest caz $\alpha_{IJ} = \frac{Q}{2\pi IJ}$, unde IJ este distanța între electrozii I și J.

Astfel (5.2) devine după /5.2/

$$\overline{SA} = \frac{\overline{PS} \cdot \overline{PA}}{\overline{PS} + \overline{PA}} \quad (5.4)$$

Din considerente de simetrie Oslon /5.2/ recomandă $PA=PS$ și în acest caz $SA = \frac{1}{2} PA = \frac{1}{2} PS$.

b) Prize nepunctiforme. În cazul prizelor nepunctiforme, distanțele între electrozii de măsură și priză se iau după instrucțiunile de măsurare din R.S.R. /5.1/ conform fig.5.2. Dacă PS și PA sunt suficienți de mari pentru ca în S și A cîmpul prizei să fie radial sferic eroarea de măsură sistematică a măsurătorii conform (5.2) nu depășește în general 7,5 %.



Fig.5.2. Distanțe între electrozii de măsură

Aceasta poate fi considerată acceptabilă dar evident, în cazul prizelor extinse, realizarea distanțelor dintre P, S , și A conform fig.5.2.a, este dificilă. /5.2/ și /5.3/ recomandă distanțele care asigură precizia necesară măsurărilor (indicate în fig.5.2.b).

c) Prize de mare extindere. În cazul prizelor de mare extindere la care nu se mai poate considera constant potențialul de-a lungul electrozilor metalici și la care sunt legate diferențite prize naturale, situația se modifică mult față de cazul precedent, distanțele din fig.5.1 și 5.2. nemai asigurând corectitudinea măsurărilor.

Pentru asigurarea preciziei dorite, se vor face măsurări pentru distanțe variabile între electrozii de măsură după cum arată fig.5.3. Se consideră convenabile distanțele \overline{PS} pentru care valorile măsurăte ale rezistenței se situează pe palierul diagramei din fig.5.3.b (porțiunile hașurate).

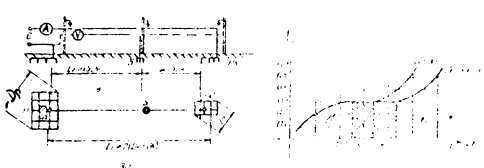


Fig.5.3. Distanțe între electrozi de măsură

A trebui astfel aleasă încît în punctul A , potențialul produs de P să fie sub 5 %. Rezultă $\frac{U}{U_{\max}} < 0,05$. Din această condiție rezultă /5.9/.

Pentru linii aeriene $X_{\min} = 2,5 \dots 3,0$ km

Pentru linii subterane $X_{\min} = 1,5 \dots 6,0$ km

Calculele sunt făcute pentru cazul cînd PA e o priză concentrată. Dacă conducta metalică luată în considerare se leagă și la PA , distanțele de mai înainte trebuie în general mărite.

5.1.2. Practica măsurărilor.

Executarea măsurării rezistenței și coeficientilor de potențial se face în cazul prizelor extinse prin alimentarea montajului de la o sursă auxiliară de putere. /transformator MT/JT, transformator de sudură /5.9/, generator portabil.

In cazul unor prize de suprafață redusă - (concentrate) măsurarea se poate face mai simplu - cu ajutorul unor aparate de măsură portabile cu sursă proprie (curenți mici) sau prin punerea simplă la pămînt a unei faze la utilajul verificat - (în rețelele cu neutru izolat).

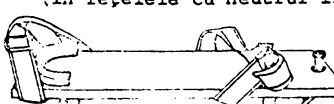


Fig.5.4.Papuci pentru măsurarea U_{AT} și U_{PAS} .

In scopul cererii presiunii de contact cu solul, necesară la măsurările tensiunilor de atingere și de pas în vechile norme se preconiza utilizarea unei plăci metalice de $0,35 \times 0,35$ m² cu grosimea de 2...3 mm, pe care se așeza o greutate uniform repartizată de 80 kg. O măsurare de acest gen este complicată și greu de realizat. In scopul simplificării și pentru a realiza condiții cît mai apropiate de cazurile reale s-au construit în IRME papuci

75 din fig.5.4. Conform experienței autorului, la măsurările pe sol în locul papucilor pot fi utilizati țăruși metalici ascuțiți cu condiția ca să nu fie plantați prea adînc (1-2 cm). Conform (6.6) diferențele între cele două metode la măsurări sunt neglijabile și provin doar din erorile proprii ale aparatelor de măsură și din măsurările lungimilor.

Pentru măsurările pe ciment, beton, etc., singura soluție acceptabilă rămîne cea cu papuci speciali din fig.6.4.

Măsurarea rezistenței de dispersie se execută aproape în exclusivitate în curent alternativ pentru a exclude influența fenomenului de polarizare.

Pe priza de măsurat apare în mod obișnuit un potențial nenul, U_0 chiar în absența curentului de măsură, denumit potențial residual sau perturbator, avînd cel mai adesea caracter alternativ, sinusoidal de 50 Hz (0,5...2,5 V).

Neglijarea lui poate conduce la eroare de 100 % și mai mult, potențialul perturbator fiind de același ordin de mărime cu potențialul produs de curentul de măsură.

In cazul sursei de putere de 50 Hz, la calculul rezistenței și a tensiunilor de atingere sau pas trebuie luat în considerare și potențialul perturbator.

Din acest motiv măsurările tensiunii trebuie executate de trei ori - prima dată, în absența curentului de măsură cind se măsoară U_0 - potențialul perturbator și apoi de două ori în sarcină inversând conexiunile sursei de putere, cu inversorul H (fig.5.5). Dacă la măsurări, tensiunea pe priză nu prezintă bătăi, tensiunea perturbatoare are 50 Hz - și tensiunea pe priza de măsurat U_p produsă de curentul de măsură I_m se determină cu relația

$$U_p^r = \sqrt{\frac{U_1^2}{2} + \frac{U_2^2}{2} - U_0^2}$$

unde U_1 și U_2 sunt tensiunile măsurate în cele două conexiuni ale lui H. Aplicarea practică a recomandărilor de mai sus cuprinse pe larg în lucrarea autorului /5.9/ permite anularea erorilor de măsură sistematice și ridică mult acuratețea rezultatelor.

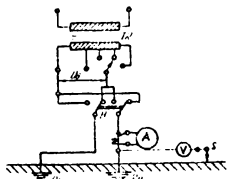


Fig.5.5. Evitarea influenței potențialului perturbator pe priză

5.1.3. Deficiențele metodelor actuale de măsurare.

a) Potențialul perturbator pe priza de măsurat.

Tensiunile perturbatoare apar pe priza de măsurat datorată inducției, curentilor vagabonzi, dezechilibrului curentului pe faze etc.

Măsurările executate de autor au scos în evidență caracteristicile principale ale tensiunilor perturbatoare prezентate în fig.5.6 a și b pentru prizele din sistemul energetic la RSR (51 stații).

In majoritatea cazurilor cercetate, tensiunea perturbatoare pe priză are valori sub 1...1,5 V.

Anularea influenței acestor tensiuni reprezintă o problemă complicată împuñind în general triplarea măsurărilor sau necesitând surse de foarte mare putere și tensiune. Mărirea curentului de măsură reprezintă o condiție proibită de stabilitate termică a prizei (1,5 V la o priză de 0,05 Ω necesită pentru o eroare sub 5 % un curent de 600 A).

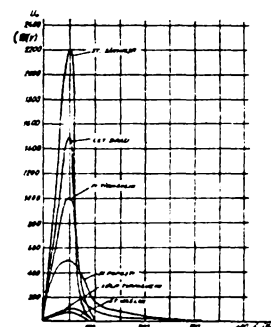
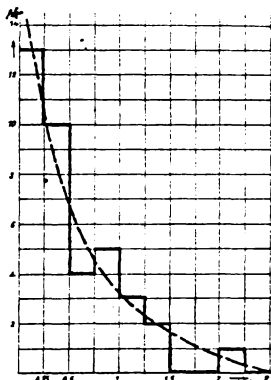


Fig.5.6. Caracteristicile tensiunilor perturbatoare pe prizele de măsurat

b) Sursa de alimentare.

Sursa pentru alimentarea montajului, mobilă și de putere relativ ridicată în majoritatea cazurilor este greu transportată și manipulată. În cazul statiilor de transformare ca sursă auxiliară poate fi utilizat transformatorul de servicii interne. Nici în acest caz problema nu este simplă deoarece, trebuie asigurată și sursa pentru încălzirea filamentelor lămpilor voltmetrului electronic de măsură (deci o tensiune separată de 220 V).

Nu poate fi neglijată nici energia electrică furnizată de sursă pe durata măsurătorilor (sute de kWh).

c) Manevre greoaie pentru realizarea montajului.

De obicei realizarea montajului obligă scoaterea din funcțiune a stației ce se măsoară, a instalației ce oferă priză auxiliară precum și a liniei de legătură între acestea. De obicei asigurarea condițiilor măsurării nu este de loc ușoară (trebuie asigurate condiții nepericuloase de muncă cu precădere pe teritoriul pri-zei auxiliare P_A care are în general valori mult mai mari ca P). Din acest motiv se preferă de obicei executarea măsurărilor concomitent în ambele stații.

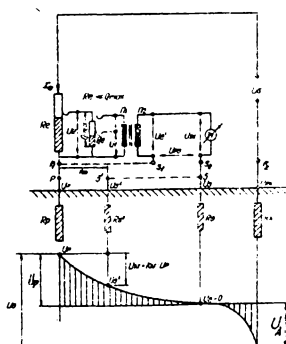
Toate elementele indicate fac să se poată considera că măsurarea în metoda actuală cu sursa de 50 Hz prezintă inconveniente importante.

Față de deficiențele metodelor actuale de măsură s-a impus găsirea unei soluții noi care să rezolve problema, asigurând acuratețea cerută rezultatelor și permitând simplificarea metodologiei măsurărilor.

5.2. METODA SI APARAT PROPRIU PENTRU MASURAREA PRIZELOR

5.2.1. Metoda de măsură

Măsurarea rezistenței prizelor. Se poate face cu metoda compensării (puntea Behrend). Soluția a fost aplicată și la aparatul Norma, APP (IRME) etc. S-a propus ca (fig.5.7) și în cazul măsurării coeficienților de atingere să se folosească același principiu de măsură - (al compensării în puncte Behrend). /5.6/.



In acest caz, după măsurarea rezistenței echilibrarea făcută cu R_e și cu Q_e pe poziția Q_e^{\max} se comută sonda S într-un punct S' , la distanța de 1 m de coborârea la priză. În acest caz indicatorul de nul se dezechilibrează și readucerea sa la zero se realizează de astă dată conform ideii noii a autorului cu potențiometrul Q care în

momentul măsurării lui $R_p = R_e \frac{n_2}{n_1}$ era la valoarea Q_{\max} .

Noul echilibru se obține pentru o valoare a raportului

$$\frac{Q_e}{Q_{\max}} = K_e. \text{ În acest caz dacă } R_e \ll Q_{\max}.$$

$$U_1 = I_e R_e \frac{Q_e}{Q_{\max}} = I_o R_e K_e; U_{e'} = - I_e R_e e \frac{n_2}{n_1}$$

Pe altă parte:

$$U_{PS'} = U_{AT} = U_p \cdot K_{AT} = I_e R_p \cdot K_{AT}$$

Din: $U_{e'} + U_{PS'} = 0$ la noul echilibru se obține $K_{AT} = K_e$

deci raportul potențiometrului Q la noul echilibru este

chiar coeficientul de atingere.

Aparatele actuale în puncte Behrend, Norma, APP-2 (IRME) nu sunt proprii măsurărilor tensiunilor de atingere și pas din cauza /5.6/: potentialului perturbator, a sensibilității insuficiente pentru măsurarea coeficienților de atingere și pas și a rezistenței de intrare relativ mică ($r_i < 3 k\Omega$).

ACESTE ELEMENTE AU CONDUS LA NECESITATEA REALIZĂRII UNUI APARAT NOU, STRUCTURAL DIFERIT DE CELE EXISTENTE.

5.2.2. Aparatul ATAP

In prima etapă s-a realizat un aparat pentru măsurarea coeficienților de atingere și de pas. Soluția de prioritate ale acestuia (fig.5.8) sunt alegeră unei frecvențe de lucru optime, introducerea unui filtru de rejetie care tăie frecvența de 50 Hz (C) și a unui amplificator selectiv cu frecvență de rezonanță (280 Hz) egală cu cea de lucru (1). Utilizându-se în continuare detectorul de nul

sensibil la fază (2 și 3).

Pentru mărirea sensibilității măsurării rezistența de intrare a circuitului de tensiune a fost mărită.

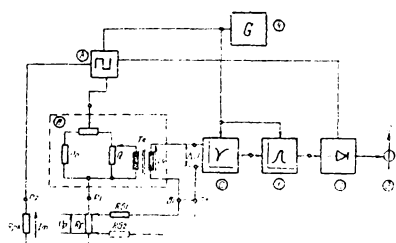


Fig.5.8. Schema bloc a aparatului ATAP -

- A - generator 275 ... 281 Hz
- B - grup măsură
- C - filtru rejectie 50 Hz
- 1 - amplificator selectiv
- 2 - detectoare sensibile la fază
- 3 - instrument indicator cu zero la mijloc
- 4 - baterii cu alimentare
- R_p - rezistență prizei de pămînt
- R_{pA} - rezistență prizei auxiliare
- RS1 - RS2 - rezistență pe contact cu solul sondelor

a) Frecvența de lucru

Alegerea frecvenței de lucru s-a făcut pe baza datelor din fig.5.6.b care demonstrează că la 50 Hz tensiunile perturbatoare au valori de ordinul voltajelor pentru 200 Hz și mai mult nu depășesc 12 mV, efectul lor putând fi ușor înălțărat.

Depărtarea frecvenței de lucru de la industrială contribuie la ușurarea realizării filtrului de rejecție. În cap.2 s-au calculat variația atenuării pe electrozi de priză și s-a tras concluzia că la $f = 300$ Hz și lungimi de priză pînă la 40 m atenuarea tensiunii pe priză nu depășește 4 % ceea ce se poate considera întrutoțul acceptabil.

Măsurări multiple asupra unor prize de configurații diferite au condus de asemenea la concluzia că nici coeficientii de distribuție a potențialului nu se modifică semnificativ cu variația frecvenței pînă la 300 Hz (tabelul 5.1).

Tabelul 5.1.

Distribuția potențialului măsurat la diferite frecvențe

Distanța de priză (m)	Direcția de măsură	Coeficientii de distribuție a potențialului măsurat cu voltmetrul electronic					Abate- rea maximă %	Valoarea măsurată cu ATAP
		50 Hz	78 Hz	425 Hz	225 Hz	280 Hz		
1	2	3	4	5	6	7	8	9
0,2	Direcția I-a	0,212	0,205	0,207	0,203	0,21	4,5	0,22
0,4		0,27	0,267	0,274	0,27	0,278	4,2	0,30
0,6		0,38	0,38	0,385	0,385	0,395	3,9	0,42
0,8		0,455	0,45	0,463	0,46	0,473	4,9	0,47
1,0		0,555	0,55	0,56	0,55	0,555	2	0,555
0,2	Direcția II-a	0,40	0,387	0,392	0,39	0,406	2,2	0,42
0,4		0,485	0,485	0,475	0,475	0,50	5	0,48
0,6		0,575	0,56	0,56	0,57	0,585	5	0,57
0,8		0,629	0,624	0,615	0,615	0,635	3,2	0,63
1,0		0,655	0,655	0,64	0,66	0,675	5,5	0,67
	Tensiunea pe priză (mV)	0,206	0,206	0,205	0,204	0,205	-	-

Din aceste motive s-a adoptat frecvența de lucru de 280 Hz care nu este armonică a frecvenței industriale și asigură realizarea tuturor condițiilor impuse aparatului.

b) Rezistența de intrare a aparatului

La metoda voltampermetrică, rezultatele măsurării U_{AT} sunt cu atât mai exacte cu cît rezistența internă a voltmetrului e mai mare.

Totuși rezistența de intrare nu poate fi mărită prea mult deoarece în acest caz devin sensibile influențele cîmpurilor parazite exterioare din teren (radio, influențe electrostatice,etc.) /5.6/. Pentru a realiza aceste condiții contradictorii s-au încercat cîteva valori pentru rezistența de intrare a aparatului și valoarea optimă găsită, confirmată de rezultatele ulterioare obținute a fost de 150 k Ω .

c) Puterea generatorului.

Sensibilitatea necesară la măsurarea coeficienților de atingere și pas s-a obținut prin următoarele metode:

- mărirea puterii generatorului față de ATAP, Norma etc.
- mărirea cîstigului amplificatorului
- mărirea sensibilității detectorului

Acționînd individual asupra fiecărui element indicat s-ar fi obținut fie un aparat neportabil, avînd nevoie de alimentare de la acumulator fie o instabilitate a amplificatorului cu o hipersensibilitate la perturbații.

Problema dificilă ridicată de construcția aparatului a fost aceea a alegerii puterii la ieșirea generatorului. În acest sens s-au făcut investigații asupra unor prize de mare și medie extindere.

Măsurările executate cu GAF și voltmetru selecțiv au confirmat presupunerea inițială ca la curenti mici K_{AT} și R_p sătăcău de curentul prin priză. Rezultările măsurărilor prezентate în tabelul 5.2 indică faptul că pentru măsurări corecte sătăcău curenti de măsură de ordinul zecimilor de amperi (peste 0,5A pînă la 1 A).

În acest sens s-a adoptat soluția de compromis cu un generator de 2 W la ieșire.

Tabelul 5.2.

Influența curentului prin priza asupra rezistenței și coeficienților de atingere măsurăți

f	50 Hz				75 Hz				280 Hz			
	U _p (V)	U ₀₅ (V)	I _p (A)	R _p	U _{AT}	K _{AT}	U _p (V)	U ₀₅ (V)	I _p (A)	R _p	U _{AT}	K _{AT}
Primi model/ 1.2000	0,165	0,54	2,65	2,85	0,170	0,550	2,60	2,92	0,180	0,56	2,60	3,80
Al doilea model/ 2.2000	0,033	0,041	0,13	0,13	0,044	0,045	0,13	0,13	0,050	0,050	0,135	0,138
Primi model/ 1.2000	0,086	0,328	1,89	2,03	0,090	0,330	1,840	2,060	0,098	0,340	1,865	2,065
Al doilea model/ 2.2000	1,87	1,49	1,41	1,40	1,82	1,52	1,39	1,40	1,97	1,50	1,36	1,36
Primi model/ 1.2000	0,132	0,50	2,52	0,72	0,126	0,505	2,47	2,79	0,130	0,51	2,465	2,652
Al doilea model/ 2.2000	0,80	0,92	0,955	0,955	0,74	0,917	0,953	0,955	0,725	0,91	0,948	0,948
Primi model/ 1.2000	0,20	0,33	0,65	1,23	0,195	0,34	0,64	1,28	0,215	0,35	0,676	1,35
Al doilea model/ 2.2000	0,0266	0,0275	0,03	0,042	0,021	0,022	0,026	0,042	0,033	0,036	0,037	0,043
Primi model/ 1.2000	0,065	0,117	0,233	0,515	0,066	0,116	0,246	0,518	0,059	0,110	0,224	0,485
Al doilea model/ 2.2000	3,08	2,6	2,73	2,50	2,94	2,92	2,62	2,46	3,62	3,14	2,98	2,74
Primi model/ 1.2000	0,174	0,302	0,62	1,238	0,174	0,32	0,614	1,238	0,182	0,314	0,633	1,30
Al doilea model/ 2.2000	0,87	0,915	0,955	0,963	0,895	0,942	0,96	0,963	0,845	0,90	0,948	0,965

d) Descrierea schemei bloc a aparatului

Schema bloc a aparatului este prezentată în fig.5.8.

Acesta are o sură proprie de alimentare A în figură, generator convertizor de tensiune rectangulară, cu tensiune constantă și frecvență fixă, fiind portabil și cu alimentare de la baterii uscate 6 x 1,5V.

Schema realizată de aparat debitează curentul I_m în circuitul de măsură format de grupul de măsură B, rezistența prizei de măsură R_p și rezistența prizei auxiliare R_{aux}.

În sfîrșitul măririi preciziei se înălță efectul tensiunilor perturbatoare ce apar pe R_p prin utilizarea la intrarea amplificatorului de măsură I a unui filtru de reacție, "C" acordat pe frecvența rețelei (50 Hz). În același scop amplificatorul I este selectiv, fiind acordat pe 280 Hz și realizând o atenuare de 10

pt. a frecvențelor de 250 și 300 Hz.

Detectoarele 2 care alimentează aparatul indicator 3 este de tip sincron, fiind determinat tot de Δf .

Scoiciunții de atingere și de pas se măsoară cu ajutorul sondelor R_{S1} și R_{S2} și R_p și R_{S3} (K_{PAS}).

3.7.3. Rezultatele experimentale

Aparatul construit a fost verificat prin măsurări în laborator și în condiții de teren.

Măsurările în laborator au simulațat condițiile practice din teren pe prize cu 100, 117, 127 Hz care aveau o tensiune perturbatoare de 50 Hz de valori mai mari ca 1 V.

În măsurărea în laborator s-a dobată /6.8/ că sprijinul executat corespunde sarcinilor impuse, precizia lui fiind corespunzătoare și influența tensiunii perturbatoare neimportantă (< 2,5 %). S-a putut reține de acestea că sensibilitatea instrumentului este corespunzătoare.

În verificările interne pe prize de configurații diverse ($R_p=0.975 \dots 20\Omega$, $1.080 \text{ V} \dots 0.75 \text{ V}$), exactitatea cu care se obțină legătură ecranată între măsurătoarele popărare cu voltmetru electronic și cu ACAP corespund clasei de precizie de 1/3 de care se dovedește corespunzătoare scopurilor practice.

În urmă verificarea în teren a primei variante a aparatului s-a trecut la configurația unui aparat mai practicabil care insumează posibilitățile aparatului ATAP existent în INR și a ATAP-ului, permitând măsurarea atât a tensiunilor de lucru și de pas și a rezistivității solului și a rezistenței prizelor. Realizarea acestui aparat reprezintă o prioritate tehnică românească, fapt confirmat de documentul elaborat de CSIR /3.1/.

Marul său poate fi realizat aparatul ATAP la măsurarea rezistivității solului este prezentat în fig. 5.10. Se șează în ordine electrozi AMN3 păsați ca în figura 5.1 și se culește diferențiala legătură între bornele S_1 și S_2 ale aparatului depărtând cîndările de amprentă de cel de tensiune. Se conecteză bornele P_1 , S_1 și P_2 la diferențialul ATAP în ordinea indicată. Aparatul este astfel pregătit pentru măsurare, și trebuie să se aducă la zero indicatorul de nul (echilibrare).

În momentul acestuia se va nota că în circuitul curent

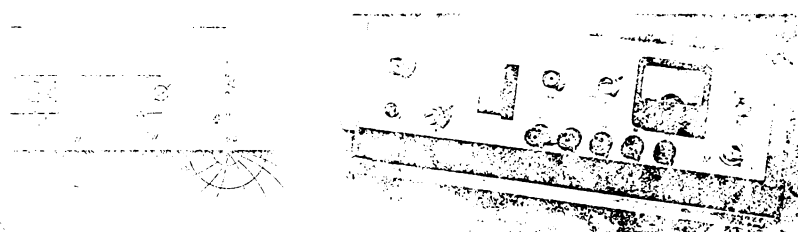


Fig. 5.9. Fotografia aparatului ATAP

Fig. 5.10. Măsurarea rezistivității solului cu aparatul ATAP

$$U_{ATAP} = U_e = -C_e I_e R_e \frac{n_2}{n_1}$$

Rezultă:

$$\frac{U_{ATAP}}{I_e} = R_e \frac{n_2}{n_1} = R_s$$

R_s fiind rezistența electrică măsurată de aparat în momentul echilibrului

și R_s .

Alte puncte din capitolul 2 al lucrării (2.7)

$$S = \frac{U_{ATAP}}{I_e} = n_2 R_e \frac{n_2}{n_1}$$

Prin urmare cu aparatul ATAP se poate măsura directă rezistivitatea solului

⁸⁰
lui, a rezistenței prizelor și a tensiunilor de atingere și de pas pe teritoriul acestora.

5.3. TERMOMETRU CU TERMISTOR

In cadrul lucrărilor de cercetare întreprinse de autor a apărut necesitatea măsurării temperaturii diferitelor straturi de sol. Specificul măsurărilor a impus utilizarea altor aparate decât termometrul cu tub capilar, neadecvat măsurărilor de teren și împroprie introducerii la diferențe adincimi în pămînt.

Rezolvarea problemei s-a făcut prin construirea unui termometru cu termistor, simplu, ușor de realizat și convenabil în vederea măsurărilor pentru care a fost conceput.

Destinația termometrului a permis alegerea între diferențele soluției de măsurare a temperaturii./5.10/, preferindu-se soluția cu termistor, avantajele principale ale acestuia fiind următoarele.Termistoarele au un coeficient de temperatură negativ de cca. 8-10 ori ~~mai mare ca cel al termometrelor~~, acestea au rezistență mecanică și stabilitatea termică mari, dimensiuni reduse și sunt scăzute etc.

Un dezavantaj serios al semiconductoarelor utilizate în schemele de măsurare este imposibilitatea interșanțabilității traductoarelor, deoarece acestea nu au aceleși caracteristici de temperatură. Pentru cazul de față, nefiind vorba de producție în serie, acest dezavantaj nu intervine în analiză. Fenomenul de îmbătrânire nu are o influență deosebită asupra caracteristicilor de temperatură a acestuia.

a) Schema de măsurare

Soluția clasică pentru măsurarea temperaturii cu ajutorul traductoarelor resistive este cea a punții de curent continuu,dezechilibrată; schema de principiu a termometrului este cea din figura 5.11.

b) Date constructive

Termometrul are două elemente - sonda (traductorul) și aparatul de măsurat - introdus într-o cutie împreună cu elementele montajului punții și bateria de alimentare. Cutia are dimensiunile $200 \times 400 \times 45$ mm.
Pe panoul cutiei, în afară de instrument și bornele de conectare la sonda-termistor, mai sunt accesibile:
- comutatorul modului de lucru: C - etalonare-măsurare;
- cursorul potențiometrului P de reglare a tensiunii de lucru.

Fig. 5.11. Principiul termometrului cu termistor

Inaintea oricărei măsurări trebuie verificată valoarea tensiunii de lucru, punând aparatul pe poziția "etalonare" și roglind butonul P pînă cînd se ajunge la indicația roșie de pe cădrul microampmetrului.

Sonda termistor este plasată în vîrful unei tije metalice din otel cadmat și fiind o lungime de 1200 mm și un diametru de 27 mm. Ea este introdusă în vîrful unei pieșe tronconice de plexiglas. Pentru scopul urmărit soluția respectivă este să nu fie indicată. În vederea măsurării temperaturii în site locuri se pot adopta și alte tipuri de sondă. Aspectul general al aparatului este prezentat în fig.5.12.

Datele de proiectare și elementele de execuție sunt prezentate în 5.11/.



Fig.5.12. Vedere de ansamblu a termometrului și a sondei

Prin experimentat în multiple ocazii pe teren a dat deplină satisfacție.

Bibliografie

- 5.1. 3 RD-I-23 Instrucțiuni pentru exploatarea și întreținerea instalațiilor de legare la pămînt, MEB-ODE-IRME 1970.
 - 5.2. OSLON,A.B. Ob izmerenii soprotivlenii zazemleniya. In: Electricestvo 77, nr.2. febr.1957, p.56-58.
 - 5.3. IACOBS,A.I. O neobodimosti peresmotra recomandații pri izmerenii soprotivleniya zazemliteliei. In: Electriceskie Stanții 36, nr.5, mai 1965, p.67-71.
 - 5.4. SORA,C. Le cuadripole électrique. Paris, Dunod 1970.
 - 5.5. UZELAC,B. Ispitivane i metode mjereniya napona dodira i napona Koraca. In: Energija (RSFI) 16 nr.3-4 mart.-apr.1967 p.94-110.
 - 5.6. GOIA,L. Măsurarea tensiunilor de atingere și de pas IRME - GEE. Vol.86 - 1969.
 - 5.7. STOICA,A. Măsurarea tensiunilor de atingere și pas. In: Protecția Muncii și Igiena industrială nr.1, ian.1970, p.30-33.
 - 5.8. GOIA,L. Metodă și aparat pentru măsurarea coeficientilor de atingere și de pas instalațiile energetice. Dosar de Invenție depus la OSIM sub nr.79061 din 19.04.1971. Acordare a brevetului 14.12.73. prin Hotărârea OSIM.
 - 5.9. GOIA,L. Măsurarea parametrilor instalațiilor de legare la pămînt.In:Energetică 21 nr.8 aug.1973, p.380-386.
 - 5.10. GOIA,L. Termometru cu termistor. Electrotehnica 16 nr.3, mart.1968 p.105-109.
- - - - -

Studiile întreprinse de autor în domeniile prezentate în lucrare au permis să se contureze o serie de rezultate și concluzii, de o deosebită utilitate pentru organizațiile de exploatare și protecțare ale instalațiilor de legare la pământ. În continuare se prezintă principalele rezultate și contribuții ale autorului în legătură cu următoarele aspecte mai importante: rezistivitatea solului și cîrfului electric din sol; calculul și caracterizarea prizelor naturale; măsurări și experimentări.

6.1 La proiectarea instalațiilor de legare la pământ mai importante apar obligatorice predeterminarea prin măsurări a rezistivității solului pe teritoriul acestora.

Valoarea rezistivității solului influențează direct atît rezistența de disperzie a prizelor, stabilitatea termică a acestora cît și valorile coeficienților de impuls, caracterizind comportarea prizei la regimul de frecvență industrială și la supratensiuni atmosferice. Măsurarea rezistivității exclude impropriațiiile ce se adoptă actualmente în multe organizații de proiectare.

Măsurarea rezistivității se face de preferință cu ajutorul metodei geoelectrică sau a celor patru electrozi. Determinarea parametrilor electrici și geometrii ai solului se poate executa cu ajutorul curbelor precalculate, construite de autor cupă modelele din literatură.

Răzultatul sondajelor efectuate pe teritoriul ţării indică faptul că pe majoritatea terenurilor în care se construiesc prize de pământ, solul are rezistență sub 100 Ωm. Frecvența solurilor cu rezistivitatea peste 300 Ωm este redusă (sub 20%). Solul pe teritoriile studiate, prezintă adeseori o structură neomogenă pe verticală. Cea mai mare frecvență o are structura cu două straturi, cu stratul inferior cu rezistivitate mică. Cum în straturile din profunzime și variațiile rezistenței aici valorile rezistivității sunt diminuate, aceste constatări sunt argumente serioase pentru utilizarea prizelor naturale.

Calculul exact al rezistenței de disperzie și a tensiunilor de atingere și pas pe baza relațiilor de calcul utilizate pentru prima oară în RSR de autor, în cazul solului neomogen implică efectuarea unei sume - serii infinite - care nu se poate rezolva decât cu ajutorul calculatoarelor. Influența neomogenității solului pe verticală este determinantă în stabilitatea valorii rezistenței de disperzie, având o influență mai redusă în fixarea valorilor coeficienților de atingere și de pas. În cazul solului omogen acești coeficienți nu depind de rezistivitatea solului.

În cadrul oferit de particularitățile instalațiilor de legare la pământ precizia calculelor prizelor nu trebuie exagerată. Aceasta ținând cont de limitele practice ale măsururilor executate în teren, de factori aleatori ce pot influenta proprietățile solului și de costul prohibitiv al orelor de calculator. Din acest punct de vedere, proiectarea instalațiilor de legare la pământ devine din ce în ce mai mult o problemă a analizei operaționale.

Studiul cîmpului electric din sol trebuie în mod obligatoriu conectat cu analiza regimului termic provocat de trecerea curentului. În acest domeniu conoz, autorul a realizat o serie de experimentări și a adus contribuții teoretice în privința perfectionării preciziei calculului. Relațiile deduse concordă mult mai bine cu rezultatele experimentale obținute decât actuala relație indicată de literatură. Studiile efectuate au cuprins atît regimul tranzitoriu, caracteristic solicitărilor termice a solului datorate curentilor de scurtcircuit cît și regimului termic permanent, caracteristic solicitărilor de curăță practic nălălită.

Toate probele practice executate în teren au permis să se stabilească faptul că relațiile de calcul a stabilității termice a prizelor indicate în literatură sunt mult acoperitoare, fiind confirmări indirecte a rezultatelor teoretice obținute de autor.

În domeniul frecvențelor înalte, caracteristice regimului de impuls prizele de pământ se comportă mult diferit de frecvența industrială, calculul rezistenței de disperzie nemai făcindu-se după metodele valabile pentru frecvența industrială, priza prezentând o impedanță cu caracter inductiv.

În aceste condiții, apare o anumită lungime critică, peste care impedanța de disperzie a prizei crește cu creșterea lungimii prizei. Lungimea critică depinde în mod esențial de rezistivitatea solului și de frecvență.

În cazul descărcărilor atmosferice, datorită caracterului specific al procesului din sol apare o micșorare a rezistenței de impuls față de cea de la 50 Hz, caracterizată de coeficienții de impuls subunitari care depind de lungimea prizei, de valoarea curentului de impuls și de rezistivitatea solului.

În general solul cît mai ales betonul prezintă în anumite condiții un ca-

83

racter neliniar, chiar la frecvență industrială, rezistivitatea acestora scade cu creșterea tensiunii. Acest caracter particular al conductiei în sol și beton poate fi pus în legătură cu modificarea rezistenței de contact între particolele de sol cu tensiunea aplicată.

6.2 Prizele naturale sunt elemente metalice cu alte destinații, care pot prelua și sarcini legate de trecerea curentilor de defect. În general prizele naturale ale fundațiilor stîlpilor LEA, realizate după modul propus de autor reprezintă elemente cu rezistență de dispersie redusă, sigure și trecind în straturile profunde sau mare stabilitate la influența factorilor meteorologici și climatice. Ele au de asemenea o bună comportare la solicitările normale de exploatare.

In cazul LEA 110-400 kV prizele naturale realizează o bună protecție împotriva supratensiunilor atmosferice, curentii de protecție pe care lii realizează aceste priză asigurând în majoritatea cazurilor condițiile impuse, și nemaiîmpotrivă plantarea altor priză suplimentare.

Utilizarea practică a acestei proprietăți a prizelor naturale, soluție ușor realizabilă în cadrul propunerilor autorului, poate permite economisirea anuală a unor fonduri materiale importante. Considerind că 80 % din liniile construite anual în RSR (cca 1000 km LEA 110-400 kV) sunt în soluri cu rezistivitatea sub 300 $\Omega\cdot m$ și în zone cu circulație redusă (nelocuite) economiile obținute prin eliminarea prizelor artificiale (circa 650 lei/stîlp) ar ajunge $1000 \text{ km} \cdot 4,25 \text{ stîlp/km} \cdot 0,80 \cdot 650 = 2.000.000 \text{ lei}$. Pe lîngă economisirea scutieei, avanțația prizelor naturale provin și din economisirea fierului.

Prizele naturale nu pot asigura condițiile de protecție împotriva accidentelor prin atingere indirectă a stîlpilor. Din acest motiv, în zonele cu circulație frecvență (locuite) ele trebuie prevăzute cu prize artificiale corespunzătoare, dimensionate înțind cont și de contribuția prizelor naturale. Acest desavantaj este pe deplin compensat de frecvența redusă a stîlpilor existenți în zone locuite.

Pentru asigurarea unei funcționări termic stable a prizelor naturale ale stîlpilor de medie tensiune și deci a unei bune fiabilități a rețelelor de MT în aceste rețele trebuie asigurată protecția împotriva defectelor de durată cu curenti mari în aceste rețele care conduc la solicitări termice deosebite.

Utilizarea prizelor naturale în rețelele de joasă tensiune permite reducerea costului construcției rețelei prin renunțarea la prizele artificiale montate pe traseul plecărilor (din 200...500 m) și de asemenea reducerea pericolilor de accidentare în rețea prin diminuarea pericolilor ce apar pe nul în cazul scurtcircuitelor. Renunțarea la prizele de pe traseul liniei în cazul utilizării prizelor naturale conduce la economii estimate de 0,5...0,8 milioane anual.

In cercetarea prizelor naturale din rețelele de joasă tensiune, autorul a adus contribuții în stabilirea unui model original de calcul a tensiunilor ce apar pe nul în cazul scurtcircuitelor și în precizarea condițiilor în care se asigură securitatea în aceste rețele. În acest sens s-a stabilit că sunt absolut necesare prizele artificiale de la post și de la capetele plecărilor de joasă tensiune.

Utilizarea prizelor naturale în stațiile și posturile de transformare conduce la diminuarea importantă a rezistenței de legare la pămînt a stațiilor, dar este legată și de unele pericole privind apariția prin cuplaj rezistiv a potențialului pe prizele vecine, legate prin conducte cu priza stației respective. De asemenea cuplajul rezistiv are efecte negative solicitînd izolația cabelilor de telecomunicații sau telecomandă ce intră pe teritoriul stațiilor.

Evitarea acestor neajunsuri se poate face pe baza metodelor și concluziilor din lucrare. Principala obligație este legarea tuturor conductelor metalice ce intră pe teritoriul stației la priza acesteia.

In afara avantajelor obținute prin această soluție, prin diminuarea rezistenței prizei, nelegarea acestora poate prezenta pericole de electrocutare mult mai importante pentru personalul de stație, prin faptul că elementele respective pot aduce potențialul nul în stație.

6.3. S-au studiat pentru prima dată în țara noastră prizele de pămînt prin modelare în cuvele electrolitice tridimensionale; Concluziile obținute la măsurări confirmă pe de o parte rezultatele calculului analitic și permit determinarea cu un efort minim a rezistenței prizei de pămînt pentru diferite configurații de stîlpi și fundații întlnite în RSR.

Autorul a stabilit după o metodologie proprie modul practic de execuție a măsurărilor parametrilor prizelor de pămînt (R_p , ρ , K_{AT} , K_{PAS}). Aplicarea concluziilor

lor studiilor teoretice, confirmate în multe experimentări, permite anularea erorilor de măsură sistematice și ridică mult acuratețea rezultatelor, condiție de bază în aprecierea instalațiilor de legare la pămînt.

Problemele ridicate de executarea în teren a măsurărilor prizelor au putut fi rezolvate în modul cel mai simplu prin executarea unui aparat specializat, ce constituie obiectul unei invenții. Cu ajutorul acestuia se pot măsura rezistența prizelor, coeficienții de atingere și de pas și rezistivitatea solului. Soluțiile de prioritate ale acestui aparat constau în metoda de măsurare adoptată, în alegerea unei frecvențe de lucru convenabile și în eliminarea influențelor perturbatoare cu ajutorul unui amplificator selectiv, a unui filtru de rejecție și a detectoarului sincron.

Adoptarea aparatului simplifică metodologia măsurărilor și reduce în mod esențial timpul de lucru, crescînd evident productivitatea muncii la măsurări.
